REVUE MENSUELLE DE LA SOCIÉTÉ DES ÉLECTRICIENS DES ÉLECTRONICIENS ET DES RADIOÉLECTRICIENS

Volume 56 nº 12 DÉCEMBRE 1976

Volume 56, nr 12, DECEMBER 1976

TRANSISTOR BIPOLAIRE

TÉLÉCINÉMAS COULEUR

ELDOC: son histoire

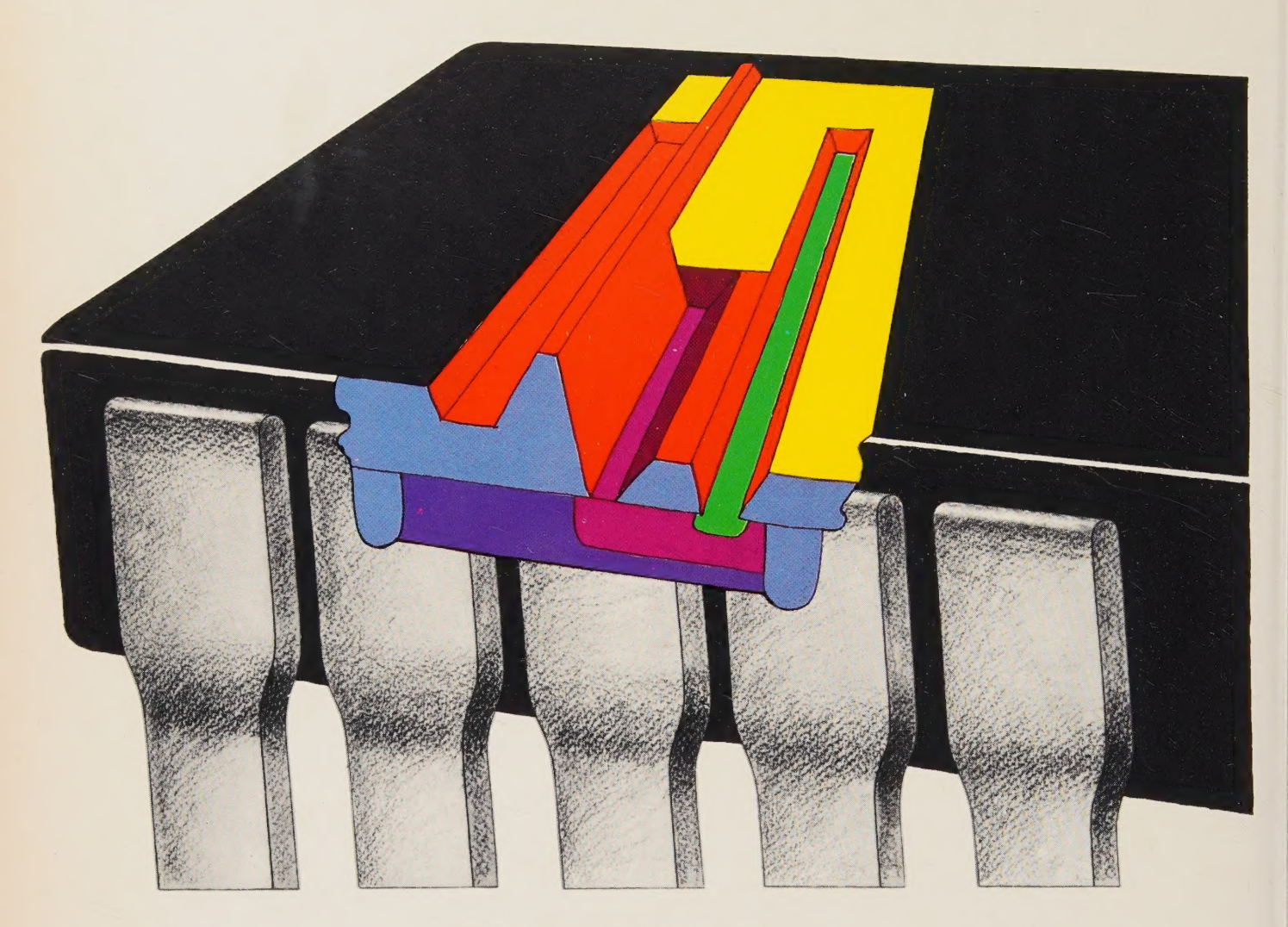


U. F. G. GI JAN<sup>2</sup> 1 1977 LIBRARY

VASSON
Paris New York
Barcelone Milan

Nouveau Télécinéma couleur 16 mm THOMSON CSF, TTV 2520

# Si vous pensez E.C.L...



# SUBILO: 0,5 ns PAR PORTE

Le Centre Industriel R.T.C. de Caen développe le PROCÉDÉ SUBILO (diffusion à isolement latéral par oxyde) et industrialise ainsi des ECL caractérisés par :

- UNE HAUTE DENSITÉ D'INTÉGRATION (autoalignement et isolement par diélectrique).
- UNE GRANDE RAPIDITÉ (implantation ionique permettant des fréquences de transition de 5 GHz)
  - la faculté de résoudre, aussi bien les problèmes logiques qu'analogiques rapides, sur catalogue ou "sur mesure".

Et de plus, la série GXB 10000 est complète et vous permet le plus large choix



# ... pensez à la série GXB 10 000

# **CIRCUITS SÉRIE GXB 10000**

et opérateurs menaces	Circuits complexes	Bascules
10 100       10 111       10 112         10 101       10 113       10 114         10 102       10 117       10 115         10 103       10 118       10 116         10 104       10 119       10 124         10 105       10 121       10 125         10 106       10 129         10 107       10 210       10 188         10 108       10 211       10 189         10 109       10 216       10 216         10 110       10 110       10 216	10 132	10 130 10 175 10 131 10 176 10 133 10 231 10 135  Compteurs et registres  10 136 10 137 10 141

# **MÉMOIRES**

Types	Configurations	Types	Configurations	
GXB 10 139	256 bits (32 x 8)	GXB 10 149	1024 bits (256 x 4)	
10 140	64 bits (64 x 1) sortie 90 ohms	10 151	64 bits (64 x 1)	
10 142	64 bits (64 x 1) rapide	10 155	16 bits (8 x 2)	
10 144	256 bits (256 x 1)	10 405	128 bits (128 x 1)	
10 145	64 bits (16 x 4)	10 410	256 bits (256 x 1)	
10 146	1024 bits (1024 x 1)	10 415	1024 bits (1024 x 1)	
10 148	64 bits (64 x 1) sortie 50 ohms			

Types disponibles en plastique et en cerdip

# **CIRCUITS DE BASE EN SUBILO**

100.102 Quadruple porte OU/OU-NON à 2 entrées

100.171 Triple multiplexeur à 4 entrées

# Adoptez le WATTMÈTRE de CRÈTE **BIRD 4314**

pour les mesures en :



**Impulsion** 

BLU

Pour les mesures de puissances BLU, d'ondes impulsionnelles, modulées en fréquence ou modulées en amplitude,

LE WATTMETRE DE CRETE BIRD MODELE 4314

mesure à l'aide de bouchons détecteurs, les puissances crête et moyenne d'1 watt à 10 KWatts, dans la bande de fréquence de 0,45 MHz à 2300 MHz.

Largeur minimale de l'impulsion :

- 0,4 µsec. de 100 à 2300 MHz 1,5 µsec. de 26 à 99 MHz
- 15 µsec. de 2 à 25 MHz

Ce wattmètre fonctionne sur batteries et secteur

Service lecteur : Nº 006



# NOS ANALYSBURS DE SPECTRE ont des caractéristiques exceptionnelles:

100 kHz - 20 GHz



# TR 4110 TAKEDA

- Tiroir 4,5 GHz
- Dynamique 90 dB Fenêtre 30 Hz
- Automatique Niveau max + 20 dBm
- 100 kHz 1700 MHz



# MS 62 B ANRITSU

- Dynamique 70 dB
- Phase Lock
- Fenêtre 100 Hz
- Consommation 55 W (alimentation 12 V possible)
- Poids: 20 kg

TR 4120 TAKEDA

Dynamique 120 dB

Fenêtre 10 Hz

Générateur tracking incorporé

100 Hz - 30 MHz



# TEXSCAN AL-51

- Dynamique 60 dB
- Batteries incorporées
- Poids: 10 kg Présélection fréquence
- Phase Lock

Service lecteur : N° 007

Pour mesurer l'affaiblissement sur les lignes téléphoniques:

la VALISE de MAINTENANCE BF "WAYNE KERR 44 Y"



Cette valise permet la mesure de l'affaiblissement sur lignes téléphoniques dans la bande 20 Hz - 3400 Hz, et jusqu'à 160 kHz, pour les systèmes à courant porteur.

Le générateur et le récepteur sont incorporés dans le même coffret.

L'émission est réglable de -40 a + 10 dB. La gamme de mesure est de -56 dB à +26 dB à  $\pm 0.2$  dB.

Ce matériel est livré avec un panneau avant et une notice technique en Francais. Il est alimenté par 4 piles de poche de 4,5 V.

Service lecteur : N° 008

TE77 B de TEKELEC-AIRTRONIC: le 1er testeur de lignes MIC "programmable"



TEKELEC-TA-INSTRUMENTS fabrique le premier testeur de lignes MIC programmable le TE 77 B.

Destiné à être incorporé dans des bancs de tests automatiques, il est dérivé des modèles TE 75-08 et TE 75, et permet la programmation de tous les paramètres mesurés ainsi que les signalisations du panneau avant

Une sonde différentielle à haute impédance est disponible sur option et permet la mesure sur des lignes en service.

Service lecteur : N° 009

DIVISION DISTRIBUTION, B.P. n° 2, 92 310 SEVRES, Tél. : (1) 946-96-48, Télex : TEKLEC 204 552 F TEKELEC 1/4 AIRIGONIC

E

0

d L

# Dans ce numéro

(Sommaire détaillé p. V)

# Radar secondaire de surveillance (3e partie)

(Cf. 1<sup>re</sup> partie, n° 10, p. 425, 2<sup>e</sup> partie, n° 11, p. 447 et dans ce n°, p. 499).

# Modèle de transistor bipolaire

La variation du gain en courant B d'un transistor en fonction du courant collecteur à reçu plusieurs interprétations.

Le modèle IBIS a une structure particulièrement bien adaptée au traitement par les programmes C.A.O. classiques du genre IMAG II ou ASTEC (cf. Cottin, p. 505).

# Nouvelles conceptions de télécinémas couleur

Il existe actuellement deux types de télécinéma couleur utilisés en télédiffusion : les équipements à « spot » mobile et ceux à caméra. Si les performances du télécinéma à « spot » mobile sont supérieures à celles du télécinéma à caméra, le choix du type d'équipement est motivé par des considérations d'exploitation, notamment la qualité des films et le standard (nombre d'images par seconde) (cf. Favreau, p. 514).

# Nouvelles générations de télécinéma couleur pour films 16 mm

Les constructeurs de télécinémas s'orientent de plus en plus vers la production d'appareils automatisés présentant une grande facilité d'exploitation (cf. Vidal, p. 523).

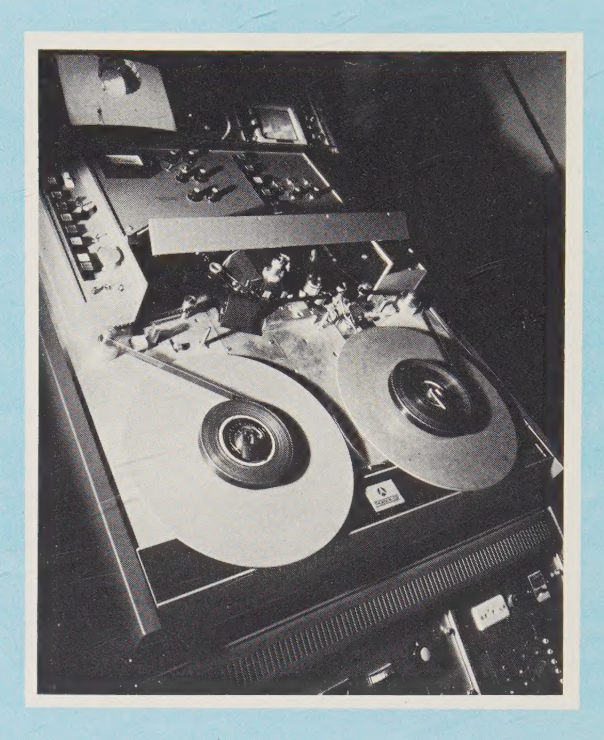
# **ELDOC** son histoire

L'existence d'un service de documentation technique complet, rapide et efficace représente aujourd'hui un atout majeur pour toute société industrielle, pour tout organisme ou service de recherche. L'inflation des publications a conduit au développement de systèmes de documentation automatiques faisant largement appel à l'informatique (cf., p. 533).

Published monthly (except July and August) by Masson et Cie, 120, bd Saint-Germain, Paris France. Annual subscription price: 180 F. Second-class postage paid at Jamaïca, N.Y. 11431 Air freight and mailing in the U.S. by Publications Expediting, Inc. 200 Meachan Ave., Elmont, N.Y. 11003.

# Sur notre couverture :

# NOUVEAU TÉLÉCINÉMA COULEUR 16 mm THOMSON-CSF TTV 2520



# CARACTÉRISTIQUES GÉNÉRALES

- Analyse à point lumineux mobile à haute résolution, des films au format standard ou cinémascope.
- Entraînement continu du film à tension constante par cabestan lisse.
- Stabilisation de l'image par miroir oscillant asservi aux perforations du film et analyse par objectif unique.
- Système d'analyse indépendant de la cadence de défilement, permettant un fonctionnement en analyse normale à des vitesses non synchrones avec le standard « télévision ».
- · Chargement automatique du film.
- Capacité maximale des bobines : 1 200 m ou 1 heure 45 minutes de programme.
- Démarrage et arrêt en 1 seconde.
- Réembobinage rapide dans les deux sens jusqu'à 25 fois la vitesse normale.
- Lecture son « COM OPT » et « COM MAG ».

# Sur option:

- Utilisation des chargeurs à cassettes (bobines coplanaires) de 300 m.
- Recherche automatique rapide des séquences.
- Fonctionnement au standard TV américain 525 lignes -60 Hz - 30 images/seconde.
- Traitement des signaux soit :
  - par voie interne.
  - par voie de traitement externe programmable.

# THOMSON-CSF DIVISION RADIODIFFUSION-TÉLÉVISION

100, rue du Fossé Blanc

Tél.: 790.65.49 92230 GENNEVILLIERS

1° PRODUCTEUR & EXPORTATEUR EUROPEEN DE SYSTEMES DE RADIODIFFUSION ET DE TELEVISION

# Marconi Communication Systems Limited

COLOUR

MARCONI INSTRUMENTS

32, avenue des Ecoles - 91600 Savigny-sur-Orge - Tél. 996.03.86 - Télex 600541 F

# l'onde électrique

REVUE de la Division Électronique, Radioélectricité et Télécommunications (DERT) de la Société des Électriciens, des Électroniciens et des Radioélectriciens (SEE).

# RÉDACTION

SEE, 48, rue de la Procession, 75015 Paris Tél.: 567.07.70 et 273.29.71

Comité de l'Onde Électrique

Président : Y. ANGEL, Professeur au CNAM. Vice-Président : M. THUÉ, Ingénieur général des Télécommunications au CNET.

Comité de lecture

Président : G. PAYET, PTT.

Rédacteur en chef : D. HALPERN.

Adjointe au Rédacteur en Chef : E. RUTMAN.

Secrétariat : B. BREDA.

# ABONNEMENTS (1976): 10 numéros

FRANCE et Zone Franc : 150 F.

Règlement à MASSON, Paris, par mandat, chèque postal (joindre les 3 volets) ou chèque bancaire.

ITALIE: 40 000 Lire.

Exclusivement par ETMI S.P.A., Via Pascoli, 55, 20133 Milano.

SUISSE: 114 F. Suisses.

Exclusivement par CRISPA S.A., 55, bd de Pérolles, 1700 Fribourg.

AUTRES PAYS : 180 F.

Règlements à MASSON, Paris, par chèque sur PARIS, transfert par banque, mandat postal international ou bons Unesco.

MASSON, Éditeur.

Paris, New York, Barcelone, Milan.

Paris: 120, bd St-Germain, F 75280 PARIS pedex 06.

Téléphone: 329.21.60.

Changement d'adresse — Retourner l'étiquette modifiée ou indiquer le numéro

Numéros de l'année et volumes antérieurs — MASSON Services, 15, rue de Savoie, 75006 PARIS (Tél. : 325.74.73, 325.74.95).

# PUBLICITÉ

MASSON Éditeur, 120, boulevard Saint-Germain, 75280 Paris Cedex 06. Michel J. LEROY, Directeur de la Régie. Alain BUISSON, Chef de Publicité. Téléphone : 329.21.60.

Représentant pour la Grande-Bretagne :

Frank L. Crane Ltd, 6-17 Bride Lane, London EC4Y 8EB. fél. : 01.353.1000. Télex : 21489.



© 1976, Masson, Paris Publication périodique mensuelle

# SOMMAIRE

# nº 12 - Décembre 1976

# (Contents p. IV)

Volume 56

Les sommaires de l'Onde électrique sont reproduits dans les Current Contents Engineering and Technology.

### Radar

499 Radar secondaire de surveillance (SSR) 3º partie.

L. MILOSEVIC

### Composants

505 Modèle de transistor bipolaire.

P. COTTIN

## Télécinéma

Nouvelles conceptions des télécinémas couleur comparaison entre télécinémas à caméra et télécinéma à spot mobile. M. FAVREAU

523 Nouvelle génération de télécinéma couleur pour film 16 mm.

S. VIDAL

## Lettre à la rédaction

529 Un procédé adaptatif : le codage numérique des images T.V.

Y. ANGEL et F. FROMONT

# 531 oe actualités

533 Événements.

535 En bref.

541 Activités des laboratoires.

542 Nouveautés techniques.

546 Produits récents.

547 Livres recus.

549 Table 1976.

Livres nouveaux VIII, X, XII et XIV.

Index des annonceurs XXII

Service lecteur XXIII et XXIV

# Sur notre couverture :

Gennevilliers Tél.: 790.65.49

Nouveau Télécinéma couleur 16 mm TTV 2530 THOMSON-CSF.

Le télécinéma couleur TTV 2520 est spécialement conçu pour l'usage Radiodiffusion de haute qualité, soit comme équipement de diffusion, soit comme équipement de production (lecture directe de films négatifs, montage électronique...).

Il peut également être utilisé dans les laboratoires cinématographiques (aide à l'étalonnage, contrôle des négatifs, contrôle des densités...).

Il délivre, à partir d'un film 16 mm, les 3 signaux videofréquence R, V, B, corrigés, directement

utilisables localement, ou utilisables après codage par les émissions radiodiffusées.

THOMSON-CSF Division Radiodiffusion-Télévision 100, rue du Fossé-Blanc 92230

Service Lecteur: inscrivez le nº 001.

JOURNAL of the Electronics, Radio-Electricity nadio-Electricity
and Telecommunications Division
(DERT)
of the French Society of Electricians, Electronics Specialists and Radio-Electricians (SEE).

## **EDITORIAL MATTERS**

SEE, 48, rue de la Procession, 75015 Paris Tél. : 567.07.70 et 273.29.71

Committee of l'Onde Électrique

President: Y. ANGEL, Professor, CNAM. Vice-President: M. THUE in charge of International technical relation at the CNET.

Committee of Referees

President: G. PAYET, French PTT.

Editor-in-Chief: D. HALPERN. Editorial assistant: E. RUTMAN.

Secretary: B. BREDA.

# SUBSCRIPTIONS (1976): 10 issues

FRANCE and Franc zone: 150 F.

Payment to the order of Masson by check, transfer order, or international money order.

ITALY: 40 000 Lire.

Exclusively from ETMI S.P.A., Via Pascoli, 55, 20133 Milano.

SWITZERLAND: 14 Suiss francs.

Exclusively from CRISPA S.A., 55, bd de Pérolles, 1700 Fribourg.

OTHER COUNTRIES : 180 F.

Payment to the order of Masson by check, transfer order, or international money order.

MASSON, Publisher.

Paris, New York, Barcelone, Milan. in Paris: 120, bd St-Germain, F 75280 Paris Cedex 06.

Telephone: 329.21.60.

Change of address — Return the corrected address label or indicate your subscription

Antiquariat — MASSON Services, 15, rue de Savoie, 75006 Paris (Tél.: 325.74.73, 325 74.95).

# **ADVERTISING**

MASSON Éditeur, 120, bd Saint-Germain, 75280 Paris Cedex 06.

Michel J. LEROY, Advertising Director.

Alain BUISSON, Advertising Manager. Telephone: 329.21.60.

Representative for Great Britain:

Frank L. Crane Ltd, 16-17 Bride Lane, London EC4Y 8EB. Phone: 01.353.1000. Telex: 21489.



© 1976, Masson, Paris Published monthly

# CONTENTS

# nº 12 - December 1976

Volume 56

### Radar

499 Secondary surveillance radar (SSR) 3nd part.

L. MILOSEVIC

# Composents

505 Bipolar transistor model.

P. COTTIN

### Telecines

Comparaison of performance betwen camera and flying spot telecine 514 M. FAVREAU

New culour telecine for 16 mm films. 523

S. VIDAL

## Letter to the editor

Y. ANGEL and G. FROMON Adaptative DPCM for television images. 529

# oe actualités

533 Events.

535 Short notes.

-Laboratories activity. 541

542 Technical news.

546 New products.

547 Books received

Annual index 1976

Books review VIII, X, XII and XIV.

Index of advertisers XXII

Readers'service XXIII and XXIV

### On our cover:

The TTV 2520 colour telecine THOMSON-CSF.

The TTV 2520 colour telecine is specially designed for high quality broadcast use, either as a broadcast equipment, or as a production equipment (direct reproduction of negative films, electronic editing...). It can also be used in film laboratories (calibration aid, negative film checking, density checking).

This equipment produces the three R, G, B video signals from a 16 mm film. Those R, G, signals are corrected and ready for use either locally or on-air after encoding.

THOMSON-SCF Division Radiodiffusion-Télévision 100, rue du Fossé-Blanc (F) 9223 Gennevilliers Tél.: 790. 65. 49.

Readers' service: indicate the no 000

# ÉCOLE NATIONALE SUPÉRIEURE DES TÉLÉCOMMUNICATIONS

# FORMATION CONTINUE

1

Transmission de Données

2

CROSSBAR

2

2

Systèmes Téléinformatiques

Systèmes de Transmissions Numérique

1

Systèmes de Commutation 2

Commutation Électronique Générale

2

Commutation Temporelle

1

Systèmes de Transmission 2

Télécommunications Visuelles

(Lannion)

31 janvier-4 février/21-25 mars/13-17 juin/17-24 octobre

25-29 avril/21-25 novembre

(Lannion) (Lannion) (Lannion)

28 février-4 mars/12-16 décembre

(Lannion) (Lannion)

14-18 février

(Rennes)

3-7 janvier

9-13 mai

24-28 octobre

19-23 septembre

26-30 septembre

2

Signalisation

# SYSTÈMES DE TÉLÉCOMMUNICATIONS 1977

Systèmes de transmission

17-21 janvier (Rennes)/9-13 mai (Rennes)/10-14 octobre (Rennes) Systèmes de commutation.

La commutation électronique générale . . . . . 3-7 janvier/14-18 mars/23-27 mai/24-28 octobre

La commutation temporelle-Système

La commutation téléphonique Crossbar .......... Signalisation dans les réseaux de télécommunications ........ 25-29 avril/12-16 décembre

Télécommunications visuelles Commutation électronique et réseaux téléphoniques à usage

Théorie de l'information et codes correcteurs d'erreurs ..... 2-6 mai (Rennes) 

Fiabilité des systèmes Optimalisation et planification des réseaux et télécommunications et de télé-

informatique Transmissions numériques et fibres optiques

Des sessions adaptées à une demande

particulière peuvent être organisées par

L'ÉCOLE NATIONALE SUPÉRIEURE

DES TÉLÉCOMMUNICATIONS

Théorie du Signal

3

3

Trafic, probabilités et Réseaux de **Télécommunications** 

Optimalisation et Planification des Réseaux

2

Commutation Électronique et Réseaux à usage privatif

3

**Transmissions** Numériques et Fibres Optiques

3

Théorie de l'Information

3

Fiabilité des Systèmes

3

1. Formation générale 2. Formation technique

3. Présentation d'une technique avancée.

Inscriptions et renseignements: ENST - Service de la Formation Continue 46, rue Barrault, 75634 PARIS CÉDEX 13 Tél. : 589-66-66 poste 369

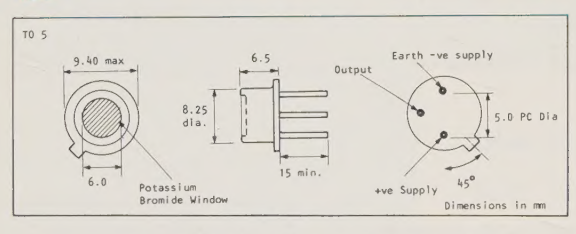


# OSCILLATEUR GUNN BANDE X A ACCORD ÉLECTRONIQUE



- Puissance continue de 20 à 100 mW
  Stabilité 4 MHz/°C
- n/www)

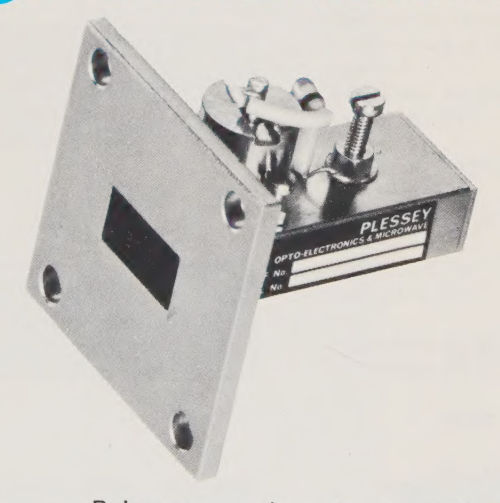
# **DÉTECTEUR INFRA-ROUGE**



Angle d'ouverture : 100°
 Réponse spectrale : 0,2-35 μm

- Alimentation: 9 V.

OSCILLATEUR GUNN BANDE 40-90 GHz A FRÉQUENCE FIXE



Puissance continue de 10 à 100 mW
Stabilité 300 KHz/°C

Pour obtenir la documentation complète, utilisez le Service Lecteur de la revue en inscrivant : HYPER: 013 OPTO: 014



# **PLESSEY FRANCE**

Optoelectronics and Microwave

16-20, Rue Pétrarque - ☎ 727.43.49 75016 PARIS Telex 62789

# LIVRES

# De la TSF à l'électronique,

(Histoire des techniques radioélectriques),

A. VASSEUR,

Editions techniques et scientifiques françaises (Diffusion par l'Agence parisienne de distribution), Paris.

Pour de nombreux lecteurs de l'ouvrage de Monsieur Albert Vasseur, les fresques que l'auteur a su brosser pour nous rendre sensible cette grande épopée qu'est l'« histoire des techniques radioélectriques » apparaîtront comme autant de chapitres d'un passionnant roman d'aventures. En effet, si l'auteur semble avoir disposé d'une bibliographie abondante, complète et précise, il a su éviter l'écueil d'un exposé historique classique, présentant les découvertes et les grandes réalisations dans l'ordre chronologique, qui est pourtant celui qu'ont vécu les contemporains, mais qui aurait conduit à une grande dispersion de l'intérêt du récit, tant est variée la palette des réalisations techniques dans le domaine de la radioélectricité : dans cette masse de documents, A. Vasseur a su dégager quelques filières illustrant la progression des principales applications de la radioélectricité, comme la radiodiffusion ou le radar, et nous présenter les étapes principales qui ont conduit cette technique particulière de l'ère des pionniers jusqu'aux appareils destinés au grand public.

Le premier chapitre est naturellement consacré aux origines de la radioélectricité et montre comment les travaux de physiciens théoriciens ou expérimentaux comme Faraday, Maxwell, Thomson, Hertz, Tesla. Branly, Lodge, ont conduit certains expérimentateurs a penser déjà en ingénieurs et à faire la synthèse des progrès accomplis dans les différents domaines pour effectuer les premières liaisons radiotélégraphiques : ces « systématiciens » sont Popov, Marconi, Ducretet, et bientôt Ferrié, qui était alors capitaine. On reste étonnés par la fulgurante progression de la portée des liaisons réalisées par Marconi en quelques années seulement aux environs de 1900 : après les premières expériences de 1895, au cours desquelles la portée passe de quelques centaines de mètres à plus de 2 kilomètres, Marconi assure en 1897 une liaison de 16 km, en 1899 la traversée: du Pas-de-Calais (45 km) et, après une liaison de plus de 100 km avec un navire en mer, c'est la mémorable liaison transatlantique (3 400 km) en décembre 1901.

Le deuxième chapitre nous conte l'essor d'une technique qui permit d'aborder les principales applications de la radioélectricité, mais qui fut ensuite abandonnée, celle des ondes amorties : remarquons d'ailleurs que la tendance actuelle à remplacer des systèmes à ondes entretenues par des dispositifs à « modulation par impulsions » peut être considéré comme un « retour aux sources » conséquence de l'évolution des composants disponibles. La technique des ondes amorties, utilisant d'abord les émissions « à étincelles rares » puis les émissions musicales, à fréquence de répétition plus élevée, permit de réaliser des liaisons allant jusqu'às plusieurs milliers de kilomètres en ondes hectométriques



# Labo de Terrain!

Le nouveau SE 7000 est le système d'enregistrement d'instrumentation le plus avancé en son genre. Il permet de transporter sur le terrain la technologie d'enregistrement la plus avancée. Contenu dans un emballage complet de 43 kg, il offre toutes les possibilités d'un laboratoire, avec plus de facilité dans l'utilisation, une plus grande polyvalence et en même temps, il est moins coûteux qu'un appareillage de type comparable.

Maintenant, pour la première fois, il vous est possible de mesurer l'envergure du spectre entier d'applications partant d'une bande moyenne de programme à 14 pistes jusqu'à un enregistrement de haute densité à 42 pistes, avec le choix de 8 vitesses comprises entre 15/16 et 120 pouces par seconde – assurant 600 kHz DR ou courant continu jusqu'à 80 kHz en modulation de fréquence à 120 pouces par seconde. Des correcteurs et des filtres pour toutes les vitesses de bande sont montés dans la version standard Vous économisez du temps dans la mise en route et dans l'étalonnage également, car un module d'étalonnage unique est aussi une caractéristique incorporée – éliminant le besoin d'un inter – raccordement extérieur des modules. Le SE 7000 réunit cette technologie avancée avec une

haute fiabilité et une facilité d'entretien, à tel point qu'il offre sans condition UNE GARANTIE D'UN AN. Il possède également le support d'un service sur-le-champ très étendu et des installations d'applications renforcées à leur tour par les ressources technologiques très étendues de EMI.

Le SE 7000 s'est révélé inestimable dans les études de véhicule, en aéronautique, dans les essais de forage de pétrole, dans les chemins de fer, en électricité, dans le gaz, dans l'acier et dans de nombreuses autres applications où la mobilité et l'exactitude sont essentielles.

Si vos besoins exigent une instrumentation avancée d'une extrême polyvalence, demandez des renseignements sur le SE 7000 et sur notre gamme complète de systèmes d'enregistrement à bande, de laboratoire et portatifs.

SE 7000 – le concept d'enregistrement le plus avancé jamais réalisé dans un laboratoire.



**EMITRONICS** 

18 rue des Bluets, 75011 Paris

Téléphone: 357 58 45/46. Telex: OMITEL 680461

Membre du Groupe EMI. A la pointe du progres dans les domaines de la musique, de l'electronique et des loisirs.







et kilométriques. Ses applications les plus spectaculaires étaient les communications avec les navires où, associées avec la radiogoniométrie naissante, les liaisons radio-électriques assuraient la sécurité sur les mers, ainsi que les applications militaires, qui, pendant la guerre de 1914-1919, modifièrent considérablement les moyens d'action des armées en présence.

Bientôt les ondes entretenues vont remplacer les ondes amorties, assurant de meilleures liaisons : on utilisera à cet effet des émetteurs à arc et des alternateurs à haute fréquence, mais aussi des émetteurs à lampes (on dit maintenant des tubes électroniques) : le chapitre III nous conte les débuts de l'électronique et nous montre comment, surtout pendant la première Guerre mondiale, les émetteurs à lampes remplacent progressivement les émetteurs à arc, et permettent après la Guerre l'établissement de réseaux de télécommunication à grande distance en ondes kilométriques.

Le chapitre IV continue l'histoire des tubes électroniques avec la naissance et le développement de la radiodiffusion, puis, grâce aux perfectionnements des cellules photoélectriques, l'histoire de la télévision.

Le chapitre V nous conte la course « du mégahertz au gigahertz » depuis les « ondes courtes » (ondes décamétriques) qui se propagent à grande distance par réflexion sur l'ionosphère jusqu'aux « microondes » (hyperfréquences) utilisées dans les faisceaux hertziens.

Le chapitre VI est consacré aux aides radioélectriques à la navigation : radiogoniométrie, radioguidage en voll et à l'aterrissage, systèmes hyperboliques de radionavigation, il se prolonge dans les chapitres VII et VIII par l'histoire du radar, d'abord en ondes métriques puiss en ondes centimétriques; ces chapitres comprennent en particulier des paragraphes passionnants contant le rôle des radiocommunications, et en particulier du radar, pendant la deuxième guerre mondiale.

On ne peut que recommander à tous ceux qui aimentifiélectronique, la radioélectricité, les télécommunications. la lecture de cette « épopée de la radioélectricité », avec les prodigieux développements que cette techniques a connus entre les années 1890 et les années 1950, et ses « progrès spectaculaires... (qui) ont élargi à l'infiniles possibilités humaines ».

En outre, cet ouvrage complet et très documenté joue le rôle d'une véritable « encyclopédie de la radio-électricité », où l'on peut retrouver des précisions sur tel ou tel événement, la recherche étant facilitée par la présence, à la fin de l'ouvrage, d'index concernant les noms propres, les organismes publics et sociétés indus-trielles, ainsi que les divers termes techniques utilisés.

Félicitons M. Albert Vasseur d'avoir su réunir en 300 pages environ autant de faits intéressant les étudiants, les chercheurs, les ingénieurs, aussi bien que le grand public attiré par la magie de la radioélectricité cet exploit est consacré par deux préfaces signées par M. Bernard Decaux, de l'Académie des Sciences, un des pionniers de la radioélectricité, et par M. Mohammed Mili, Secrétaire général de l'Union internationale des télécommunications.

M. THUÉ

(suite page XII)

# de commutation électronique vendus

A ce jour, CGCT a vendu
45 centraux téléphoniques
METACONTA
55 centres de commutation
de messages
DS 4 et DS 6



Centre DATASYSTEM DS6-400 pouvant traiter jusqu'à 24 000 messages à l'heure.

Le central public METACONTA de Guadalajara (Mexique) comporte 2 calculateurs pouvant traiter jusqu'à 200 000 appels à l'heure chargée.



CGCT est la société française ayant actuellement le plus important programme d'industrialisation de centraux téléphoniques électroniques commandés par calculateurs.



COMPAGNIE GENERALE
DE CONSTRUCTIONS TELEPHONIQUES
251, RUE DE VAUGIRARD - 75740 PARIS CEDEX 15

TEL. (1) 533.74.40

# ÉCOLE NATIONALE SUPÉRIEURE DES TÉLÉCOMMUNICATIONS

# FORMATION CONTINUE

# ENGINEERING ENGLISH ANGLAIS TECHNIQUE

Professeur : A. M. RODNEY, M.A., B. Sc., L. ès L. Maître de Langue anglaise à l'ENST.

La langue anglaise envahit de plus en plus les techniques modernes, que ce soit sous forme de « buzz-words »: les CCD en SOS pour les RAM, par exemple, ou les simples wrappeurs, les keyboards, peu importe, ces mots sont autant d'outils. Mais à notre sens, l'anglais technique serait plus efficace si les ingénieurs, de loin les premiers utilisateurs, pouvaient s'y arrêter pour « se rafraichir ». D'où l'idée d'un « Refresher Course » intensif, inspiré directement des cours d'anglais technique déjà fort appréciés des ingénieurs-élèves de l'ENST. Une première série de deux semaines traite des 1 000 mots environ formant la base de l'anglais scientifique général. Dans cette 2º semaine déjà l'on fait un survoi des 4 grands domaines, A, B, C et D donnés ci-après. La deuxième série, toujours de deux semaines, traite dans le détail des 9 secteurs inclus dans l'un des domaines. Compte tenu de la demande permanente de nos ingénieurs et des sociétés associées, l'ENST programme chaque année d'office le domaine B (entouré), mais il est entendu que les autres domaines peuvent faire l'objet d'une série spéciale à la demande, ou lorsque un nombre suffisant de staglaires aura pu être regroupé pour former une session.

A - Basic Electronics :

B — Télécommunications II;

C — Computer Science;

D — Business Management.

Les séances auront lieu en anglais, avec 15 stagiaires max. et de plus, un bon tiers du temps sera passé en laboratoire de langue à cassettes, avec les aides audiovisuelles habituelles. Chaque semaine comptera une vingtaine d'heures, mercredi libre.

# **TÉLÉCOMMUNICATIONS**

B 1 — Signal Theory

2 — Propagation

3 — Electromagnetic Detection

4 — Wire Transmission

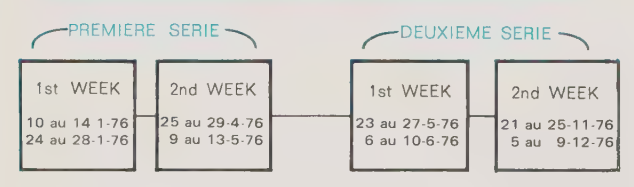
5 — Wireless Transmision

6 — Microwave Links

7 — Telecommunication Systems

8 — Space Communications

9 — High-capacity Systems



Deux semaines d'anglais technique d'intérêt général, moitié classe, moitié labo. de langue.

Etude approfondie d'un des domaines, A, B, C ou D tendant vers l'aisance d'expression orale.

Des sessions adaptées à une demande particulière peuvent être organisées par

L'ÉCOLE NATIONALE SUPÉRIEURE DES TÉLÉCOMMUNICATIONS

Inscriptions et renseignements:

ENST - Service de la Formation Continue, 46, rue Barrault, 75634 PARIS, CEDEX 13. Tél. : 589-66-66, poste 369.

# Statistical pattern recognition,

CHI-HAU CHEN,

Spartan Books, Hayden Book Co, Rochelle Park, N.J., 1973, 236 p.

Au milieu de la masse d'ouvrages consacrés à la reconnaissance des formes, il est devenu délicat de saisir les nuances différenciant tel livre de tel autre, tant du point de vue du contenu que de la structure. Tel n'est pas le cas du livre du Pr. C. H. Chen, puisqu'un soin tant pédagogique que scientifique y a été mis pour faire prendre conscience au lecteur des problèmes prioritaires qui se posent lorsqu'il s'agit de réaliser effectivement un programme ou un dispositif ayant des performances le rendant acceptable. La première conséquence est que seules sont décrites les techniques principales avec leurs propriétés (généralement sans démonstration), ce qui destine ce livre à un usage étendu dans des tâches d'enseignement sur l'approche statistique de la reconnaissance des formes. La seconde conséquence est que, modifiant l'architecture des ouvrages similaires, un bien meilleur lien est fait avec des disciplines apparentées, en particulier la théorie du signal et le codage, la théorie de la commande et l'identification. Cette dernière remarque est d'autant plus importante que cette même structure devrait faciliter la diffusion des procédures d'extraction de paramètres en la reconnaissance, partout où se pose un problème de codage ou de classification de signaux, avec des retombées éventuelles sous forme de calculateurs spécialisés.

La présentation est sobre et claire; on peut cependant regretter l'absence d'applications, tout au moins sous la forme d'une présentation de certaines d'entre elles quelques exemples font l'objet d'exercices consignés en fin de chaque chapitre.

Il nous semble que l'ouvrage du Pr. Chen est l'un de ceux qui devrait être le mieux assimilé par les ingénieurs désirant acquérir en 220 pages de sérieuses connaissances de base en reconnaissance des formes, sans avoir à filtrer parmi les variantes plus ou moins validées de tel ou tel concept en procédure. Il intéressera tout particulièrement ceux concernés par le traitement du signal, et les procédures adaptatives.

Une brève introduction évoque sur des applications les concepts probabilistes et géométriques à la base de l'approche statistique de la classification. Ces notions sont détaillées au chapitre II par la théorie des classificateurs bayésiens, linéaires et linéaires par morceaux. En lisant le chapitre III, il faut avoir à l'esprit, tant le codage des signaux que celui des images : représentation de formes sous forme de suites binaires markoviennes, développement de Karhumen. Loewe et autres développements en série de fonctions orthogonales (Gram-Charlié, Wiener, Walsh-Hadamard). Après avoir codé les sorties des capteurs, on sélectionne au chapitre II les mesures contribuant à la classification et seules

# U.S. TRADE CENTER

18 au 21 janvier 1977 de 10 h à 18 h

# HYPER 77

# 

Liste des Sociétés Exposantes:

- AIL France
- \* ANTEKNA INC.
  AURIEMA
  C.B.I.
  COMSATEC
  DANA ELECTRONICS France
  DATRON
- \* DEXCEL, INC. ELEXIENCE
- \* E.W. COMMUNICATIONS GISCO HEWLETT PACKARD ITT KONTRON
- LE GROUPE SCIENTIFIQUE

  \* MICRO MODE PRODUCTS INC.
  MICROWAVE SEMICONDUCTOR CORP.
  PARAMETRIC INDUSTRY
  PRANA
  REA
  RTF
  SALIES
  SCIE DIMES
  SPEKTRIX
  SPETELEC
- TEKELEC AIRTRONIC

  \* TOBURN ELECTRONICS

  \* TRANSCO PRODUCTS, INC.

TECHNOLOGY RESOURCES

SYSTRON DONNER

VARIAN

\* Ces sociétés recherchent des agents, distributeurs, ou autres accords en France.



UNITED STATES TRADE CENTER

123 AVENUE CHARLES DE GAULLE 92200-NEUILLY-SUR-SEINE Tél. 624.33.13

# CEE

COMPAGNIE CONTINENTALE D'ÉQUIPEMENTS ÉLECTRIQUES

Recherche dans le cadre de sa DIRECTION TECHNIQUE MEAUX

INGÉNIEUR ÉLECTRONICIEN ÉTUDES RECHERCHES CONCEPTION

Pour extension de sa gamme de Relais de Protection Electroniques

Poste intéressant et avenir qui peut convenir à diplômé ESE-IEG-ISEP ou école équivalente, 28 ans mini. ayant 4 à 5 ans expérience mesure électronique.

Ecrire sous référence NZ 280 AM

# ETAP

4, rue Massenet 75016 PARIS

Discrétion absolue



# ÉCOLE NATIONALE SUPÉRIEURE DES TÉLÉCOMMUNICATIONS

# FORMATION CONTINUE

INFORMATIQUE

1977

Formation Formation technique générale

Présentation d'une technique avancée

BASE DE L'INFORMATIQUE

31 janvier au 4 février

ARCHITECTURE DES SYSTÈMES INFORMATIQUES 7 au 11 février - 24 au 28 octobre

LOGICIEL D'EXPLOITATION D'UN SYSTÈME INFORMA-TIQUE

21 au 25 mars

RÉSEAUX INFORMATIQUES

24 au 28 janvier - 25 au 29 avril - 14 au 18 novembre

EXPLOITATION DES ORDINATEURS DANS UN CONTEXTE DE TÉLÉTRAITEMENT

17 au 21 ianvier

LA RECONNAISSANCE DES FORMES

10 au 14 octobre

LA VISUALISATION GRAPHIQUE INTERACTIVE

5 au 9 décembre

INITIATION AUX TECHNIQUES DE REPRÉSENTATION GRAPHIQUE

23 au 27 mai

COMMANDE ET FILTRAGE NUMÉRIQUES

9 au 13 mai

LES MINIORDINATEURS

14 au 18 mars - 6 au 10 juin - 28 novembre au 2 décembre

LA COMMUNICATION HOMME/MACHINE ET SIGNAUX BIOMÉDICAUX

14 au 18 novembre

POSSIBILITÉS ET LIMITES DES ROBOTS INDUSTRIELS 12 au 16 septembre

RÉALISATION D'UN SYSTÈME **D'INFORMATIONS** UTILISANT UNE BASE DE DONNÉES

28 mars au 1er avril

ANALYSE DE DONNÉES

10 au 14 octobre

INTRODUCTION A LA RECHERCHE OPÉRATIONNELLE 24 au 28 ianvier

ÉVALUATION DES PERFORMANCES D'UN SYSTÈME INFORMATIQUE

14 au 18 février

Des sessions adaptées à une demande particulière peuvent être organisées par L'ÉCOLE NATIONALE SUPÉRIEURE DES TÉLÉCOMMUNICATIONS

Inscriptions et renseignements :

**ENST** - Service de la Formation Continue 46, rue Barrault, 75634 PARIS CEDEX 13 Tél.: 589-66-66 poste 369



dignes d'être transmises : information utile, mesures de distance de la théorie du signal, probabilités d'erreur, algorithmes de compression.

Avec le chapitre 5, on passe aux procédures d'apprentissage paramétrique autrement dit à l'estimation des paramètres du classificateur moyennant des hypothèses a priori: estimation bayésienne récursive, estimation dans les processus à variations lentes, décomposition de mélanges, ces schémas d'apprentissages étant supervisés ou non. Le chapitre 6, relativement original, reprend le problème de l'apprentissage récursif, mais en utilisant l'approximation stochastique, ce qui correspond à l'absence d'hypothèses sur les distributions sous-jacentes; on y compare en particulier les algorithmes les plus connus. Il est alors justifié de compléter cette partie, par un chapitre 7 réservé à l'estimation non paramétrique non récursive telle qu'elle sert pour ; le choix des échantillons, l'estimation d'une densité de probabilité par la règle du voisin le plus proche; avec les règles de classification résultantes. Par contre on considérera peut-être que le chapitre 8 est un peu léger : il passe rapidement en revue des procédures toutes heuristiques, de regroupement de (clustering).

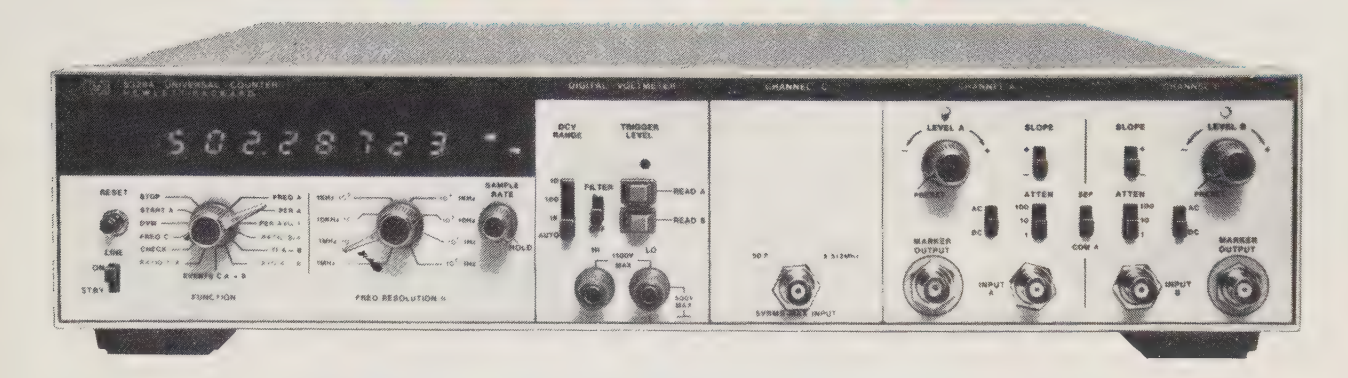
Au chapitre 9, on étudie la reconnaissance séquentielle de formes, c'est-à-dire des algorithmes de classification utilisant chaque fois un nombre accru de mesures classificateur bayésien séquentiel, tests séquentiels de Wald, sélection séquentielle de paramètres ou de mesures. L'auteur a fait preuve d'originalité en essayant au chapitre 10 de faire le bilan des conséquences du caractère borné de la mémoire d'apprentissage o de calcul, ainsi que des boucles de retour pour l'information : apprentissage avec mémoire finie, statistique: finies, options de rejet. Sans se lancer dans l'approcha-« linguistique » de la reconnaissance des formes, ou montre au chapitre 11 comment coder des informations sur le contexte de chaque forme et sur les corrélations entre formes voisines, pour les utiliser dans la classification : décision bayésienne dans des chaînes de Markov, contexte statistique.

Enfin, le chapitre 12 applique les techniques de chapitres 5-7 à la théorie du signal et aux système de communication adaptatifs : corrélateur adaptatif récepteurs de classification, récepteurs d'apprentissage d'un canal de transmission.

Un index détaillé est donné en fin d'ouvrage. Le références et la bibliographie sont données en fin d chaque chapitre.

L. F. PAU.

# Le Compteur Universel

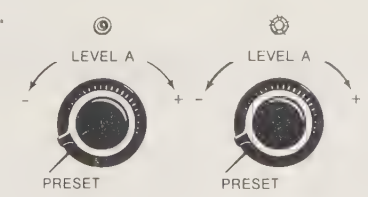


# Le HP-5328 A: tout ce dont vous avez besoin

On peut l'appeler « universel », tant est grande sa aculté d'adaptation. Extrêmement précis, facile d'emploi, peu coûteux, c'est un compteur modulaire : donc, vous n'achetez ju'en fonction de vos besoins. Commencez avec le modèle de pase à affichage 8 chiffres, fréquence jusqu'à 100 MHz, ntervalle de temps avec résolution de 100 ns. En plus, il ous indiquera la période, les intervalles de temps moyennés vec résolution de 10 ps, le rapport des fréquences, la otalisation et la division. Quand le besoin s'en fera sentir, ous le complèterez pour porter la gamme des fréquences 1300 MHz, avec affichage 9 chiffres. Mais voyez tout ce u'il peut encore vous apporter :

# DES VOYANTS DE DECLENCHEMENT

our savoir ce qui se passe. Allumés tant que entrée dépasse le niveau e déclenchement et inversement), ils ignotent lorsque la voie entrée déclenche ersion standard).



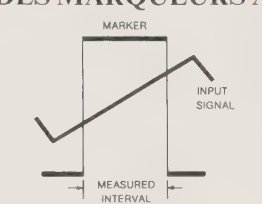
# N VOLTMETRE NUMERIQUE vous donnera



l'affichage immédiat et précis des niveaux de déclenchement et les mesures de tensions extérieures de 10  $\mu V$  à 1100 V, avec changement automatique de gammes (en option).

HEWLETT hp PACKARD 172 points de vente dans 65 pays assurent le service après-vente

# DES MARQUEURS A GRANDE VITESSE montrent ce



que le compteur fait de votre signal d'entrée. Utilisez-les sur la deuxième voie de votre oscilloscope pour voir où le compteur déclenche (version standard).

# UNE INTERFACE FACILE

Le HP Interface Bus simplifie l'intégration du compteur dans un système (en option).



# DES MESURES EN «ARMÉ» et sur vos instructions,



dans le cas de signaux modulés en impulsion et de linéarité (en version standard).

Ce n'est qu'une partie des avantages du HP-5328 A, compteur universel d'un prix modique.

Pour plus d'informations ou pour recevoir une brochure technique de 12 pages, téléphonez à M. D. RIOU au 907 78.25, Poste 250, qui vous conseillera ou renvoyez le coupon ci-dessous.

Bon à renvoyer à Hewlett-Packard Fr de Courtabœuf, B.P. n° 70, 91401 Orsay Ced Je désire recevoir sans engagement de documentation détaillée sur le HP-5328 A.	ex.
Nom	
Société	7
Service	. 77
Adresse de la société	п.
Tél.	0



Notre nouvel Oscillographe UV SE 6150 à 12 canaux est unique – son bas prix est unique, son traitement de signaux incorporé est unique.

Pour la première fois, le chercheur peut se déplacer d'une expérience à l'autre sans changer ou régler les galvanomètres. Montez un ensemble standard de Galvos, et six canaux sont traités pour enregistrer jusqu'à 2 kHz de déviation maximale venant de sources de tension à haute impédance variant entre 500 mV et 500 Volts autour d'une seule commande. Et un supplément de six canaux non traités est disponible pour des paramètres moins exigeants. En outre le SE 6150 réunit la mobilité avec un affichage précis, facile à lire, une fiabilité et un fonctionnement simple – des qualités qui se joignent pour faire du SE 6150 l'oscillographe le plus rentable en son genre. Si le traitement incorporé n'est pas exigé, le SE 6150 peut être fourni sans cet élément – à un prix nettement inférieur à celui de son concurrent le plus proche.

En tant que support du SE 6150, on trouve la famille SE d'oscillographes offrant un instrument rentable pour répondre à chaque besoin. La gamme comprend 6 enregistreurs optiques, d'un modèle portatif à batterie à 6 canaux jusqu'au SE 6012 ayant un abaque de 12 pouces de largeur et jusqu'à 50 canaux, aussi bien qu'un appareillage de traitement de signaux compatible et des transducteurs.

SE possède une richesse d'expérience d'applications qu'il met à votre disposition – une compétence difficile à trouver ailleurs – et à cause de cela, nous sommes capables de fournir un niveau plus élevé de service de support avec des réponses rapides toutes les fois que vous en aurez besoin, à l'échelon mondial. Lorsque vous serez à la recherche d'oscillographes, SE vous fournira les réponses – de par son expérience. Contactez-nous aujourd'hui.



**EMITRONICS** 

18 rue des Bluets, 75011 Paris

Téléphone: 357 58 45/46. Telex: OMITEL 680461

Membre du Groupe EMI. A la pointe du progres dans les domaines de la musique, de l'electronique et des loisirs.

pp. 499-504

L'onde électrique 1976, vol. 56, nº 12

# Radar secondaire de surveillance (SSR)

(3° Partie)



# par Ljubimko MILOSEVIC,

Ingénieur Civil des Télécommunications, Ingénieur en Chef de la Division Systèmes Électroniques de Thomson-CSF, Chef du Secteur des Systèmes Intégrés Bord-Sol, Président du Groupe de Travail nº 9 sur le Radar Secondaire de Surveillance à EUROCAÉ

Thomson-CSF, Division Systèmes Électroniques, 1, rue des Mathurins, 92222 Bagneux. Bureaux détachés : 33, rue de Vouillé, 75015 Paris

### SOMMAIRE

Première partie (Parue dans l'Onde électrique, n° 10, p. 425).

- 1. Présentation: Fonctions, utilisation, installation, visualisation.
- 2. Principe de fonctionnement : Interrogation, suppression des lobes secondaires, réponses.
  - 3. Caractéristiques.

Deuxième partie (Parue dans l'Onde électrique, nº 11, p. 447.)

4. Problèmes d'exploitation: limitations, environnement.

Troisième partie (dans ce numéro).

- 5. Performances.
- 6. Évolution du système.

# 5. PERFORMANCES

Les performances du radar secondaire de surveillance sont déterminées par :

- la probabilité de bonne réception des réponses et,
- la précision de localisation.
- 1. La probabilité de bonne réception. des réponses est donnée par le produit des probabilités :
- de réception des interrogations à bord des avions, qui se décompose en deux probabilités, celles de :
  - réception dans le bruit,
  - manque de blocage par d'autres interrogations,
- de réception des réponses par l'interrogateur qui se décompose en deux probabilités également, celles de :
  - réception en présence de bruit, de blocage des réponses et du fruit,
  - réception en présence du garbling.

L'ensemble de ces probabilités est fonction du nombre d'interrogations par passage du lobe et par mode d'interrogation.

2. — La précision de localisation dépend des mêmes acteurs, avec cette différence qu'elle est déterminée sur les réponses à l'ensemble des modes sur lesquels e transpondeur répond et qu'en partie les impulsions l'encadrement des réponses « garblées » peuvent être éparées et utilisées pour la localisation des avions. De plus, le radar secondaire (ou IFF) fonctionne conjointement avec le radar primaire et la corrélation entre les deux systèmes peut être utilisée pour améliorer la localisation et la continuité de poursuite des pistes des

# 5.1. Probabilité de bonne réception

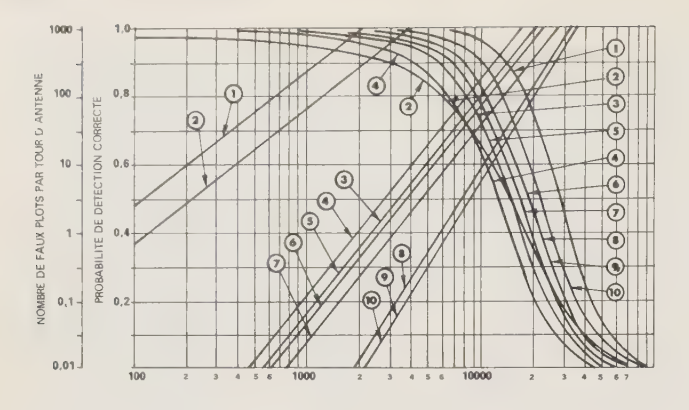
Pour déterminer cette probabilité nous allons utiliser les résultats des paragraphes précédents :

- le taux de blocage du transpondeur (fig. 21, 2e partie),
- le nombre de réponses de « fruit » par seconde (fig. 22, 2e partie) que nous complèterons par les courbes et le tableau (fig. 30) indiquant la probabilité de détection correcte et le nombre de faux plots, en fonction du nombre de réponses « fruit » par seconde, pour différents critères de corrélation et d'extraction qui seront choisis suivant la densité et la distribution du trafic et les caractéristiques des interrogateurs,
- la probabilité des réponses non « garblées » indiquée sur la figure 27 (2<sup>e</sup> partie).

La probabilité de détection des réponses en absence de tout garbling, à la sortie de l'ensemble constitué par le défruiteur et l'extracteur, est déduite également des critères de corrélation et d'extraction. Elle est fonction de la probabilité de détection du signal à l'entrée du récep-

Cette réduction n'entraîne aucune perte de qualité du radar elle se manifeste uniquement par une faible réduction de la portée. Pour les critères utilisés cette perte ne dépasse pas 5 à 10 % et est donc sans conséquence pratique car le radar secondaire a une portée opérationnelle (200 MN ou 370 km) qui est trop grande et qu'il faut réduire dès que la densité du trafic augmente et pose des problèmes d'élimination du fruit et du garbling.

Dans le tableau, figure 31, sont représentés les résultats calculés pour trois densités de trafic : 10<sup>-3</sup> A/km<sup>2</sup>, ordre de grandeur de la densité du trafic actuel dans la région parisienne; 10<sup>-2</sup> A/km<sup>2</sup>, la densité prévisible pour la région parisienne vers 1 990 et 7.10<sup>-2</sup> A/km², la densité du trafic prévisible pour la Zone Terminale de Los Angelès vers 1995.



COURBES	NOMBRE D'INTERROGATIONS	CRITERE DE CORRELATION	CRITERE D' EXTRATION	LIMITE MAX. DU "FRUIT"POUR Pa > 90% Npptas
1	8	2/3	1	200
2	4	2/3	2	400
3	8	2/3	5	5000
4	6	2/3	4	4000
5	8	3/7	6	4500
6	12	3/7	8	6000
7	18	3/7	12	7000
8	12	4/7	4	7000
9	18	4/7	5	8000
10	25	4/7	6	10000

Fig. 30. — Probabilité de détection correcte et de faux plots en fonction de réponses « fruit ».

da	Fi Hz	Nipplm	Taux	"FRUIT"			GARBLING	
A/km² D 90% km D pour da ≠	Dakm Vrt/nun. Trs Nuppl	Nombre modes entre I.	de blocage moyen max	(NRF), du aux : Ni interro au 2° RET	Critères de correlat.	Proba. de detec. correcte pour la P. de faux plots pta     10 en %	Proba. de non garbling en %	PROBABI- LITE DE RECEPTION CORRECTE
,	250 600	8		€ 400	2/3 3	99		0.94
10 <sup>3</sup>	6	5	≈ 0,01	000	2/3, 3	98	0,95	≈ 0 93
	10	4	€ 0,1	400	2/3. 2	97		0,92
	400 375	12		600	3/7.5	99		0,94
	6	8		300	3/7, 5	99	0,95	0,94
	10	6		900	2/3, 3	97		0,92
10-2	400 375	12	≈ 0 02	1000	3/7.6	99		0,77
€ 200 °	6	8	€ 0.1	000	3/7, 6	99	0,78	0,77
	10	6	1	1000	2/3, 3	97		0,76
2 10 <sup>3</sup> ≥ 300	600 250	18		1500	3/7 10	98		0,76
, 555	6	12		1000	3/7 8	98	0,78	0,76
	10 37	9	1	2500	3/7, 6	98		0.76
7 10 -2	450 333	12	0.04	2000	3/7, 6	99		≈ 0.40
≤ 100	7,5	8	0.1	000	3/7, 6	99	0.40	0 40
2 10-2	24	6		2000	2/3, 3	97		0,39
≥ 150	1000	25		2000	4/7.6	98		
5 10 <sup>3</sup> ≥ 300	7.5	18	1	1200	3/7, 10	97	0,40	≈ 0,39
	50	12		3200	3, 7, 8	97		

Fig. 31. — Probabilité de détection correcte en fonction de la densité et de la distribution du trafic et des caractéristiques des interrogateurs.

Nous avons introduit dans ce tableau, en plus du « fruit » produit par des réponses aux autres interrogateurs, et examiné précédemment, « le fruit » produit par des réponses aux interrogations de l'interrogateur lui-même, mais provenant des avions situés au-delà de la distance

d'ambiguïté déterminée par la fréquence d'interrogation (réponses arrivant au second retour). Ces réponses peuvent, soit augmenter la probabilité du « garbling », si la fréquence d'interrogation est fixe, soit augmenter « le fruit » si la fréquence d'interrogation est wobulée. Nous avons admis cette dernière solution qui est habituellement utilisée. On peut remarquer que ce « fruit » devient sensible si le rapport entre la distance d'ambiguïté et la portée du radar à 90 % de probabilité de détection est inférieure à 1,5 et ensuite il croît rapidement si la distance d'ambiguïté diminue (ceci pour les courtes portées où la courbure de la terre joue peu).

On constate que suivant la densité du trafic les caractéristiques du radar peuvent être adaptées pour ramener le « fruit » à des niveaux compatibles avec un faible nombre de faux plots (< à 10 par tour d'antenne) et une probabilité de détection de réponses correcte approchant 99 % et que la limitation des performances du radar provient essentiellement du garbling. Ce dernier restant gênant comme nous l'avons déjà dit dès son apparition, à cause de sa persistance et rend le radar secondaire difficilement exploitable pour les densités du trafic dépassant quelques 10<sup>-3</sup> A/km².

# 5.2. Précision de localisation

La précision de la mesure de distance ne pose pass de problème; elle est suffisante. Conformément aux spécifications, l'erreur de mesure de distance est inférieure à  $\pm$  1 000 pieds ( $\pm$  300 m).

La précision angulaire est plus critique en fonction de la probabilité de réponses et la probabilité de réception des réponses.

Nous avons représenté sur la figure 32 l'erreur angulaire en fonction du coefficient de manque de réception de réponses  $q_r$ , en prenant comme paramètre le nombre d'interrogation I par passage du lobe principal.

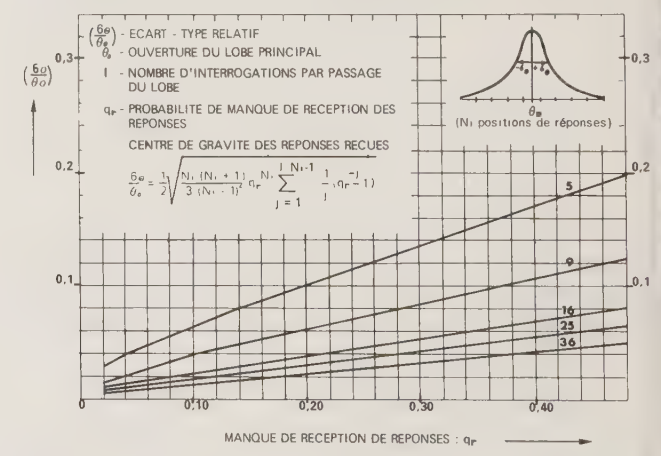


Fig. 32. — Précision de la mesure angulaire

Le coefficient de manque de réception à la limite œ portée à 90 % de probabilité de détection est donné par

$$q_r = 1 - 0.90^2 (1 - q_1)$$

où  $q_1$  est le taux de blocage du transpondeur.

Dans la plupart des cas, l'entrelacement des interrogations se fait entre 3 modes, mais le transpondeur r

répond en général que sur 2 modes parmi les 3; d'où une perte d'un tiers des réponses. En considérant le tableau (fig. 31), ceci donne au minium 10 interrogations par passage d'antenne.

[Des cas avec moins d'interrogations peuvent se présenter (antenne radar utilisée pour le SSR également), mais dans ce cas l'angle d'ouverture θ est plus faible et la précision se trouve plutôt améliorée].

Les précisions angulaires obtenues (représentées pour 2 cas particuliers dans le tableau (fig. 33), répondent aux spécifications et peuvent être considérées comme satisfaisantes dans le cas général pour les vols suivant les routes radiales.

q <sub>1</sub>	0,05 0,23		0,30 0,43		
1	I $6_{\Theta}/\theta_O$ $6_{\Theta}^*$ pour $\theta_O=2,25$		6e/ 0o	6 θ pourθo=2,25	
5	0,112	0,25	0,180	0,40	
9	0,067	0,15	0,112	0,25	
16	0,044	0,10	0.072	0,16	
25	0,032	0,07	0,055	0,12	
36	0,027	0,06	0,044	0,10	

Fig. 33. — Erreur angulaire de mesure pour deux valeurs particulières de q.

Cependant on peut estimer qu'il sera préférable d'améliorer la précision de mesure angulaire pour effectuer à l'avenir la surveillance des vols suivant les routes R. NAV.

Par ailleurs, comme nous allons le voir, d'autres facteurs contribuent à détériorer cette précision et nécessitent l'amélioration des caractéristiques des antennes, essentiellement celles de l'interrogateur au sol.

# 5.3. Amélioration du système

Les résultats présentés dans les figures 30 à 33 peuvent être considérés comme optimistes étant donné qu'ils ne tiennent pas compte des différentes causes de fluctuation, telles que :

- la distribution spatiale fine du trafic,
- la puissance d'émission entre les différents transpondeurs, restant dans les tolérances acceptables de 6 dB;
- le gain de l'antenne du transpondeur qui varie suivant la présentation angulaire de l'avion (des trous de 10 dB sont possibles);
- le gain de l'antenne de l'interrogateur dû aux interférences, essentiellement produites par des réflexions sur e sol (des trous de 10 dB et plus sont possibles).

L'ensemble de ces fluctuations entraîne la détérioration des résultats présentés du fait de :

- l'augmentation du garbling, déjà très gênant,
- la discontinuité de détection, gênante pour le contrôle du trafic,
- la détérioration de la précision de localisation, qui peut être très gênante pour la poursuite régulière des pistes des avions.

Des améliorations peuvent être apportées à chacune des causes de ces fluctuations; on peut citer :

— la navigation en surface qui pourrait atténuer les premières,

- la dispersion de la puissance d'émissions des transpondeurs qui pourrait être réduite à 3 dB (de 250 W à 500 W),
- la régularité du diagramme de rayonnement de l'antenne bord qui pourrait être améliorée soit par l'utilisation d'une seule antenne ayant un diagramme amélioré, soit par deux antennes commutables,
- la réduction du nombre de réponses nécessaires à une bonne détection et une localisation précise de l'avion; l'utilisation d'une antenne du type monopulse permettant à la limite de ne travailler que sur une seule réponse,
- la réduction des réflexions sur le sol, par la courbure rapide du diagramme du rayonnement de l'antenne d'interrogateur vers le sol (vers environ 6 à 10 dB).

L'ensemble de ces améliorations est envisageable, envisagé ou déjà appliqué, en particulier celles concernant l'antenne de l'interrogateur qui sont très importantes et seront vraisemblablement généralisées dans l'avenir.

Ces améliorations sont entièrement compatibles avec le système actuel. Elles auront pour résultat d'améliorer la continuité de détection (en s'approchant des performances indiquées dans le tableau) (fig. 31) et d'améliorer la précision de localisation angulaire par rapport à celle indiquée dans les figures 32 et 33, mais elles n'auront qu'un effet relativement faible sur le garbling qui se maintiendra dans les valeurs indiquées au tableau (fig. 31).

# CONCLUSIONS

En reprenant donc les résultats du tableau (*fig.* 31) et en supposant faites toutes les améliorations indiquées, on peut conclure que le radar secondaire devrait répondre aux besoins du trafic futur, prévisible jusqu'en l'an 2000, même dans les zones de très grande densité, si les problèmes posés par le garbling étaient résolus. Dans le cas contraire, son remplacement devrait être envisagé et ceci relativement tôt, car le garbling est gênant et éliminatoire, même en cas de faible probabilité d'apparition. Nous allons donc examiner les différentes évolutions envisageables du système, en vue d'éliminer le garbling.

# 6. ÉVOLUTION DU SYSTÈME

Deux voies de recherche sont actuellement en cours, l'une (DABS/ADSEL) à relativement court terme, l'autre (Système Intégré de Communication, Navigation et Identification dit CNI) à terme plus lointain.

La première conduit à un ensemble du système CNI constitué de sous-ensembles spécialisés par fonction ou des sous-ensembles partiellement intégrés; l'autre conduit à un ensemble intégré, devant se traduire par une économie globale de prix, de volume et de poids et une simplification de l'exploitation et de la maintenance, aussi bien pour les équipements bord que pour l'infrastructure sol; ceci à capacité et disponibilité globale du système identique.

Cependant la seconde voie étant à terme plus lointain, la première pourrait s'avérer indispensable, au moins à titre transitoire, à moins qu'il ne soit possible d'améliorer le radar secondaire pour assurer cette transition sans son changement, si ce changement dans ces conditions reste toujours indispensable.

# 6.1. Système spécialisé nouveau

Dans le premier cas, le système reste spécialisé et compatible avec le radar secondaire, avec cette différence que :

- l'interrogation commune continue est remplacée par l'interrogation adressable individuelle,
- le décodage de la réponse et la localisation de l'avion sont faits sur une seule liaison interrogation-réponse.

Ceci permet d'éliminer le garbling, de réduire le nombre des interrogations et donc de permettre d'autres communications sol-air-sol, en élargissant ainsi les limites du système.

Ce système utilise:

- un code d'interrogation avec adresse individuelle de l'aéronef interrogé.
- une antenne à pointage électronique de préférence, mais qui peut être aussi à rotation continue, cette antenne est du type monopulse à la réception pour permettre la localisation sur une seule réponse,
- le message contient des bits d'information et des bits en redondance permettant de détecter et de corriger des erreurs de transmission pour améliorer la détection exacte sur un seul échange interrogation-réponse,
- l'interrogation programmée pour interroger les aéronefs lors du passage du lobe d'antenne dans leur direction, ou pour le pointage de l'antenne dans leur direction; cette interrogation suppose une acquisition préalable, celle-ci est faite par,
- une interrogation spéciale d'acquisition cyclique commune, mais limitée aux avions non identifiés.

Les systèmes ADSEL (ADdress SELective SSR) (UK) et DABS (Discrete Address Beacon System) (USA) sont basés sur ce principe. En plus de leur utilisation pour l'identification, la transmission d'altitude et la localisation qui sont les fonctions du radar secondaire, ces systèmes peuvent être utilisés comme un Data Link spécialisé, limité à la transmission de données, pendant le passage du lobe principal de l'antenne sur l'avion. Cette transmission se fait par division en temps, à la seule initiative du sol, sur le canal unique du système qui utilise les mêmes fréquences que le SSR : 1 030 MHz et 1 090 MHz.

# 6.2. Système intégré

Dans le second cas, il s'agit du système basé sur le Data Link Universel conduisant au système intégré qui a été désigné aux USA par Système Intégré de Communication, Navigation et Identification : ICNI.

Il assure l'ensemble des fonctions utilisant les transmissions air-sol et air-air; ce sont :

- la communication de l'ensemble des informations sol-air-sol nécessaires à la navigation et au contrôle du trafic : transmission ces données, de même que la transmission de la phonie en numérique,
- la localisation des aéronefs aussi bien à bord (remplissant la fonction de navigation) qu'au so (remplissant la fonction de surveillance),
  - l'identification,
  - l'anticollision bord-bord.

C'est un nouveau système qui englobe les fonctions du radar secondaire mais qui n'est plus compatible avec lui; il est compatible avec le Data Link Universel futur qui dans le cadre des futurs systèmes apparaît comme inéluctable. Le problème qui est à résoudre est celui de définir ce Data Link compatible avec le Système Intégrée Dans ce système :

- le réseau des stations au sol utilise des antennes omni-directionnelles,
- les communications, suivant la fonction, son organisées par division en fréquence, plusieurs canaux de fréquences peuvent être attribués par fonction, à l'intérieur de chaque canal les communications sont
  - soit organisées par division en temps par attribution individuelle des intervalles de temps aux différentes correspondants, pour évites tout garbling;

 soit à accès aléatoire, pour les communication à accès rapide, dans les canaux faiblement chargés, pour éviter des garbling gênants,

- soit émises dans des intervalles de tempo attribués sur demande (phonie), cette dernière étant transmise en accès aléatoire, ou dans des intervalles attribués;
- la localisation est basée sur les émission cycliques, synchronisées par horloge et effect tuées dans des intervalles attribués individuelles ment à chaque correspondant : les stations as sol pour la navigation, les avions pour la surveillance; le calcul de position est fait partir du temps de propagation, dans un seu sens (one way) mesuré au moins par rappo) à 3 stations (3 R).

Les messages transmis par les avions contienner entre autre, les informations sur l'identité et l'altitude d' l'avion.

6.3 Les systèmes ADSEL et DABS sont étudié actuellement conjointement et constituent pratiquement un système unique DABS/ADSEL.

Le système est compatible avec le radar secondain et peut coexister avec lui; il introduit néanmoins le nouveaux équipements, ausi bien à bord qu'au sol. s'insère dans l'ensemble des systèmes électronique spécialisés d'aide à la navigation aérienne, en résolvat un point particulier et en y ajoutant une partie des fonctions du Data Link.

Il laisse donc subsister l'ensemble des systèmes spécialisés : de navigation, d'anticollision et de communi cation en phonie et laisse ainsi la place pour un système complémentaire de transmission numérique, type Data Link Universel.

Un élargissement des fonctions de DABS est envisagé par son utilisation dans BCAS (Beacon Collision Avoidance System), système assurant l'anticollision automatiquement à partir du sol. Au stade actuel de sa définition, la complexité du système apparaît sensiblement augmentée. Le réexamen des spécifications est en cours.

6.4. Le système intégré multifonctions n'est compatible avec aucun système existant. Il peut coexister avec eux, mais en les doublant initialement avant de les remplacer. Il ne pourra être introduit rationnellement qu'en fonction des besoins opérationnels d'un Date Link Universel. L'introduction de ce dernier système se fait sentir cependant avec moins d'urgence que la nécessité d'éliminer le garbling du radar secondaire.

Le choix du système de remplacement du radar secondaire est donc fondamentalement conditionné par la période de transition entre les systèmes actuels et le système futur et les priorités des besoins.

Ce sont ces priorités qui expliquent l'avance actuelle prise par DABS/ADSEL sur le système intégré CNI, bien que l'unanimité semble exister pour reconnaître que le système intégré présente la solution la plus rationnelle qui devrait être la solution dans un avenir plus lointain. C'est ce qui explique que les études sur le système intégré se poursuivent néanmoins.

Les données de ce problème pourraient cependant être modifiées par l'amélioration du radar secondaire lui-même, portant sur la réduction du garbling, et la perte de son caractère persistant, raison fondamentale de la gêne qu'il provoque et permettant ainsi de prolonger suffisamment sa durée de vie pour faire directement la jonction avec le futur système intégré.

# 6.5. Radar secondaire de Surveillance à réponses stochastiques

SRSSR (Stochastic Reply Secondary Surveillance Radar).

Il est possible d'obtenir la séparation des réponses des aéronefs sans avoir recours à l'adressage sélectif. La procédure consiste à envoyer les réponses aux interrogations reçues suivant un processus stochastique en répondant avec une probabilité 1/2, 1/3 ou 1/4 que l'on peut optimiser suivant le cas (\*).

Pour montrer la validité du procédé nous avons représenté sur la figure 34 les résultats obtenus dans les conditions de la figure 27 (2° partie), mais en supposant que les réponses soient effectuées aléatoirement dans la proportion de 1/3.

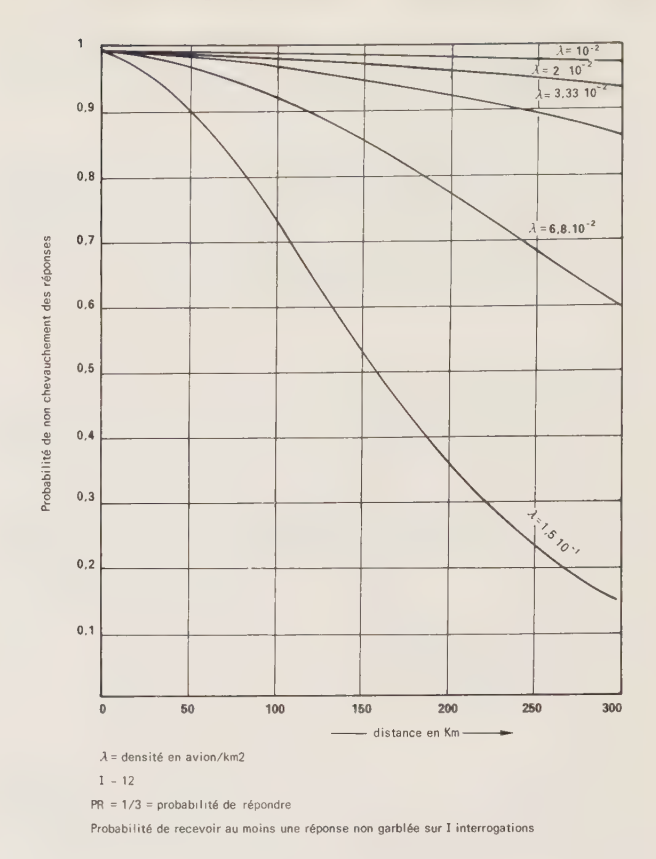


Fig. 34. — Non « garbling » avec envoi aléatoire des réponses.

Cette amélioration spectaculaire donne des résultats immédiatement acceptables. De plus, le garbling qui persiste, présentant une nature aléatoire, peut être éliminé par comparaison des résultats obtenus pendant plusieurs tours successifs.

Il y a donc une probabilité élevée de séparer les avions dans les tours successifs de l'antenne, contrairement à ce qui se passe actuellement.

### Pour optimiser le procédé :

- la cadence d'interrogation peut être augmentée pour que le nombre de réponses envoyées par chaque avion soit suffisant afin d'assurer correctement le défruitage ainsi que la bonne réception des informations d'identité et d'altitude de vol. Cette cadence serait limitée essentiellement par le fruit provenant du second retour qui doit rester dans les limites acceptables, mais qui est réduit dans la proportion des manques aléatoires de réponses.
- Le taux de blocage des réponses dû à l'augmentation de la cadence d'interrogation, reste limité et négligeable devant les manques de réponses dus au processus stochastique.
- La réduction éventuelle du nombre de réponses par passage du lobe peut entraîner une réduction de la précision de localisation angulaire. Dans la mesure où elle devient inacceptable, l'utilisation simultanée de l'antenne type monopulse permet d'obtenir la précision nécessaire.

Ce procédé d'exploitation du radar secondaire est donc susceptible de résoudre le problème posé par le garbling et de permettre l'exploitation correcte du radar secondaire pour les densités du trafic prévisibles

<sup>(\*)</sup> Ce procédé a été exposé pour la première fois lors de la journée d'étude SEE du 20 novembre 1975 (rapport interne Thomson/CSF, réf. DSE/044/RN-1505/75).

jusqu'en l'an 2000, tout en étant obtenu au prix de très faibles modifications des équipements existant actuellement à bord et au sol.

Un programme d'expérimentation en vol du procédé est en cours de réalisation en France, avec la participation des Administrations Civiles et Militaires et les Industriels intéressés. On prévoit que les résultats des essais seront obtenus au printemps prochain.

### CONCLUSION

Le Radar Secondaire de Surveillance (SSR) est gêné essentiellement par le garbling des réponses.

Trois types de solutions sont actuellement examinés : deux avec adressage sélectif, l'une dans le cadre du système spécialisé (ADSEL/DABS), l'autre dans le cadre du système intégré CNI, la troisième avec émission stochastique des réponses aux interrogations du radar secondaire (SRSSR).

Les trois solutions font actuellement l'objet d'études et d'essais.

Si la troisième solution se confirme opérationnellement valable, après l'expérimentation en vol, le remplacement du radar secondaire, pour des raisons opérationnelles, devient sans objet et son remplacement éventuel dans le temps ne pourra résulter que de raisons économiques dans le cadre de l'ensemble du système CNI.

Dans le cas contraire, il reste à faire un examen approfondi entre la solution utilisant DABS/ADSEL pour la période de transition et la possibilité d'introduction dès le début du Data Link Universel pouvant conduire directement au système intégré CNI.

# **Bibliographie**

### OACI:

- Télécommunications Aéronautiques Annexe 10, Volume 3.8. — Caractéristiques du système radar secondaire de surveil lance (SSR).

### EUROCAÉ:

Spécifications de performances minimales pour le matériel transpondeur de bord de radar secondaire (éd. 1972).

Journées d'étude: 15 juin 1973 (Londres), 22 février 1974 (Paris), 22 juin 1974 (Munich) et 22 juillet 1975 (Paris): Présentation des systèmes SSR, ADSEL, DABS, Système intégré CNI (MINS).

Journée d'étude du 20.11.75 : Radar Secondaire de Surveillance

Avionics seminar on aircraft separation assurance, Sept. 3rd 1976 Conférences présentées sur les systèmes ADSEL DABS et BCAS.

# THOMSON-CSF (rapports internes):

DSE/044/RN 1283/73: Radar secondaire de surveillance

DSE/044/RN — 1059/73: Radar secondaire de surveinance caractéristiques, environnement, performances;
DSE/044/RN — 1067/73: Système intégré de : Identification navigation, contrôle de trafic et communications;
DSE/044/RN — 1059/74: Eurocaé, Groupe de travail nº 9/
Journée d'étude du 22.2.1974: Radar secondaire de surveillance Environnement et performance du radar secondaire de surveil

1152/74: Radar de surveillance: les plots para

DSE/044/RN — 1702/4. Radar de survenance. les plots para-sites dus au fruit et leur élimination; DSE/044/RN — 1505/75 : SEE/IFN Journée d'étude du 20.11.197/ Radar secondaire de surveillance : limites du système actuel: système à réponses aléatoires.

5 rapports faits par M. Lj. MILOSEVIC.

DSE/044/RN — 1542/75: Étude du fruit et du garbling dans l'adar secondaire fait par MM. M. LENOIR et C. SINNASSAMY.

Congrès AGARD, Edimbourg 1972, Conference proceeding n° 10 on Air traffic control systems.

Intégration des fonctions de communications, de navigation

d'identification et de contrôle du trafic par Lj. MILOSEVIC P. MOLLIE.

Congrès AGARD, Cambridge, Mass 1975.
Système de navigation intégré multifonctions par Lj. MILOSEVIC.
Congrès ION, Cambridge, Mass, 2 au 6 août 1976.

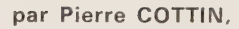
Systèmes intégrés de communication, de navigation et d'identication par D. Coulmy.

Congrès ION, Cambridge, Mass, 2 au 6 août 1976.

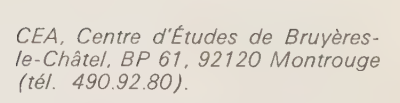
Système intégré CNI dans la navigation aérienne par Lj. MII SEVIC.

# Modèle de transistor bipolaire

L'onde électrique 1976, vol. 56, n° 12 pp. 505-513



Ingénieur ESME, DEA Électronique, Chef de Laboratoire de conception assistée par ordinateur au CEA.





La variation du gain en courant β d'un transistor en fonction du courant collecteur a reçu plusieurs interprétations.

Le modèle proposé tente de rassembler les différents

effets tout en restant suffisamment simple pour être utilisé dans un programme CAO classique du genre IMAG ou ASTEC.

### INTRODUCTION

La variation du gain en courant  $\beta$  d'un transistor en fonction du courant collecteur a reçu plusieurs interprétations. Si, dans la zone des faibles courants la montée du gain est à peu près unanimement attribuée, soit à la recombinaison dans la zone de charge d'espace ( $I_{\rm RGV}$ ), soit aux effets de surface ( $I_{\rm S}$ ), soit à une combinaison des deux; par contre la chute du gain aux forts courants est attribuée à la défocalisation par les uns ou à la chute du taux d'injection par les autres, d'où différents modèles.

Le modèle IBIS a une structure particulièrement bien adaptée au traitement par les programmes CAO classiques du genre IMAG II ou ASTEC. Cependant, l'hypothèse de défocalisation semble parfois ne pas être trop satisfaisante, en particulier pour les transistors de faibles dimensions. Cela vient vraisemblablement du fait que Rey dans son calcul de défocalisation suppose que la résistivité de la base reste constante.

Nous avons pu par ailleurs constater grâce au programme MOBIDIC que la défocalisation dans une structure du type 2N 2222 était moins importante que l'on pourrait le supposer et de toute manière insuffisante pour expliquer la chute du gain.

Dans ce qui va suivre, nous allons calculer le taux d'injection de la jonction émetteur-base, calculer la défocalisation et faire les approximations nécessaires à un modèle opérationnel.

# 1. CALCUL DES COURANTS COLLECTEUR-BASE DANS LA ZONE ACTIVE

Considérons la jonction émetteur (P)-base (N) d'un transistor bipolaire représentée figure 1 dont les dopages sont respectivement  $N_{\rm E}$  et  $N_{\rm B}$ .

Les concentrations aux limites de la zone de transition émetteur-base sont liées au potentiel par les relations classiques de Boltzmann:

$$\frac{P_{N}}{n_{i}^{2}} \frac{N_{E}N_{B}}{P_{P}} = \frac{N_{P}}{n_{i}^{2}} \cdot \frac{N_{B}N_{E}}{N_{N}} = A \begin{cases} en \text{ posant } A = \exp \frac{qV}{KT} \end{cases}$$
 (1)

où:

- ullet  $P_{\rm P}=$  concentration en trous dans la zone P pour une polarisation V,
- $\bullet$   $N_{\rm P}=$  concentration en électrons dans la zone P pour une polarisation V,
- $\bullet$   $N_{\scriptscriptstyle N}=$  concentration en électrons dans la zone N pour une polarisation V,
- $\bullet$   $P_{\mbox{\tiny N}}=$  concentration en trous dans la zone N pour une polarisation V.

Cela fait trois relations à quatre inconnues.

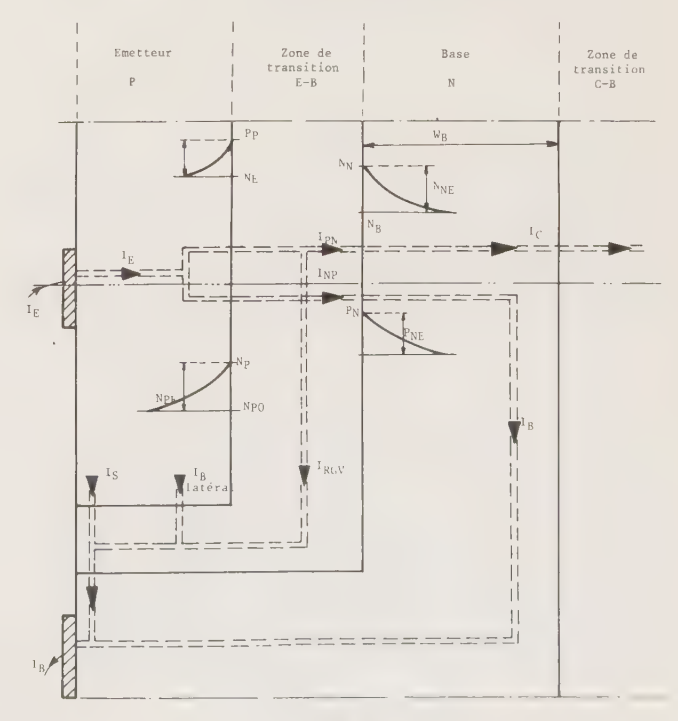


Fig 1.

La quatrième relation peut être :

— soit l'expression de la neutralité dans l'émetteur :  $P_{\rm PE} = N_{\rm PE},$ 

— soit l'expression de la neutralité dans la base :  $N_{\mathrm{NE}} = P_{\mathrm{NE}}$ 

en utilisant l'indice « E » pour les concentrations excédentaires (exemple :  $P_{\rm PE}=P_{\rm P}-N_{\rm E}).$ 

Larin [1] a utilisé la première hypothèse. Le calcul donne alors  $P_{\rm N}$  proportionnel à  $A^2$  alors que  $N_{\rm N}$  reste proportionnel à A. La seconde hypothèse est plus communément admise à l'heure actuelle.

En effet, la neutralité implique que le champ électrique soit constant dans la zone considérée (équation de Poisson). Les programmes de calculs bidimensionnels dans un transistor bipolaire [2] ont montré que l'hypothèse du champ constant était plus vraie dans la base que dans l'émetteur.

Nous utiliserons donc l'hypothèse de neutralité dans la base :

$$N_{\scriptscriptstyle NE}=P_{\scriptscriptstyle NE}$$

Le système (1) associé à l'équation précédente conduit à une expression du deuxième degré pour  $P_{\rm N}$  dont seule la racine positive peut répondre au problème

$$\begin{cases} P_{N} = \frac{N_{B}}{2} \left[ \sqrt{1 + \frac{4n_{i}^{2}}{N_{B}^{6}}} A - 1 \right] \\ N_{P} = \frac{n_{i}^{4}}{N_{E}N_{B}} \frac{A^{2}}{P_{N}} \end{cases}$$

En posant:

$$K = \frac{n_i^2}{N_B^2}$$

et:

$$B = \frac{\sqrt{1 + 4K_A} - 1}{2 \text{ K}}$$

on arrive aux concentrations excédentaires :

$$\begin{cases} P_{NE} = \frac{n_i^2}{N_B^2} (B - 1) \\ N_{PE} = \frac{n_i^2}{N_E} \left( \frac{A^2}{B} - 1 \right) = \frac{n_i^2}{N_E} (B(KB + 1)^2 - 1) \end{cases}$$
 (2)

Le courant de trous injecté dans la base est proportionnel à  $\mathsf{P}_{\mathrm{NE}}$ 

$$I_{PN} = P_{NE} imes ext{diffusance de base} = P_{NE} \cdot rac{qS_E D_B}{W_P}$$

où:

- ullet  $D_B = \text{coefficient}$  de diffusion des trous dans la base,
  - W<sub>B</sub> = épaisseur de base,
  - $S_E$  = aire de la jonction émetteur-base.

De même, le courant d'électrons injecté dans l'émetteur est proportionnel à  $N_{\rm PE}$  :

$$I_{\text{NP}} = N_{\text{PE}} \cdot \frac{S_{\text{E}} q D_{\text{E}}}{L_{\text{P}}}$$

οù

- ullet  $L_{\mathrm{P}}=$  longueur de diffusion des électrons dans l'émetteur (P),
- $\bullet$   $D_{\rm E}=$  coefficient de diffusion des électrons dans l'émetteur.

Finalement en utilisant (2):

$$\begin{cases} I_{PN} = \frac{qn_i^2 S_E D_B}{N_B W_B} (B - 1) \\ I_{NP} = \frac{qn_i^2 S_E D_E}{N_E L_P} [B(KB + 1)^2 - 1] \end{cases}$$
(3)

Or,

- $\bullet$   $I_{\rm PN}=I_{\rm C}$  en négligeant la recombinaison dans a base,
- $\bullet$   $I_{\mathrm{NP}}=I_{\mathrm{B}}^{*}$  en reprenant les notations IBIS (3) : courant intrinsèque de base.

### 2. APPROXIMATIONS

# a) Effet Early

L'effet Early est suffisamment connu. Rappelons simplement que la largeur d'une zone désertée est fonction du potentiel à ses bornes V

$$W_{
m dep} = W_{
m do} \Big( 1 - rac{V}{V_\psi} \Big)^{1/r}$$

où r=2 ou 3 selon la jonction et  $V_{\psi}$  la barrière de potentiel.

L'épaisseur de base  $W_B$  qui intervient dans la formula du courant  $I_{\rm PN}$  sera donc modulée principalement par l'épaisseur de la zone désertée collecteur-base.

L'examen des caractéristiques  $I_C = f(V_{CE})$  montréque si on prolonge les courbes correspondant à différents  $I_B$  en dehors de la zone de saturation, elles convergent approximativement en un point  $V_A$  de l'axe  $V_{CE}$ 

Cette tension V<sub>A</sub> a été baptisée « tension d'Early » (4) puisqu'elle représente grossièrement l'effet de la modulation de l'épaisseur de base W<sub>B</sub> sur le circuit collecteur

Le système (3) peut donc s'écrire sous la forme

$$I_{C} = I_{EO} \left( 1 + \frac{V_{CE}}{V_{A}} \right) (B - 1)$$

$$I_{B}^{*} = I_{BO} [B(KB + 1]^{2} - 1)$$
(4)

en posant:

$$\left\langle I_{\mathrm{EO}} = rac{q n_{\mathrm{i}}^{2} \mathrm{S_{E}} \mathrm{D_{B}}}{\mathrm{N_{B}} \mathrm{W_{BO}}} 
ight
angle \ \left\langle I_{\mathrm{BO}} = rac{q n_{\mathrm{i}}^{2} \mathrm{S_{E}} \mathrm{D_{E}}}{\mathrm{N_{E}} \mathrm{L_{B}}} 
ight.$$

# b) Faibles injections

Dans ce domaine 4 KA  $\ll$  1 et d'après (1) B  $\simeq$  A Les relations (4) s'écrivent alors :

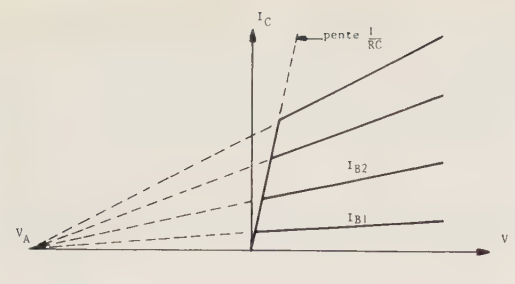


Fig. 2.

Formules classiques de la faible injection où le taux d'injection à  $V_{\rm CE}$  donné s'écrit :

$$\beta_0' = \frac{I_C}{I_B} = \frac{I_{EO}(V_{CE})}{I_{BO}} = \beta_0 \left(1 + \frac{V_{CE}}{V_A}\right) \qquad \text{où} \qquad \beta_0 = \frac{I_{EO}}{I_{BO}}$$

# c) Fortes injections

Dans ce domaine 4 KA  $\gg$  1 et d'après (1) B  $\simeq \left(\frac{A}{K}\right)^{1/2}$ . Les relations (4) s'écrivent alors :

et le taux d'injection est alors :

$$\gamma = \frac{\beta_0'}{KA}$$

Posons:

$$U_{T} = \frac{KT}{q},$$

le courant intrinsèque de base en exp  $\left(\frac{3~V_{BE}}{2~U_{T}}\right)$  est moins fréquemment rencontré dans les publications, il peut pourtant contribuer à expliquer pourquoi la caractéristique expérimentale  $I_{B}(V_{BE})$  en coordonnées semi-logarithmiques reste souvent linéaire sur une décade de plus que la caractéristique  $I_{C}(V_{BE})$  puisqu'il a tendance à compenser le phénomène de défocalisation comme nous allons le voir.

# d) Défocalisation

Une étude exhaustive a été faite à ce sujet par Rey [6]. Une restriction doit cependant être faite :

En posant:

$$R = \frac{\bar{\rho}}{2\pi W_{R}}$$

où:

$$\bar{\rho} = \frac{1}{q \, \mu_{\text{N}} \, \overline{\text{N}}_{\text{B}}}$$

est une résistivité moyenne de base et  $\mu_{\rm N}$  la mobilité des électrons dans la base. On peut calculer :

$$I_{\mathrm{B}}^{*} = \frac{4U_{\mathrm{T}}}{\mathrm{R}} \left( e^{\frac{V_{\mathrm{BB'}}}{U_{\mathrm{T}}}} - 1 \right)$$

Ce résultat reste valable en faible injection. En forte injection il faut tenir compte de la modulation de résistivité.

En posant :

$$\overline{\mu} = \frac{\mu_N + \mu_P}{2}$$

moyenne des mobilités de trous et d'électrons, on peut évaluer :

$$\overline{\rho} = \frac{1}{q\overline{\mu}(\overline{N}_{B} + P_{NE})} = \frac{1}{q\overline{\mu}\overline{N}_{B}(1 + KB)} = \frac{\rho_{0}}{1 + KB}$$

Considérons une base rectangulaire pour plus de commodité (fig. 3). Le système d'équation s'écrit :

$$\begin{cases} dV(x) = r(x) & i(x) \\ di(x) = J(x) \end{cases}$$

avec :

$$\begin{cases} J(x) = J_s L_2 \, dx \, B(x) [KB(x) + 1]^2 \\ r(x) = \frac{\rho_0 \, dx}{L_2 W_B [1 + KB(x)]} \end{cases}$$

d'où:

$$i(x) di(x) = \frac{I_{BO}}{R} B(x) [1 + KB(x)]^3 dV(x)$$

en posant:

$$I_{BO}=J_{s}L_{1}L_{2}$$
 et  $R=rac{
ho_{0}L_{1}}{W_{R}L_{2}}$ 

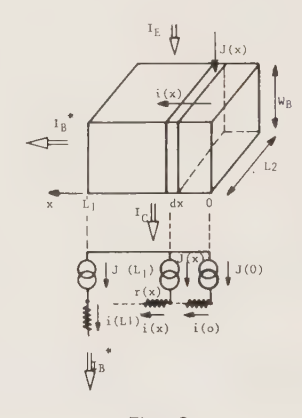


Fig. 3.

Sachant que:

$$dV = U_{T} \frac{dA}{A} = U_{T} \frac{(2 KB + 1)}{B(KB + 1)} dB$$

L'équation devient :

$$i d_i = \frac{I_{BO}U_T}{R} (1 + KB)^2 (2 KB + 1) dB$$

Comme précédemment nous allons envisager 2 cas :

1° FAIBLE INJECTION

$$4 \text{ KA} \ll 1$$
 d'où  $B \simeq A$  et  $KB \ll 1$ 

L'équation différentielle devient :

$$i d_i = \frac{I_{BO} U_T}{P} dA$$

On intègre de x = 0 à  $x = L_1$  avec comme conditions aux limites:

Soit:

$$I_{\mathrm{B}}^{*_2} = \frac{2U_{\mathrm{T}}\,I_{\mathrm{BO}}}{R}\,e^{\frac{\mathrm{V}}{U_{\mathrm{T}}}}\left(e^{\frac{\mathrm{V}_{\mathrm{BB}'}}{U}}-1\right)$$

Si on veut représenter le courant base par un générateur de la forme :

$$I_{\mathrm{B}}^{*} = I_{\mathrm{BO}} \, e^{\frac{\mathrm{V}_{\mathrm{B}'\mathrm{E}}}{\mathrm{U}_{\mathrm{T}}}},$$

courant qui existerait sans défocalisation, il faut alors que:

$$I_{\mathrm{B}}^* = \frac{2 \mathrm{U_T}}{\mathrm{R}} \left( e^{\frac{\mathrm{V_{BB'}}}{\mathrm{U_T}}} - 1 \right)$$

Ou encore si  $\frac{V_{BB'}}{H_{m}}$  est suffisamment petit

$$e^{\frac{V_{BB'}}{U_T}} \simeq 1 + \frac{V_{BB'}}{U_T},$$

soit:

$$V_{BB'} = \frac{R}{2} I_B \tag{7}$$

2° FORTE INJECTION

$$4 \text{ KA} \gg 1$$
 d'où  $B = \sqrt{\frac{A}{K}}$  et  $KB \gg 1$ 

L'équation différentielle devient :

$$i d_i = \frac{2 I_{BO} U_T}{R} K^3 B^3 dB$$

avec les mêmes conditions initiales :

$$\begin{split} I_{\rm B}^{*2} &= \frac{U_{\rm T}I_{\rm BO}}{R}\,\mathrm{K}\,^3\![\mathrm{B}^4\!(\mathrm{L}_1\!) -\!\!\!-\mathrm{B}^4\!(0)] \\ &= \frac{U_{\rm T}I_{\rm BO}}{R}\,\mathrm{K}[\mathrm{A}^2\!(\mathrm{L}_1\!) -\!\!\!-\mathrm{A}^2\!(0)] \end{split}$$

soit:

$$I_{\rm B}^{*2} = \frac{{\rm U_{\rm T}}I_{\rm BO}}{{\rm R}}\,{\rm K}e^{\frac{2\,{\rm V_{\rm B}},{\rm E}}{{\rm U_{\rm T}}}} \left(e^{\frac{2\,{\rm V_{\rm BB}},{\rm U_{\rm T}}}{{\rm U_{\rm T}}}} - 1\right)$$

Si on veut toujours représenter le courant base par un générateur de la forme :

$$I_{\mathrm{B}}^{*} = I_{\mathrm{BO}} e^{\frac{V_{\mathrm{B}'^{\mathrm{E}}}}{U_{\mathrm{T}}}},$$

il faut alors que :

$$\frac{\mathrm{R}\;\mathrm{I}_{\mathrm{BO}}}{\mathrm{K}\;\mathrm{U}_{\mathrm{T}}} = e^{\frac{2\;\mathrm{V}_{\mathrm{BB}'}}{\mathrm{U}_{\mathrm{T}}}} - 1$$

Ou, si on admet encore que  $\frac{2 V_{BB'}}{U_{T}}$  est suffisamment petit:

$$V_{BB'} = \frac{R}{2} \frac{I_{BO}}{K} \tag{8}$$

Pour les deux régimes le courant base reste donc égal à  $I_{BO}$  e  $^{\mathrm{U_T}}$  et la tension  $V_{\mathrm{BB'}}$  égale à  $R_{\mathrm{B}}I_{\mathrm{B}}^*$  aux faibles injections en posant  $R_B = R/2$ , reste constante et égale à RBIBO/K aux fortes injections.

La tension  $V_{BE} = V_{BB'} + V_{B'E}$  est ainsi conservée, ce qui est important pour la « diode » latérale dont nous allons parler maintenant.

# e) Autres composantes du courant base

Outre le courant l<sup>\*</sup><sub>B</sub> dû à l'injection des porteurs minoritaires dans la base active, on peut dénombrer quatre autres courants (fig. 1):

- Le courant minoritaire injecté dans la base laté-
- Le courant de recombinaison dans la base neutre; que nous avons négligé.
- Le courant de recombinaison dans la zone de: charge d'espace IRGV.
  - Le courant de surface Is.

Il est très difficile de caractériser ces deux derniers courants pour les différencier. Quelques éléments d'explication ont été donnés [8].

Dans le modèle, il n'est pas question de préciser On exprimera simplement un courant de la forme :

$$I_{R} = I_{RO} \left( e^{\frac{V_{BE}}{n U_{T}}} - 1 \right) \simeq I_{BL} + I_{RGV} + I_{S}$$
 (9)

Le coefficient 1 < n < 2 sera souvent choisi arbitrairement à sa valeur moyenne n=1,5.

# f) Résistance de collecteur

Cette résistance est importante pour le modèle Elle peut être la cause d'une saturation précoce du transistor. Comme la résistance de base, elle dépend du niveau d'injection:

$$\bar{\rho} = \frac{1}{q\bar{\mu} \left( \mathbf{P}_c + n_c \right)}$$

si  $n_c$  est la concentration en minoritaires due à l'injection

Cette concentration varie donc en des proportions telles qu'il serait faux de la prendre constante égale à Pc dopage P du collecteur.

Pour ne pas avoir d'erreurs au niveau de la simulation, il est plus sûr et plus simple de la mesurer su les caractéristiques I<sub>C</sub>(V<sub>CE</sub>) (fig. 2).

En la prenant constante de cette manière, l'erreul sera commise aux faibles niveaux d'injection, ce qui aura peu d'importance puisque la chute de potentier sera faible. Un autre phénomène peut intervenir aux forts niveaux d'injection : le « push out effect ». Si la jonction reste polarisée en inverse aux forts niveau de courants, la zone désertée collecteur-base es repoussée progressivement jusqu'au substrat et la base active envahit le collecteur (5). On ne représenter pas ce phénomène dans le modèle. En effet, dans la très grande majorité des circuits, les transistors sont en saturation lorsqu'ils fonctionnent aux forts niveaux d'injection.

# 3. APPLICATION DES PRINCIPES PRÉCÉDENTS

# a) Le modèle

Nous venons d'exposer d'une manière succincte les différents phénomènes importants pouvant intervenir dans le fonctionnement d'un transistor bipolaire. Nous avons délibérément choisi de négliger différents phénomènes au profit d'autres qui nous semblaient plus importants.

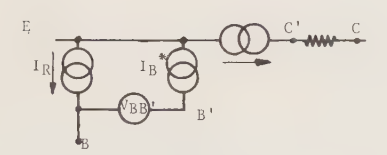


Fig. 4.

Le modèle statique, sans tenir compte de la saturation, peut se représenter comme sur le schéma de la figure 4 où nous avons vu que :

$$\mathbf{I}_{\mathrm{B}}^{*} = \mathbf{I}_{\mathrm{BO}} \bigg| \mathrm{exp} \left( \frac{\mathbf{V}_{\mathrm{B'E}}}{\mathbf{U}_{\mathrm{T}}} \right) - 1 \bigg|$$

et:

$$I_{R} = I_{RO} \left| exp \left( \frac{V_{BE}}{n.U_{T}} \right) - 1 \right| \tag{9}$$

En reprenant la notation  $A = \exp\left(\frac{V_{B'E}}{U_T}\right)$ . En faible injection le courant collecteur doit être représenté par l'expression (5) et  $V_{BB'}$  par l'expression (7).

$$I_{C} = I_{EO} \left( 1 + \frac{V_{C'E}}{V_{A}} \right) (A - 1)$$
 pour  $A \leqslant \frac{1}{4K}$ 
 $V_{BB'} = R_{B}I_{B}^{*}$ 

En forte injection, par les expressions (6) et (8) :

$$\begin{split} I_{C} &= I_{EO} \bigg( 1 + \frac{V_{B'E}}{V_{A}} \bigg) \bigg( \frac{A}{K} \bigg)^{1/2} \quad \text{ pour } \quad A \gg \frac{1}{4 \; K} \\ V_{BB'} &= R_{B} \, I_{BO/K} \end{split}$$

Pour représenter ce changement d'expression on posera  $\frac{1}{K} = \exp\left(\frac{V_{KN}}{U_{T}}\right)$ , on fera un test sur  $V_{B'E}$  et l'on dira que :

$$\begin{split} I_{C} &= I_{EO} \left( 1 + \frac{V_{C'E}}{V_{A}} \right) \left[ EXP \left( \frac{V_{B'E}}{U_{T}} \right) - 1 \right] \\ pour \ V_{B'E} &< V_{KN} \end{split} \tag{10}$$

et:

$$I_{C} = I_{EO} \left( 1 + \frac{V_{C'E}}{V_{A}} \right) EXP \left( \frac{V_{B'E} + V_{KN}}{2 U_{T}} \right)$$
pour  $V_{B'E} > V_{KN}$  (11)

Nous avons ainsi simulé la cassure brutale de la caractéristique  $I_C = f(V_{BE})$  à une tension  $V_{B'E} = V_{KN}$  [« knee point » (4)].

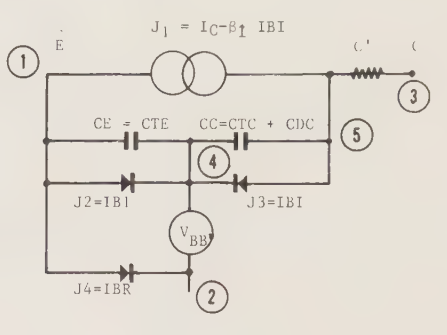


Fig. 5.

Les autres éléments destinés à simuler les phénomènes transitoires et le fonctionnement inverse rendant compte de la saturation sont classiques. Nous allons les passer simplement en revue.

1° Fonctionnement inverse : représenté par la diode collecteur-base (fig. 5) :

$$I_{BI} = \frac{I_{CO}}{\beta_{I}} \left[ EXP \left( \frac{V_{B'C'}}{U_{T}} \right) - 1 \right]$$

et le générateur classique β<sub>1</sub>. I<sub>BI</sub>

Contrairement au fonctionnement direct on considérera  $\beta_{\rm I} = c^{\rm te}$  car la variation du gain en inverse n'a pas une grande influence sur le comportement du transistor.

- 2° Pour les phénomènes transitoires on se contentera des éléments classiques :
- capacités de transitions, considérées le plus souvent comme constantes,
  - capacités de diffusion :

$$C_{DC} = \frac{\tau_{C}}{U_{T}} I_{CO} EXP \left( \frac{V_{B'C}}{U_{T}} \right)$$

représentant le stockage dans la zone neutre du collecteur. Ce phénomène peut être également représenté par une cellule de Linvill [9].

La capacité  $C_{\mathrm{DE}}$  représentant le stockage de la zone neutre de base sera en général négligée. En effet, pour les transistors modernes (base très mince) la charge portée par  $C_{\mathrm{TE}}$  est nettement supérieure à celle portée par  $C_{\mathrm{DE}}$  même en conduction.

# b) Acquisition simple des paramètres

Les paramètres du modèle dans sa version la plus simple (fig. 5) sont au nombre de 12. Les capacités de transition sont constantes, la capacité de diffusion émetteur-base est négligeable et le coefficient de la diode « parasite » de base  $I_{\rm BR}$  est standardisé à 1,5.

Soit:

V. Tension d'Early.

R<sub>G</sub> Valeur moyenne de la résistance de collecteur.

β, Gain inverse en collecteur commun.

 $au_{\rm C}$  Durée de vie des porteurs minoritaires dans le collecteur.

 $C_{\scriptscriptstyle {
m TE}}$  Valeur moyenne de la capacité de transition émetteur-base.

C<sub>TC</sub> Valeur moyenne de la capacité de transition collecteur-base.

 $I_{co}$  Courant de saturation de la jonction collecteur-base.

 $I_{\rm EO}$  Courant de saturation de la jonction émetteur-base.

R<sub>R</sub> Valeur moyenne de la résistance de base.

IRO Courant de saturation de la diode « parasite » de base.

β<sub>o</sub> Gain intrinsèque direct en émetteur commun.

 $V_{KN}$  Tension  $V_{B'E}$  pour laquelle apparaît la forte injection.

Des méthodes de mesure précises et puissantes ont été mises au point pour acquérir ces paramètres. En particulier les mesures associées à IBIS [3] permettent d'obtenir avec précision :  $I_{\rm EO}$ ,  $I_{\rm RO}$ ,  $\beta_{\rm O}$ ,  $\beta_{\rm I}$ ,  $I_{\rm CO}$ ,  $V_{\rm KN}$ .

La figure 7 montre comment à partir des mesures de  $I_{\rm C}$  et  $I_{\rm B}$  fonction de  $V_{\rm B'E}$  on obtient  $I_{\rm EO}$ ,  $I_{\rm RO}$ , n (coefficient standardisé à 1,5) et  $V_{\rm KN}$ .

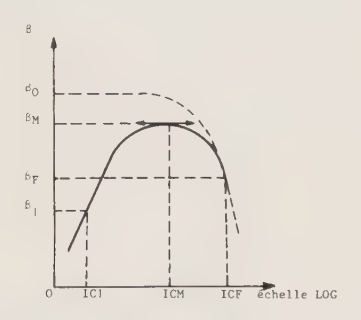


Fig. 6.

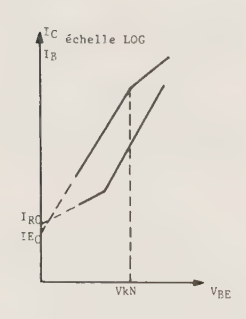


Fig. 7.

Cependant les laboratoires d'électronique ne sont pas toujours équipés du matériel ou du personnel nécessaires à ces mesures coûteuses.

Nous allons exposer une méthode simple et relativement précise basée au maximum sur l'utilisation des feuilles de spécification constructeur.

Si des informations manquent dans ces données, on peut toujours les acquérir à l'aide d'un transigraphe.

Ces paramètres sont déterminés graphiquement à partir du réseau de caractéristiques  $I_{\rm C} = I(V_{\rm CE})$  (fig. 2). Le réseau typique est généralement fourni par le constructeur. Le gain moyen en inverse est aisément évaluable sur le même réseau de caractéristique lorsque le transistor est monté en inverse. Un transigraphe suffit au cas où le constructeur ne fournirait pas les courbes nécessaires.

2º TC

La durée de vie dans le collecteur est en général mesurée par l'intermédiaire du temps de stockage [10]. Si le transistor est fortement saturé, on démontre que :

$$\tau_{\rm C} = \frac{\mathrm{T}_s}{\mathrm{L}_n \, 2} = 1{,}43 \; \mathrm{T}_s$$

3° C<sub>TE</sub>, C<sub>TC</sub>

Les capacités sont données dans les feuilles de spécification constructeur pour des tensions inverses appliquées.

Exemple:

$$C_{TC} = 2 pF$$
 à  $V_{CT} = -10 V$ 

On peut donc acquérir aisément les valeurs moyennes de ces capacités.

4°  $I_{\rm CO}$  et  $I_{\rm EO}$ 

 $I_{\rm CO}$  et  $I_{\rm EO}$  sont des paramètres les plus délicats à obtenir sans mesures (voir fig. 7). Nous allons exposers ici une méthode destinée à obtenir une valeur approchée du courant de saturation  $I_{\rm CO}$ .

On supposera la base beaucoup plus dopée que le collecteur ce qui revient à négliger le courant injecté par le collecteur dans la base.

$$I_{CO} = \frac{qn_i^2 S_C}{N_C} \sqrt{\frac{D_C}{\tau_C}}$$
 (12)

où:

- $\bullet$   $qn_i^2=$  1,6  $\cdot$ 10<sup>-19</sup> imes 2,1 imes 10<sup>20</sup>  $\simeq$  33,6 (C imes nombre d'atomes²/cm<sup>6</sup>),
  - N<sub>C</sub> = dopage collecteur (nombre d'atomes/cm<sup>2</sup>),
  - S<sub>C</sub> = surface du collecteur (cm²),
- $D_C$  = constante de diffusion des minoritaires dans le collecteur (cm<sup>2</sup>/s),
- $\bullet$   $\tau_{C}=$  durée de vie des minoritaires dans le collecteur (s).

On connaît  $\tau_{\rm C}$ . Compte tenu des valeurs classiques des dopages collecteurs on prendra :

- $D_G = 12$  cm<sup>2</sup>/s pour un NPN,
- $\bullet$  D<sub>C</sub> = 33 cm<sup>2</sup>/s pour un PNP.

Une valeur approximative du dopage de collecteur  $N_{\rm C}$  peut être obtenue à partir de la tension de claquage  $V_{\rm CBO}$ . Un certain nombre de lois empiriques ont été publiées [11]. Nous avons choisi une loi de la forme (12):

$$N_{C_{(at/cm^3)}} = \frac{1.28 \cdot 10^{17}}{V_{CBO_{(V)}}}$$
 (13)

statistiquement vérifiée avec une précision convenable.

La surface du collecteur  $S_{\rm C}$  sera évaluée à partir des valeurs  $C_{\rm TC}$  et  $V_{\rm CT}$ : capacité collecteur-base à la tension appliquée inverse  $V_{\rm CT}$ .

En effet:

$$C_{TC} = \epsilon \, \epsilon_0 \frac{S_C}{W_T} \tag{14}$$

où  $W_{\mathrm{T}}=$  épaisseur de la zone désertée collecteurbase.

En négligeant la pénétration dans la base pour ne tenir compte que de la pénétration dans le collecteur, on peut intégrer l'équation de Poisson dans cette zone pour une tension appliquée  $V_{\rm CT}$ . On trouve alors le résultat classique :

$$|V_{\rm CT}| = \frac{q N_{\rm C}}{\varepsilon \varepsilon_0} \frac{W_{\rm T}^2}{2} \tag{15}$$

et (12) peut s'écrire en tenant compte de (13), (14), (15) :

$$I_{CO(A)} = 26.10^{-10} C_{TC(F)} \sqrt{\frac{|V_{CT}|_{(V)} \times V_{CBO}^{s}_{(V)} \times D_{C_{(Cm^{s}/s)}}}{\tau_{C_{(s)}}}}$$
(16)

Enfin, pour obtenir le courant de saturation de la jonction émetteur-base on utilisera la formule classique de réciprocité :

$$I_{EO} = \frac{\beta_0(\beta_I + 1)}{\beta_I(\beta_0 + 1)} I_{CO}$$
 (17)

il faut donc connaître le gain intrinsèque : β<sub>0</sub>.

5° R<sub>B</sub>, I<sub>RO</sub>, β<sub>O</sub>

Pour évaluer ces paramètres, on utilisera la courbe  $\beta = f(I_C)$  pour une tension  $V_{CE1}$  donnée (fig. 6).

On choisira sur cette courbe deux couples  $I_{C1}$   $\beta_1$  et  $I_{CM}$ ,  $\beta_M$ .  $\beta_1$  dans la partie montante du gain (faible injection) et  $\beta_M$ : gain maximum.

On fera l'hypothèse que le maximum est dû à l'effet de défocalisation dans la base. C'est-à-dire que l'on supposera que la forte injection apparaît après ce maximum. Dans le domaine des faibles injections on peut calculer :

$$\frac{1}{\beta} = \frac{I_{B*}}{I_{C}} + \frac{I_{B}}{I_{C}}$$
 (fig. 3)

En utilisant (9) et (10):

$$\frac{1}{\beta} = \frac{1}{\beta_0'} + \frac{I_{RO}}{I_{S1}} \frac{e^{\frac{V_{D/F} + R_D I_D^*}{n U_T}}}{I_C}$$

$$= \frac{1}{\beta_0'} + \frac{I_{RO}}{(I_{S1}) 1/n} e^{\gamma I_C I_C} \frac{1-n}{n} \quad (18)$$

En posant:

$$\begin{cases} I_{\text{S1}} = I_{\text{EO}} \left( 1 + \frac{V_{\text{CE1}}}{V_{\text{A}}} \right) \\ \gamma = \frac{R_{\text{B}}}{\beta_0' n U_{\text{T}}} \\ \beta_0' = \beta_0 \left( 1 + \frac{V_{\text{CE1}}}{V_{\text{A}}} \right) \end{cases}$$

On peut alors calculer  $\frac{\delta(1/\beta)}{\delta I_C}$ . Cette valeur sera

nulle pour l'extrémum, c'est-à-dire pour  $I_{\rm C}=I_{\rm CM}$ . On trouve alors la condition  $\gamma=\frac{n-1}{n\,I_{\rm CM}},\,\,$  d'où

$$R_{\rm B} = \frac{(n-1)U_{\rm T}\beta_0'}{I_{\rm CM}}$$
 (19)

et (18) devient :

$$\frac{1}{\beta} - \frac{1}{\beta'_0} = \frac{I_{RO}}{(I_{S1})^{1/n}} e^{\frac{(n-1)I_C}{n I_{CM}}} I_C^{\frac{1-n}{n}}$$

valable en particulier pour le couple  $\beta_M,\ I_{CM}.$  On peut alors calculer :

$$I_{RO} = I_{S1}^{1/n} \left(\frac{1}{\beta_M} - \frac{1}{\beta_0'}\right) \left(\frac{I_{CM}}{e}\right)^{\frac{n-1}{n}}$$
 (20)

(18) devient alors:

$$\frac{1}{\beta} - \frac{1}{\beta_0'} \left( \frac{I_{C}}{I_{CM}} e^{1 - \frac{I_{C}}{I_{CM}}} \right)^{\frac{n-1}{n}} = \frac{1}{\beta_M} - \frac{1}{\beta_0'}$$

d'où pour le couple  $\beta_1$ ,  $I_{C,1}$ :

$$\beta_0' = \frac{1 - \lambda}{\frac{1}{\beta_M} - \frac{1}{\beta_1}} = \left(1 + \frac{V_{CE1}}{V_A}\right) \beta_0$$
en posant
$$\lambda = \left(\frac{I_{C1}}{I_{CM}}e^{1 - \frac{I_{C1}}{I_{CM}}}\right)^{\frac{n-1}{n}}$$
(21)

Les expressions (18), (19), (21) donnent donc les valeurs de  $R_{\rm B},$   $I_{\rm RO},$   $\beta_{\rm O}.$ 

Remarque.

On doit choisir au moins une décade d'écart entre  $I_{\rm C\,1}$  et  $I_{\rm CM}$  sur la courbe de la figure 6, c'est-à-dire :

$$\frac{I_{C1}}{I_{CM}} \leqslant 0.1$$

Alors:

$$e^{rac{
m I_{C1}}{
m I_{CM}}} \simeq 1 + rac{
m I_{C1}}{
m I_{CM}} \quad ext{ et } \quad \lambda \simeq rac{e^{rac{
m I_{C1}}{
m I_{MC}}}}{1 + rac{
m I_{C1}}{
m I_{CM}}}$$

toujours inférieur à 1.

Pour avoir  $\beta_0>0$  il faut donc vérifier que  $\beta_1>\lambda\beta_M$ , condition remplie dans la très grande majorité des cas.

6° V<sub>KN</sub>

Le « knee point » est caractérisé par la formule :

$$K = e^{-\frac{V_{KN}}{U_T}} = \frac{n_i^2}{N_R^2}$$

Sur la courbe  $\beta=f(I_{\rm C})$  de la figure 6, on choisira un couple de points  $I_{\rm GF}$ ,  $\beta_{\rm F}$  dans le domaine des forts courants : le point le plus extrême à droite de la courbe expérimentale. Si ce point correspond à un courant  $I_{\rm GF}$  assez éloigné du maximum, on est à peu près assuré

d'être sur la courbe du rendement d'injection (courbe pointillée).

Dans ce domaine, on peut donc dire que :

$$\beta = \gamma = \frac{I_C}{I_R^*}$$

et d'après :

$$\beta = \frac{\beta_0 I_{E0}}{I_C} \left( 1 + \frac{V_{CE1}}{V_A} \right) e^{\frac{V_{KN}}{U_T}}$$
(11)

en particulier pour le couple  $\beta_F$ ,  $I_{CF}$  d'où :

$$V_{KN} = U_T L_n \left[ \frac{\beta_F I_{FC}}{\beta_0' I_{I0}} \right]$$
 (22)

En résumé, il faut connaître :

- $V_A$ ,  $R_C$   $\leftarrow$  réseau de caractéristiques  $I_C = f(V_{CE})I_B$  en paramètre,
- $\beta_I \leftarrow$  même réseau lorsque le transistor est monté en inverse,
- $\bullet$   $V_{\rm BO},$   $T_{\rm S},$   $C_{\rm TE},$   $C_{\rm TC},$   $V_{\rm CT} \leftarrow$  feuilles de spécifications constructeur,
- $V_{\text{CE}\,1}$ ,  $I_{\text{CF}}$ ,  $I_{\text{CM}}$ ,  $I_{\text{C}\,1}$ ,  $\beta_{\text{F}}$ ,  $\beta_{\text{M}}$ ,  $\beta_{\text{1}}$   $\leftarrow$  courbe  $\beta = f(I_{\text{C}})$  à  $V_{\text{CE}\,1}$  constant.

Les six premiers paramètres sont  $V_A$ ,  $R_C$ ,  $\beta_I$ ,  $\tau_C=1.4\,T_s$ ,  $C_{TE}$ ,  $C_{TC}$ .

Les six derniers sont fournis par les formules (16), (17), (19), (20), (21) et (22).

# c) Exemple

La figure 8 représente les courbes  $I_B(V_{BE})$  et  $I_C(V_{BE})$  pour 15 transistors 2N 2905.

On constate une certaine dispersion de ces courbes. La dispersion est accentuée pour la partie basse des courbes I<sub>B</sub>. Ce phénomène est normal puisque cette partie basse est caractéristique des effets de surface qui sont moins bien contrôlés technologiquement que les effets de volume.

D'après les spécifications constructeur, on peut prendre :

$$V_A=40$$
 V,  $R_C=20$   $\Omega,~\beta_I=3,~V_{CBO}=60$  V,  $T_S=80$  ns,  $C_{TE}=20$  pF,

$$C_{\rm TC}=7$$
 pF,  $V_{\rm CT}=5$  V,  $V_{\rm CE_1}=5$  V,  $I_{\rm CM}=50$  mA,  $I_{\rm C_1}=0.1$  mA,

$$\beta_{\rm M} = 250, \ \beta_1 = 200.$$

Par la méthode que nous venons de décrire, on trouve alors :

$$I_{CO} = 3.2 \cdot 10^{-13}$$
  
 $I_{EO} = 4.2 \cdot 10^{-13}$ 

et:

$$I_{RO} = 1.5 \ 10^{-13}$$

alors que sur la figure 8, on peut trouver comme valeurs moyennes :

$$I_{EO} = 2 \cdot 10^{-13}$$

et:

$$I_{\mathrm{RO}}=10^{-13}$$

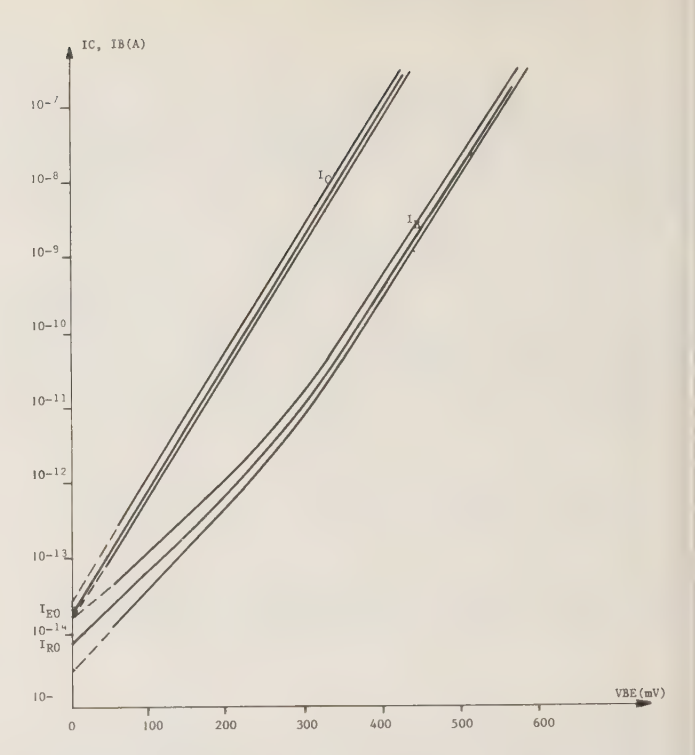


Fig. 8. — Dispersion des courbes  $I_{\rm C}(V_{\rm BE})$  et  $I_{\rm B}(V_{\rm BE})$  sur un lot de 15 transistors 2N 2905.  $10^{-13}$  <  $I_{\rm EO}$  <  $3.10^{-13}$ ,  $3.10^{-14}$  <  $I_{\rm RO}$  <  $2.10^{-13}$ .

# d) Application aux langages IMAG et ASTEC

Le modèle de la figure 4 peut s'écrire de la manière suivante, en langage IMAG [13] :

```
MODELE:T(1,2,3)EPS,VA,RC,BI,TAU,CE,CTC,ICØ,IEØ,BØ,RB,IRØ,VKN$
V1 (SELON(EPS) (5,1) (1,5))$ V2 (SELON(EPS) (4,1) (1,4))$
V3 (SELON(EPS) (4,5) (5,4))$ V4 (SELON(EPS) (2,1) (1,2))$
PXV2-IFØ*(EXP(4Ø*V2)—1)$ PXV3-ICØ*(EXP(4Ø*V3)—1)$
PIC=SI(V2.INFEG.VKN) (PXV2) (IEØ*(EXP(2Ø*(V2+VKN)-1)))$
J1 (SELON(EPS) (5,1) (1,5))= (1+V1/VA)*PIC—PXV3$
J2 (SELON(EPS) (4,1) (1,4))=PXV2/BØ$
J3 (SELON(EPS) (4,5) (5,4))=PXV3/BI$
J4 (SELON(EPS) (2,1) (1,2))=IRØ*(EXP(27*V4)—1)$
PIKN=RB*IEØ*EXP(4Ø*VKN)$
E1 (SELON(EPS) (4,2) (2,4))=SI(V2.INFEG.VKN) (RB*J2) (PIKN)$
CE(4,1)$ CC(4,5)CTC+4Ø*TAU*J3$ RC(5,3)$$
```

Le même modèle peut s'écrire de la manière suivante, en langage ASTEC [14] :

```
! MODELE T(1,2,3):PEPS;PVA;RC;PBI;PTAU;CE;PCTC;
PICØ;PIEØ;PRB;PIRØ;PVKN;
PXV2-PIEØ*(FEXP(4Ø*VJ2)—1); PXV3=PICØ*(FEXP(4Ø*VJ3);
—1);
SI(VJ3.PE.PVKN) ALORS(PIC=PXV2,EB=PRB*J2)
SINON(PIC=PIEØ*(FEXP(2Ø*(VJ2+PVKN)—1)),EB=PIKN);
J1(5,1:PEPS)=(1+VJ1/PVA)*PIC—PXV3;
J2(4,1:PEPS)=PXV2/PBd; J3(4,5:PEPS)=PXV3/PBI;
J4(2,1:PEPS)=PIRØ*(FEXP(27*VJ4(—1);
PIKN=PRB*PIEØ*FEXP(4Ø*PVKN); EB(2,4:PEPS);
CE(4,1); CC(4,5)PCTC+4Ø*PTAU*J3; RC(5,3);
```

## CONCLUSION

Le modèle proposé essaie de concilier la fidélité au fonctionnement du transistor, la facilité de traitement par les programmes de simulation et une acquisition aisée des paramètres. La forte injection dans la base et la défocalisation sont représentées de la manière la plus simple possible. La forte injection dans le collec-

teur est négligée (« push out effect ») ainsi que l'effet transitoire de stockage dans la base neutre. Il faut noter enfin que les valeurs des paramètres acquises par la méthode décrite, bien que peu précises, sont, dans leur très grande majorité, comprises dans la fourchette statistique des composants.

### RÉSUMÉ

Après un bref exposé théorique sur l'injection des porteurs dans une jonction PN, on décrit dans le présent article un modèle de transistor bipolaire adapté aux programmes de simulation

de circuits électroniques.

Ce modèle tient compte en particulier des effets Early, de forte injection dans la base et de la défocalisation. Une méthode de caractérisation des paramètres est enfin décrite. Cette méthode fait appel presque exclusivement aux feuilles de spécifications fournies par le constructeur du composant.

### SUMMARY

Bipolar transistor model, by P. COTTIN (CEA).

After a short theoretical introduction on carrier injection in PN junctions, this paper describs a bipolar transistor model

which is adapted to CAD programs.

In particular, this model takes into account Early effect, high injection in the base and emitter-crowding. A parameters acquisition method is also described. This method draws pratically only on numerical parameter values, which are tabulated in the manufacturer's data sheets.

### **Bibliographie**

[1] LARIN. — Radiation Effects in Semiconductor Devices. Wiley,

[2] HEYDEMANN. — Résolution numérique des équations bidimen-Sionnelles des équations de transport dans les semiconducteurs. Université Paris-Sud, *Thèse n*° 173, Docteur Ingénieur, 1972. REY, BAILBE et LEMAIRE. — Identification et caractérisation

Universite Paris-Stud, These no 173, Docteur Ingeneur, 1972.
[3] Rey, Ballbe et Lemaire. — Identification et caractérisation d'un comportement transistor bipolaire en régime statique. Onde Électrique, 1970, 50.
[4] Gummel and Poon. — An integral charge control model of bipolar transistor. BSTJ, 1970.
[5] Whittier and Tremere. — Current gain and cut off frequency falloff at high currents. IEEE Trans. on El. Dev., 1961, vol. FD 16 no 1

ED 16 nº 1

REV. — Thèse doctorat ès Science, nº 339, Université de Toulouse. Van Vliet and Min. — Current voltage relations and equivalent circuits of transistors at high injection levels. Solid States Electronics, 1974, 18, n° 3.
[8] Buxo, Garric et Esteve. —

 Caractérisation des composantes du courant base dans les transistors bipolaires plans. Onde Électrique, 1975, 55, n° 1.

COTTIN. — Modèle de transistor drift pour programme C.A.O.

[9] COTTIN. — Modèle de transistor drift pour programme C.A.O. Colloque International sur la Microélectronique Avancée, Paris, 70.
[10] KUNO. — Analysis and characterisation of PN junction diode switching. IEEE Trans. on El. Dev., 1964.
[11] NOTTOFF. — Technique for estimating primary photocurrent in silicon bipolar transistor. IEEE Annual conference on nuclear and space radiations effects, 1969, Pensylvania State University.
[12] PORRI et LECAT. — Méthode simplifiée de détermination des photocourants dans les transistors bipolaires à partir des caractéristiques constructeurs. Rapport C.E.A., DO 0080, U.L. 73/06.
[13] Manuel d'utilisation IMAG III, SESA.
[14] HEYDEMANN. — ASTEC premier pas vers la simulation à grande échelle des circuits électriques. Onde Électrique, 1973, 53, fasc. 10.

# L'onde électrique 1976, vol. 56, n° 12 pp. 514-522

# Nouvelles conceptions des télécinémas couleur comparaison entre télécinémas à caméra et télécinéma à spot mobile



par Michel FAVREAU,

Ingénieur de l'École Supérieure d'Électricité, adjoint technique du Directeur du département Vidéo de la Division Radio-Télévision de Thomson-CSF.

Thomson-CSF, Division Radio-Télévision, 100, rue du Fossé-Blanc, 92231 Gennevilliers (tél. 790.65.49).

Il existe actuellement deux types de télécinéma couleur utilisés en télédiffusion : les équipements « à spot mobile » et ceux « à caméra ». Si les performances du télécinéma à spot mobile sont supérieures à celles du télécinéma à caméra, le choix du type d'équipement est motivé par des considérations d'exploitation, notamment la qualité des films et le standard (nombre d'images par seconde).

### INTRODUCTION

Lorsqu'on évoque le sujet de l'analyse des films par Télévision, on peut se demander au premier abord s'il ne s'agit pas en pratique d'un faux problème plus ou moins lié à celui de la prise de vue directe et de la Télévision.

On ne voit pas, en effet, pourquoi une simple caméra de prise de vue directe placée devant un projecteur de cinéma ne serait pas capable de reproduire les images issues d'un film aussi bien que celles d'un studio. En fait, dès qu'on étudie un peu plus à fond cette question, on s'aperçoit vite qu'il n'en est rien et que l'analyse de l'objet « film » présente suffisamment de difficultés particulières pour avoir nécessité depuis longtemps la création d'équipements spécifiques (fig. 1).

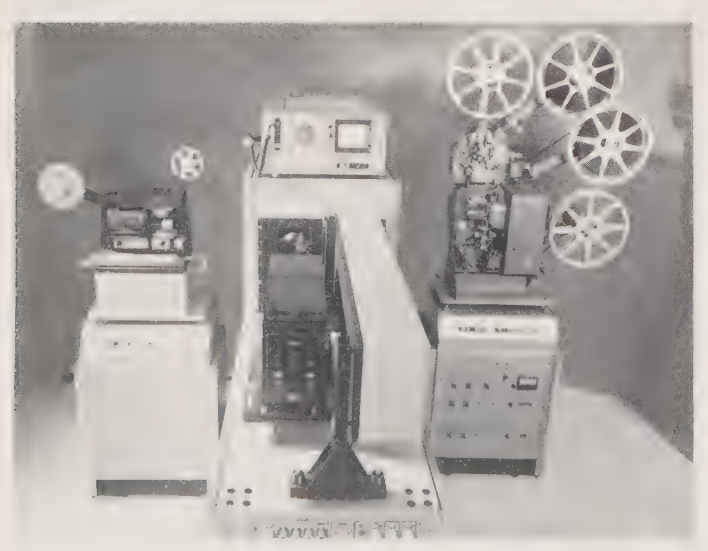


Fig. 1. — Télécinéma couleur « à caméra » TTV 2600 (cliché Thomson-CSF).

Nous verrons plus loin que cette différentiation a priss récemment une dimension supplémentaire grâce aux nouvelles idées sur l'exploitation des films en télévision actuellement en cours de développement principalement en Europe et qui tendent à incorporer le moyen film dans le système complet de télévision comme un simple support d'information au même titre que la bande magnétique.

Ce principe a deux conséquences :

1° L'analyse des films, ou tout au moins de ceux qui sont spécialement tournés pour la télévision, doit être effectuée de telle manière que les images qui en sont issues présentent des caractéristiques (contraste, colorimétrie, etc...) aussi proches que possible de celles des images réalisées en prise de vue directe.

2º Les nouveaux télécinémas devront pouvoirn moyennant quelques adjonctions, être incorporés aux centres de production au même titre que les magnétoscopes et présenter des caractéristiques d'exploitation similaires. Leur fonctionnement devra être le plus automatique possible afin de réduire au maximum les problèmes de manipulations.

Nous ne traiterons pas ici le problème des équipements en détail, nous nous bornerons à examiner les difficultés liées au film proprement dit dans le but de l'identifie à la prise de vue directe, et de comparer les performances des divers principes d'analyses actuellement utilisés dans les télécinémas en vue des nouvelles méthodes d'exploitation.

# 1. LE FILM

Le film existait bien avant la télévision, il est donc normal que cette technique ait gardé longtemps une personnalité propre, et c'est là la source de nombre de nos difficultés. Parmi celles-ci on note :

- La cadence de défilement des images.
- Les divers formats, la définition et le grain.
- Le contraste élevé des tirages positifs commerciaux.
- La colorimétrie.

La cadence de défilement des images était primitivement de 16 par seconde. Dès qu'on a su réaliser industriellement la pellicule, on est rapidement passé à 24 images/s pour éviter le scintillement, augmenter la définition du mouvement et permettre une qualité convenable des enregistrements sonores. Cette cadence est utilisée dans le monde entier bien que n'étant pas complètement compatible avec la cadence télévision primitivement liée au secteur à 50 Hz. En Europe, où le standard TV est de 25 images/s, on a admis que la différence était suffisamment faible pour ne pas en tenir compte, et l'on projette les films en TV à 25 images/s sans autre perturbation qu'une élévation de la hauteur du son d'1/3 de ton environ.

Aux USA, le problème est plus délicat puisque la cadence TV toujours à cause du réseau, est de 30 images/s. Les télécinémas utilisés aux USA sont tous du type « à caméra » c'est-à-dire formés par l'accouplement d'une caméra analogue aux caméras de prise de vue directe à un ou plusieurs projecteurs de cinéma modifiés pour l'usage télévision. Malgré l'utilisation du principe d'accumulation dans les tubes d'analyse équipant la caméra de télévision, principe qui confère une certaine mémoire à ces tubes, il n'a pas été possible d'analyser des films non synchrones avec le balayage TV sans faire apparaître un scintillement gênant correspondant à la différence des deux fréquences. Divers dispositifs ont été essayés avec plus ou moins de bonheur pour corriger ces défauts. Nous citerons :

1) Utilisation d'un projecteur à défilement continu et stabilisation d'image par prismes ou miroirs tournants.

Inconvénients : le passage d'une image à la suivante se fait par un fondu enchaîné, générateur de flou sur les mouvements :

- la moindre erreur de fixité se traduit également par un flou car elle est répartie pendant toute la période d'illumination,
  - le prix de revient était très élevé.
- 2) Éclairage du film défilant à cadence normale par une lumière pulsée synchrone avec le balayage. Ceci ne fonctionne qu'avec des projecteurs à escamotage rapide, il est en effet nécessaire de projeter alternativement 2 et 3 éclats lumineux par image successive et d'escamoter le film entre deux éclats. Dans les systèmes utilisés aujourd'hui, on a déséquilibré les durées de deux périodes successives d'arrêt du film pour placer plus confortablement les éclats lumineux, l'obturateur est du type classique synchrone avec les trames de balayage.

En Europe, le système d'analyse des films utilisé principalement en couleur est basé sur le principe du Spot mobile, il n'y a en effet pas de problème de synchro-

nisme et il est possible d'utiliser des systèmes de meilleure qualité mais exempts de mémoire.

Le principe du télécinéma à Spot mobile est bien connu. Ses principaux avantages sont les suivants :

- Haute résolution.
- Absence de problème de superposition entre les composantes colorées puisque les 3 signaux de couleur R, V et B sont issus du même point lumineux balayé sur l'écran d'un tube cathodique unique.
- Caractéristiques d'amplification des photomultiplicateurs favorables : faible bruit de fond dans les noirs.

Comme nous venons de le dire, le système n'est pas doué de mémoire et il est nécessaire d'effectuer l'analyse en permanence, soit sur un film arrêté pendant toute la durée utile du balayage TV, le temps d'escamotage doit, dans ce cas, être inférieur à la période de suppression trame normalisée en TV c'est-à-dire inférieur à 1,5 ms, soit sur un film en mouvement continu stabilisé artificiellement par rapport au balayage.

Cette opération peut être effectuée de 3 manières différentes :

1° En décalant optiquement les trames paires et impaires du balayage pour analyser deux fois de suite la même image de film dans son déplacement [principe du double trajet (*fig.* 2)].

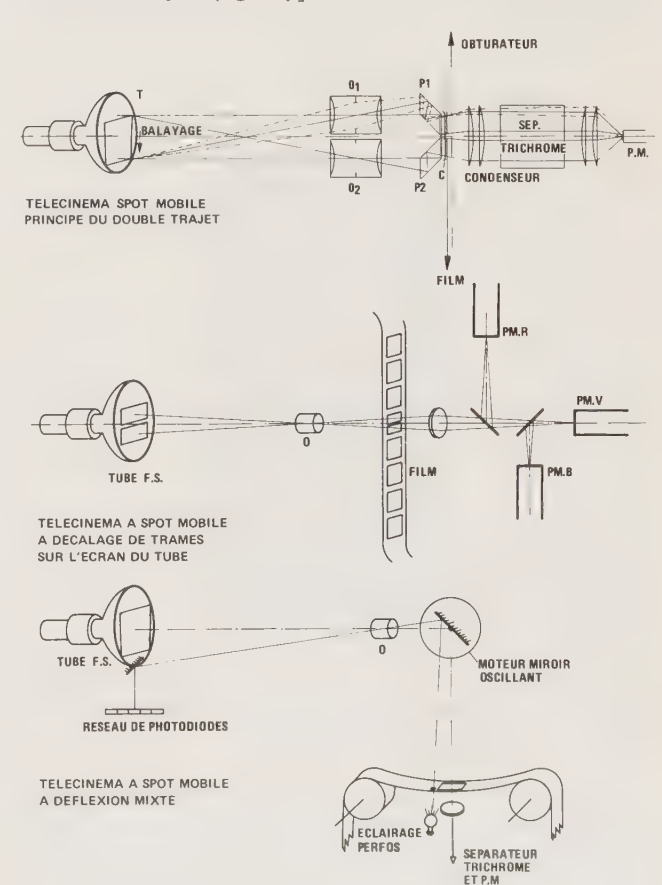


Fig. 2. — Télécinéma à « spot mobile ».

2° En agissant en permanence sur le cadrage électrique du balayage pour le faire concorder à tout moment avec l'image à analyser (difficultés dues à la géométrie du tube et de ses bobines, et aux inhomogénéités de surface entraînant des modulations parasites). Ce système a le

mérite de pouvoir fonctionner en asynchrone et d'être ainsi adaptable au système américain.

- 3º Par un procédé mixte (également asynchrome):
- Stabilisation grossière de l'image par miroir oscillant à retour rapide.
- Affinage au niveau du tube à Spot mobile par correction dynamique du cadrage asservi à la position réelle du film à tout instant.

C'est ce dernier procédé qui vient d'être développé par Thomson-CSF, et qui est décrit en détail dans un article spécialisé de cette revue (\*).

## 2. LA DÉFINITION

Contrairement à ce que l'on pourrait supposer, la définition des films cinématographiques est loin d'être surabondante pour la télévision. Elle n'est pas vraiment limitée par le grain qui a un spectre relativement étendu avec toutefois un maximum vers 1,5 MHz en 16 mm (\*\*), mais par toutes sortes de diffusions et d'effets de proximités s'effectuant dans les émulsions elles-mêmes.

A titre d'exemple, il faut compter sur une atténuation de 8 dB sur la fréquence spatiale de 25 traits au mm correspondant à 5 MHz dans certains films 16 mm inversibles couramment utilisés en télévision.

Les systèmes optiques sont en général assez bien corrigés et on peut noter des atténuations à 5 MHz :

- d'environ 2 dB en 35 mm et 3 dB en 16 mm.

Les tubes analyseurs augmentent encore cette perte d'environ 8 dB pour les tubes Photoconducteurs et 3 dB pour le tube à Spot mobile.

Si l'on fait le total, on s'aperçoit avec effroi que dans le meilleur des cas, en supposant que le film soit parfaitement bien contrasté et mis au point, il faut corriger au minimum une atténuation de 19 dB en 16 mm avec un télécinéma « à caméra », et 14 dB avec un télécinéma à spot mobile.

En 35 mm, la situation est moins catastrophique, mais il faut quand même compter sur une atténuation moyenne de 10 dB avec un télécinéma à caméra et 5 dB avec un télécinéma à spot mobile.

Pour tenter de remédier à cet état de fait, des essais ont été entrepris pour essayer d'utiliser directement des films négatifs dans les télécinémas.

Certaines difficultés nouvelles apparaissent, notamment le risque que représente la manipulation directe des originaux et la suppression de l'étalonnage. Cependant, afin de donner à l'utilisateur un maximum de possibilités, les nouveaux télécinémas sont pratiquement tous équipés de dispositifs permettant l'analyse directe des films négatifs.

(\*\*) 0,75 MHz en 35 mm.

Dans ces conditions l'étalonnage classique est remplacé par l'étalonnage électronique exécuté directement sur télécinéma.

Pour faciliter cette opération, on trouve en général sur les nouveaux appareils :

- une recherche rapide des séquences,
- un comptage d'images,
- une possibilité de programmation des corrections.

L'intérêt que pourrait présenter cette méthode semble aujourd'hui moins évident à cause des nombreuses difficultés pratiques qui s'élèvent de toute part lorsqu'on tente de l'appliquer en exploitation courante.

Nous verrons plus loin que les films négatifs pourraient cependant présenter des avantages intéressants notamment sur le rendu des valeurs et des couleurs.

Avant de conclure ce paragraphe, examinons rapidement le cas du super-huit.

Dans ce format, la fréquence de 5 MHz correspond à 50 traits/mm; l'atténuation supplémentaire du taux de modulation qui en résulte par rapport au 16 mm varie de 6 à 10 dB selon les émulsions. Il sera donc très difficile d'employer ce format avec des émulsions à haute sensibilité, à moins que des progrès spectaculaires ne soient faits dans les prochains mois.

On peut toutefois envisager dans une première phase d'équiper les télécinémas de divers dispositifs de traitement de signal analogue à ce qu'on emploie en prise de vue directe :

- réduction de la bande passante (donc de bruit de fond) en fonction du niveau, seulement dans les parties sombres des images,
- correction de contour omnidirectionnelle aved écrêtage sélectif du bruit sur les plages,
- traitements plus complexes faisant appel à des mémoires de trame, etc...

Ces dispositifs assez efficaces sont en général assez onéreux et un bilan global doit être sérieusement fai avant de passer à l'exploitation du super-huit.

### 3. LA GRANULATION

Bien que ce défaut s'apparente aux défauts affectant la définition, il en diffère suffisamment pour mériter une attention spéciale.

Lorsqu'on examine la composition spectrale du brui de fond résultant de l'analyse du grain des films et télécinéma, on s'aperçoit, et cela confirme l'impression visuelle que donne ce défaut, que ce spectre s'étend et réalité sur l'ensemble de la bande vidéo, mais avec ul maximum assez prononcé aux alentours de 1,5 MH (16 mm). Il sera évidemment très difficile d'isoler cubruit et de le traiter sans affecter également le signalutile.

Son amplitude restant cependant relativement faible on peut toutefois appliquer avec succès un dispositi analogue à celui qui complète la correction de contour

<sup>(\*)</sup> Le télécinéma couleur pour film 16 mm TTV 2520, par M. Vidal

écrêtage des bruits à faible niveau dans une bande spectrale donnée, mais en adaptant ce dispositif au spectre équivalent au grain.

Il est évident que plus le format du film est petit, plus ce défaut est gênant et cela ne milite pas non plus en faveur du super-huit en télévision.

L'utilisation directe des négatifs ne résout pas davantage le problème, car c'est malheureusement déjà à ce stade que se produit la granulation.

#### 4. LE CONTRASTE

Là aussi il faut démystifier un peu le cinéma. Le contraste dans les salles dites obscures est à peine supérieur à celui d'un bon écran cathodique regardé dans de bonnes conditions. Pour compenser ce défaut, les techniciens du cinéma ont coutume, depuis longtemps, de faire des tirages positifs à gamma assez élevé tel que le gamma global, négatif compris, reste voisin de 1,5 en Noir et Blanc, et 2 en couleur; ce procédé satisfait théoriquement le spectateur moyen de cinéma. Malheureusement ce qui est peut être bon pour le cinéma ne l'est pas en télévision, et l'expérience prouve qu'une transmission à y global supérieur à l'unité sauf cas particulier d'images d'origine, particulièrement plates, est difficilement tolérée par le télespectateur, surtout en ambiance éclairée. L'influence de l'environnement est extrêmement importante pour l'appréciation subjective du contraste.

La difficulté consiste donc à réaliser des amplificateurs à caractéristiques de transfert inverse à la fois des tubes cathodiques récepteur et du film de cinéma.

Ceci conduit pour un film N et B reproduit par un tube TV N et B à des correcteurs de gamma d'exposant :

$$\frac{1}{2.2 \text{ (tube)} \times 1.5 \text{ (film)}} = 0.3$$

et dont la caractéristique de correction reste bonne pour un contraste à l'entrée de 100 au minimum, correspondant à des suramplifications dans les noirs des images par un facteur de 8 environ par rapport aux blancs.

En couleur, les films ont un gamma plus élevé et les tubes récepteurs également, il faudrait donc théoriquement réduire encore cette valeur.

Ceci est très préjudiciable au rapport signal/bruit dans les zones sombres et est pratiquement impossible à réaliser sans un traitement spécial du signal dans les télécinémas à caméra (réduction de bande, crispenning, etc...).

Dans le but de conserver une certaine homogénéité à la présentation des images en télévision, il est souvent nécessaire d'ajuster les courbes de transfert en fonction du film à transmettre.

Certains tirages peuvent être plus doux ou plus durs que normal (γ plus faible ou plus fort) et le télécinéma doit pouvoir être adapté.

On dispose en général de trois réglages quasi indépendants :

- le gain,
- la loi de correction de gamma,
- le niveau du noir.

En couleur, ces trois réglages doivent opérer indépendamment sur chacune des 3 composantes R, V, B pour compenser également les erreurs relatives qui sont encore plus gênantes que les erreurs absolues (fig. 3).



Fig. 3. — Pupitres de corrections de contrastes et de couleurs.

Il est même intéressant, dans certains cas, d'utiliser des programmateurs de correction agissant en synchronisme avec le défilement du film et appliquant successivement des corrections préajustées séquence par séquence (fig. 4).



Fig. 4. — Programmateur de corrections pour télécinéma.

Il s'agit là d'une sorte d'interprétation du film qui est en général assez peu prisée des réalisateurs.

Il nous semble cependant primordial de faire cette interprétation car, en télévision, nous avons également à faire face à un second trouble d'ordre physiologique différent du problème du gamma apparent et que nous n'avons pas encore évoqué.

Il s'agit de l'influence de la lumière ambiante entourant le récepteur sur les facultés d'adaptation de l'œil à une suite de séquences claires et de séquences sombres. Au cinéma, cette adaptation automatique fonctionne normalement mais, devant un écran de télévision, cette faculté est presque complètement inhibée par la présence d'une lumière d'ambiance formant référence.

Nous devons donc nous substituer au téléspectateur pour effectuer ce travail et lui présenter des images successives avec des différences de contraste moins prononcées qu'au cinéma.

En prise de vue directe, ceci n'est pas très grave car les réglages des caméras sont toujours effectués sur récepteur de télévision et l'opérateur a tout le loisir d'ajuster les niveaux pour corriger hors passage à l'antenne et à chaque scène tous ces effets subjectifs; il n'en est pas de même en télécinéma. On mesure évidemment ici tout l'intérêt que peut présenter la programmation.

Nous venons d'étudier l'influence des conditions d'observations de la télévision sur l'aspect subjectif des distorsions de valeur et des dominantes, ainsi que les remèdes éventuels.

Considérons maintenant le cas des saturations.

La mauvaise sélectivité des courbes de sensibilité des négatifs, l'impossibilité de réaliser des lobes négatifs, alliées à la pollution intercolorant des positifs fait que le film couleur est théoriquement beaucoup moins saturé que la scène originale.

Cependant, l'augmentation du gamma, dont nous avons parlé plus haut, vient dans une certaine mesure compenser ce défaut et le résultat final reste acceptable en projection directe.

En télévision, nous sommes obligés, nous l'avons vu, de réduire ce gamma, la compensation ne joue plus et si de plus on tient compte de la lumière parasite moyenne arrosant l'écran du téléspectateur moyen on s'aperçoit rapidement qu'il faut corriger la désaturation des films et tenter ainsi de se rapprocher du rendu de la prise de vue directe.

Cette opération est faite par le masquage électronique. Ceci consiste dans un premier temps, à compenser la pollution intercolorant des positifs qui est une grandeur connue et mesurable, à l'aide d'une matrice à coefficients négatifs appropriée et dans un deuxième temps, grâce à une seconde matrice à rendre compatibles les courbes de sensibilité spectrale des films négatifs avec les caractéristiques des primaires normalisées en télévision.

#### COMPARAISON DES DIVERS PRINCIPES D'ANALYSE

Compte tenu des diverses difficultés que nous venons d'évoquer pour la reproduction des films par télévision, examinons maintenant comment se placent les deux principaux systèmes d'analyse face à ces problèmes.

L'inspection des tableaux I, II et III nous amène à formuler les remarques suivantes :

#### I. Electronique

- a) RÉSOLUTION (sans commentaire)
- b) SENSIBILITÉ (sans commentaire)
- c) BRUIT DE FOND

On constate immédiatement que l'un des avantages majeurs du système à spot mobile est son taux de modulation élevé sans correction d'ouverture, dû à une grande finesse du spot. (Alliée évidemment à des optiques de haute qualité).

Afin de rendre plus claire la notion de sensibilité et faire une comparaison valable, nous avons groupé sur un même diagramme (fig. 5) quelques résultats de mesures effectuées sur deux équipements (spot mobile et caméra), dans les mêmes conditions photométriques (densités extrêmes, gamma, taux de modulation après correction, etc...) l'écart de densité sur le film test est de

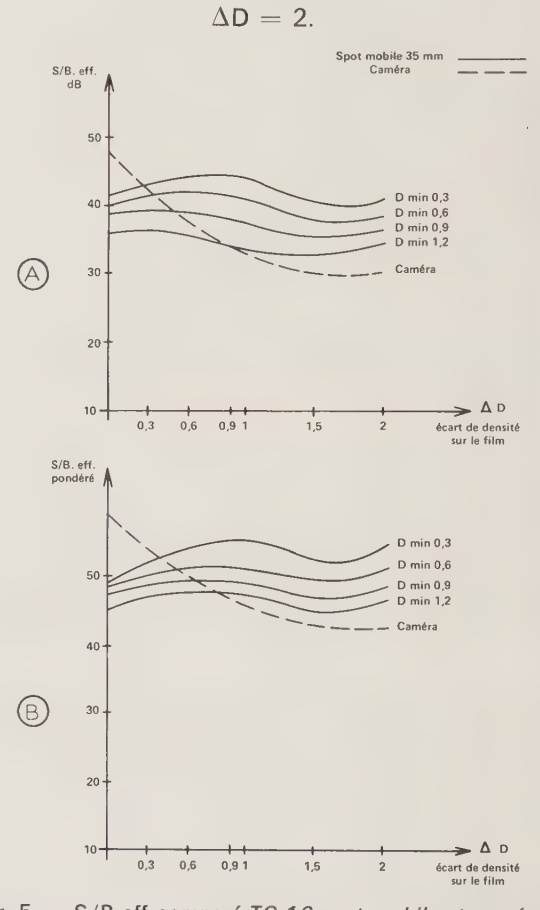


Fig. 5. — S/B eff comparé TC 16 spot mobile et caméra. S = signal nominal, après correction de  $\gamma = 0.45$ . B eff = bruit efficace mesuré avec diverses densités D. Taux de modulation ramené à 100 % pour 5 MHz sur mir théorique. Courbe B. Filtre pondérateur CCIR 0.33  $\mu$ S.

Un certain nombre de densités supplémentaires de 0,3-0,6-0,9 sont ajoutées dans la fenêtre en série dans le trajet lumineux pour simuler des films de plus en plus sombres présentant des D minimales respectivement égales à ces densités supplémentaires.

Dans ces conditions, le rapport S/B eff. d'un télé cinéma à spot mobile donne lieu à une famille de courbes en fonction de D min., alors que pour le télé cinéma à caméra, on trouve une courbe unique puisqu'est toujours possible d'ajuster l'éclairement pour rétable le niveau nominal de sortie.

On remarque que l'allure générale de la famille des courbes du système à spot mobile est pratiquement horizontale alors que celle de la courbe du système à caméra décroît rapidement vers des densités élevées.

Ceci signifie que pour un contraste de 100 et un correcteur de gamma de 0,5, le bruit en valeur absolue est 10 fois plus élevé dans les noirs que dans les blancs. D'où l'aspect de la courbe en pointillé.

Malheureusement, c'est précisément dans les parties sombres des images que l'œil est le plus sensible aux faibles variations de contraste donc au bruit de fond.

L'examen comparatif des résultats fait donc apparaître une supériorité très nette du système à spot mobile dans les zones sombres des images même pour les films les plus difficiles à transmettre :

$$D \min = 0.9.$$

 $\Delta D = 2$  (ce qui signifie D max = 2,9).

Les courbes 35 mm pour les films normaux (D min. = 0,3) se confondent avec celles du 16 mm pour les parties blanches de l'image car dans cette zone le rapport signal sur bruit va rejoindre le rapport lumière sur grain du tube à spot mobile lui-même. Vers les densités élevées, elle remonterait de 2 à 3 dB. L'amélioration du

rapport signal sur grain fait l'objet d'études permanentes chez les constructeurs de tube et des résultats substantiels sont à prévoir dans un proche avenir.

#### d) CORRECTION DE GAMMA (tableau I)

Du fait même des remarques exprimées dans les paragraphes précédents, il est évident que le système à spot mobile se prête beaucoup mieux que le système à caméra à la réalisation d'un correcteur de gamma agissant sur un contraste élevé (> 100).

Pour le télécinéma à caméra, il est nécessaire d'utiliser quelques artifices pour limiter l'augmentation de bruit dans les noirs tels que :

- Réduction de bande passante vidéo à partir d'un certain niveau, ce qui a pour effet de réduire simultanément le taux de modulation.
- Réduction de la plage d'efficacité du correcteur de gamma.
  - Traitement de signal.
  - « Crispening » etc...

De plus, la stabilité du niveau de noir d'un système d'analyse à spot mobile (noir absolu lié à l'extinction du spot) permet d'obtenir une référence noire de grande précision et d'augmenter ainsi les performances des corrections.

TABLEAU I
Comparaison des performances électroniques.

	Туре	Télécinéma à spot mobile	Télécinéma à caméra
a)	Résolution (pour taux mod. : 100 % 5 MHz)	Excellente C. ouv. ≃ + 5 dB en 35 + 14 dB en 16	Bonne après traitement du signal vidéo C. ouv. $\simeq + 10$ dB en 35 + 19 dB en 16
b).	Sensibilité	Limitée par luminosité maximale du luminophore	Limitée seulement par la puissance de la lampe de projection (quasi illimitée)
(c)	Rapport signal sur bruit pour:  • D maxD min. = 2  • γ = 0.45  • Taux mod. 100 % à 5 MHz		
	a) Blanc de l'image D = 0,30	Bon, limité par le grain de l'écran du tube à spot mobile	Très bon
	b) Parties moyennes D = 1	Très bon	Bon
7	c) Parties sombres D = 1,5 à 2,5	Très bon	Mauvais, sauf si l'on utilise certains artifices comme :  • réduction de bande, • crispenning
(d)	Correction de γ	Facile (même pour contraste > 100)	Difficile sur grands contrastes
e)	Films négatifs couleur	Relativement facile :  • Bon S/B sur toute la gamme des demi-teintes  • Bonne stabilité des niveaux	Difficulté avec S/B principalement dans les parties blanches de l'image
f)	Contrôle automatique de niveau	Facile : action directe sur la tension d'alimentation des photomultiplicateurs (constante de temps rapide)	Nécessaire et difficile :  • Disques dégradés commandés par servo- mécanismes  • Autres dispositifs complexes
(g)	Trainage	Invisible avec nouveau luminophore	Nul par principe
h)	Filage, rémanence	Nul par principe	Faible avec vidicons à oxyde de plomb, quelquefois gênant avec vidicons standards
i)	Exploitation, réglages	Réglages très stables	Réglages nombreux et retouches fréquentes des superpositions sauf asservissement spécial

#### e) TRANSMISSION DES FILMS NÉGATIFS

Sur un plan théorique pur, la correction de gamma nécessité par l'utilisation directe des films négatifs conduit à une amplification très élevée dans les régions claires de la scène (environ + 20 dB) alors qu'une zone représentant 1 % du niveau de blanc devrait être atténuée de 13 dB.

Ceci conduit à une amplification considérable du bruit dans les blancs et malgré la plus faible sensibilité de l'œil au bruit dans cette zone, il est nécessaire de prendre quelques précautions.

Heureusement, de par son principe même, la caractéristique de bruit d'un système à spot lumineux mobile est telle que le blanc de l'image à reproduire correspond au minimum de courant dans les photomultiplicateurs, donc au bruit absolu minimum. On obtient ainsi pour un film négatif standard de = 0,5 et sur les parties claires de l'image une différence d'environ 10 dB en faveur du télécinéma à spot mobile par rapport au télécinéma à caméra.

#### f) CONTROLE AUTOMATIQUE DE NIVEAU

Alors qu'il est extrêmement simple d'agir sur la tension d'alimentation des photomultiplicateurs d'un analyseur à spot mobile, pour effectuer un AGC efficace et rapide, le problème est loin d'être aussi simple avec un télécinéma à caméra.

Les difficultés sont de deux ordres :

- Colorimétrique : il est nécessaire de disposer d'un atténuateur variable respectant, sur une large plage, un panchromatisme rigoureux.
- Mécanique : les systèmes électro-mécaniques posent tous des problèmes d'inertie, suroscillations et rapidité d'action qui les rendent d'un emploi peu pratique.

#### g) TRAINAGE

On a longtemps reproché aux analyseurs à spot mobile, les difficultés issues de la persistance du spot. Ces difficultés, sans vouloir en amoindrir l'importance. sont maintenant surmontées. L'arrivée d'un nouveau luminophore a permis d'éliminer pratiquement tous les défauts.

Ses caractéristiques sont en gros les suivantes :

Réponse spectrale élargie,

Constante de temps très courte (0,1 μS) insensibles

à :

- la densité du spot (concentration),
- la température,
- l'amplitude des balayages.
- Très bonne définition,
- Faible grain.

#### h) EXPLOITATION RÉGLAGES

Le principe d'analyse par spot mobile étant extrêmement simple, il n'y a pas ou peu de problèmes de stabilité de réglage.

Dans un télécinéma à caméras, on retrouve toutes les difficultés de stabilité d'une caméra de prise de vue

Les problèmes de superposition des analyses des trois composants RVB qui nous ont amené à concevoir un système spécial de stabilisation automatique dans nos caméras de prise de vue directe se posenici avec la même acuité avec en plus, une difficulté supplémentaire due à la variation des formats d'analyse

Il est extrêmement difficile d'effectuer à la fois une bonne superposition en format normal et en cinémascope Il n'est pas concevable d'avoir à effectuer les règlages à chaque fois que l'on change de format et d'autre parti la commutation instantannée d'un panneau de potent tiomètres de prérèglage semble relativement délicati

#### II. Colorimétrie (Tableau II)

Dans ce domaine également, la mise au point d'u1 nouveau luminophore à réponse spectrale élargie permis de franchir une étape décisive.

Tout en favorisant une meilleure calibration des courbes d'analyse (sélectivité, centrage des sommets) ce nouveau luminophore, par ses caractéristiques de faible persistance et de haute luminosité, a permi d'accroître le rapport signal sur bruit d'environ 6 à 10 de

Ceci allié à la grande stabilité des niveaux et de amplifications, inhérente au système à spot mobile, permis la réalisation de correcteurs de saturations par masquage électronique de haute qualité (utilisation de signaux logarithmiques proportionnels aux densités des colorants du film).

Il est plus difficile, dans les télécinémas à caméra d'obtenir un rapport signal sur bruit suffisant pou

TABLEAU II Comparaison des caractéristiques optiques et colorimétriques.

Туре	Télécinéma à spot mobile	Télécinéma à caméra		
a) Réponse spectrale	Très bonne avec nouveau luminophore à spectre élargi	Très bonne (selon choix des tubes analyseurs		
b) Optique	Relativement complexe, principalement avec le système à double trajet	Simple, souvent couplée à multiplexeur optique		

TABLEAU III

Comparaison des caractéristiques mécaniques.

Туре	Télécinéma à spot mobile	Télécinéma à caméra
c) Dérouleur	Spécial :  saccadé à escamotage rapide continu et double optique continu avec décalage électronique des trames continu et miroir oscillant	Standard mais avec quelques adaptations néces- saires à l'utilisation en télévision : marche arrière, télécommande, etc
d) Disposition d'ensemble	<ul> <li>Analyseurs complets et indépendants. Jumelage pour enchaînement possible d'une façon quel- conque par dicordages sur répartiteur</li> <li>Voie de traitement film pouvant être commune à plusieurs analyseurs</li> </ul>	Groupement possible des projecteurs par paires, commuté sur une seule chaîne électronique (réduction du coût et des possibilités de visionnage)
e) Enchaînements	Par commutation électronique : soit sortie TC complets, soit sortie analyseurs avant voie de traitement	Par commutation optique

effectuer valablement ces corrections ainsi qu'une stabilité suffisante du niveau du noir dans chaque canal (flare, diffusion, courant d'obscurité dans le cas du Vidicon).

#### III. Mécanique (Tableau III)

#### a) DÉROULEURS

Le principe d'analyse par spot mobile, tout au moins en télévision radiodiffusée, nécessite un dérouleur spécial.

Dans les réalisations modernes, la stabilité du défilement a été particulièrement soignée et ce dernier point ne pose, aujourd'hui, plus de problème. De plus, l'obligation d'étudier un dérouleur spécial pour la télévision a permis d'apporter en même temps toutes les facilités d'exploitation nécessaires à la télévision : telles que marche-arrière, marche lente, réembobinage rapide, télécommande chargement automatique, cassettes, etc... facilités que l'on ne trouve en général pas ou mal adaptées sur les dérouleurs standards de cinéma utilisés dans les télécinémas à caméra.

#### b) DISPOSITION D'ENSEMBLE, DÉCOUPAGE DES CHAINES

Nous l'avons vu plus haut le télécinéma à caméra comprend en général une tête d'analyse équipée de 3 ou 4 tubes Vidicon standard ou à oxyde de plomb couplée à un ou plusieurs projecteurs de cinéma à l'aide d'un commutateur optique à plusieurs entrées. La voie de contrôle de caméra peut être placée dans le meuble central ou à distance comme en prise de vue directe. Le télécinéma à spot mobile a pratiquement toujours été présenté jusqu'à maintenant sous forme monobloc, comprenant à la fois l'analyse et tous les circuits vidéo y compris le codeur jusqu'à la sortie vers le mélangeur.

Dans une nouvelle conception de ces équipements, les Ingénieurs de TDF conjointement avec ceux de Thomson-CSF ont pensé réaliser un meilleur découpage en séparant les fonctions analyses proprement dites avec leurs corrections spécifiques, des fonctions de traitement vidéo plus particulièrement liées au film.

C'est ainsi que nous disposons aujourd'hui d'une voie de traitement film banalisée effectuant toutes les corrections liées au film sans tenir compte du système d'analyse et pouvant être utilisée indifféremment avec des analyseurs à spot mobile ou à caméra.

#### CONCLUSION

Pour conclure, nous dirons que, dans l'état actuel de la technique, les différents points que nous venons de discuter font apparaître un net avantage en faveur du système d'analyse à spot mobile pour le télécinéma couleur sur le plan des performances :

• Bruit de fond, correction de gamma, transmission des négatifs, stabilité, etc...

Les avantages seront encore plus marquants lorsque les constructeurs de tube auront amélioré le rapport lumière sur grain qui reste, en fait, le seul facteur de limitation à l'obtention d'un excellent rapport signal sur bruit dans les parties claires des images.

On doit cependant reconnaître que ceci reste imperceptible dans l'exploitation courante.

Ce système rencontre la faveur des utilisateurs pratiquement partout en Europe principalement à cause de sa grande facilité de mise en œuvre et de la stabilité de ses performances.

Aux États-Unis, le problème est différent. La difficulté apparemment insurmontable de la différence des cadences film et TV a jusqu'à aujourd'hui exclu l'usage du système à spot mobile, au profit du système à caméra. Cet obstacle est maintenant levé et la souplesse des nouveaux systèmes est telle qu'on envisage également un fonctionnement ,en asynchronisme total y compris le ralenti et le 16 images/s employés par les amateurs (\*).

<sup>(\*)</sup> Même référence que la note (\*) de la page 516.

#### RÉSUMÉ

Après avoir exposé les diverses utilisations possibles du film à la Télévision l'auteur aborde le problème de l'exploitation du film à la Télévision en montrant que cette dernière peut présenter plusieurs aspects selon qu'il s'agit d'un film artistique destiné en premier lieu à projection en salles publiques, d'un film artistique spécialement réalisé pour la Télévision, au d'un film acrostère desurenteire et journalistique specialement réalisé pour la Télévision, ou d'un film à caractère documentaire et journalistique.

Pour ces deux derniers cas, l'auteur note la tendance actuelle à considérer le film comme un simple support d'information au même titre que la bande magnétique avec pour principal but une similitude de rendu aussi parfaite que possible entre

le film et la prise de vue directe;

Dans la suite de l'article, il examine les difficultés liées au film proprement dit et compare les performances des divers principes d'analyse actuellement utilisés dans les Télécinémas en vue de ces nouvelles méthodes d'exploitations.

#### SUMMARY

Comparaison of performance between camera and flyng spot telecine types,

by M. FAVREAU (Thomson SCF).

Film utilization in T.V. Broadcasting is different in terms of its origin and intended use:

motion pictures for movie theatres

- film productions specially shot for Television

For the last two cases, the author notes the present trend to consider the film as a simple information support similarly to the magnetic tape.

Further on in the article, the author describes the difficulties inherent to the film itself and originating from the scanning process in television, especially when it is intended to match the quality of live pick-up.

Comparison is made between the different scanning techniques at present in use in the telecines in view of these new operational methods.

#### Bibliographie

FAVREAU. — Analyseur de diapositives et Télécinémas 16 et 35 mm pour la Télévision 35 mm pour la Télévision en couleur. Texte de conférence prononcée au *Symposium International de Montreux*, le 25.05.67. *Onde Électrique*, 1967, n° 486, pp. 1074-1088.

M. FAVREAU. — Problèmes rencontrés dans l'étude et la réalisation d'analyseurs d'images fixes et de Télécinémas pour la Télévision en couleur. Conférence prononcée au Colloque d'Helsinskiy sur la Télévision en couleur, Novembre 1967. *Rev. Fr. Radiodiffusion et de Télévision*, 1967, pp. 51-62.

M. FAVREAU. — Perfectionnements et compléments aux Télécinémas couleurs 16 et 35 mm à Flying Spot. *Rev. Fr. Radiodiffusion et de Télévision*, 1968, n° 7, pp. 71-79.

M. FAVREAU. — Correction des tons neutres et des saturations dans les Télécinémas couleur. *Rev. Fr. Radiodiffusion et de Télévision*, 1969, n° 12, pp. 325-332.

S. B. NOVICK. — Tone reproduction from Colour Telecine Systems, *BKSTS*, 1969.

*BKSTS*, 1969.

FAVREAU. — Correction des valeurs et des saturations dans les Télécinémas. Conférence prononcée au X° Congrès le 8 juin 1970. M. FAVREAU.

UNIATEC, pp. 49-51.

M. FAVREAU. — Les Télécinémas: Comparaison des différents systèmes d'analyse des films. École Nationale Supérieure des Télés communications, 1970.

Studies of some colorimetric problems in color television. SMPTE: 1970, 79.
D. M. ZWICK. — Color balance and density variations of color films intended for television, SMPTE, 1971, 80.
M. FAVREAU et A. LESTANG. — Télécinémas et Automatisme. Symptem 1971.

posium de télévision, Montreux, 1971.

C. B. B. Wood, A. B. Palmer and F. A. Griffiths. — Color negative in the telecine, SMPTE, 1972, 81.

L. E. Demarsh. — Optimum telecine transfer characteristics, SMPTE.

1972, 81.

K. STAES and R. VERBRUGGHE (Agfa-Gevaert). — Some considerations on the colour balance of film for colour telecine transmissions *BKSTS*, 1972.

BKS13, 1972.

D. M. ZWICK. — A survey of telecine practices. SMPTE, 82, 1973.

M. FAVREAU. — Le nouvel analyseur de diapositives Thomson-CSF de qualité radiodiffusion. Symposium de Télévision, Moscou, 1975.

Nouvelle génération de Télécinémas couleur à point lumineux mobile Principe de fonctionnement (S. Vidal). Réalisation (A. Lestang) Symposium de Télévision, Montreux, 1975.

## Nouvelle génération de télécinéma couleur pour film 16 mm

L'onde électrique 1976, vol. 56, n° 12 pp. 523-528



#### par Serge VIDAL,

École Nationale Supérieure d'Électronique et de Radioélectricité de Bordeaux, 1955, Licence ès Sciences, Chef du Service Sources couleur du Département Télévision de la Division Radiodiffusion Télévision de Thomson-CSF.

Thomson-CSF, Division Radiodiffusion Télévision, 100, rue du Fossé-Blanc, 92230 Gennevilliers.

Les constructeurs de télécinémas s'orientent maintenant vers la production d'appareils automatisés présentant une grande facilité d'exploitation. Ces télécinémas sont ainsi équipés de dispositifs de chargement rapide de films, de recherche et de repérage automatique de séquence, etc. L'auteur de cet article décrit un équipement à « spot » mobile muni de nombreux perfectionnements.

#### INTRODUCTION

Les Télécinémas de la génération actuelle ont atteint, dans le domaine de l'image, un niveau de qualité jugé très satisfaisant.

Du point de vue des facilités d'exploitation par contre, les possibilités de ces appareils restent limitées.

Comme l'a expliqué M. Favreau dans son article, les méthodes d'analyse utilisées imposent au film des contraintes de déroulement qui ne permettent pas d'offrir aux utilisateurs la souplesse d'emploi désirée.

Le problème est d'autant plus important que des besoins nouveaux sont exprimés comme par exemple : le chargement automatique du film, la possibilité de fonctionnement à partir d'une cassette, la recherche rapide et automatique de séquences repérées, l'analyse à cadence variable, et ceci aussi bien pour les normes européennes que les normes américaines.

C'est pour répondre à ces demandes que Thomson-CSF, en accord avec le service des études de TDF, a conçu et développé une nouvelle génération de télécinémas pour films couleur au format 16 mm.

#### 1. CONCEPTION GÉNÉRALE

La conception de l'appareil repose sur deux principes.

Le premier est celui de la séparation très nette entre la fonction analyse des images et la fonction traitement des signaux d'analyse.

Selon ce principe, l'appareil est constitué de deux ensembles distincts :

 $\bullet$  Un ensemble d'analyse qui délivre, sous forme normalisée (1V sur 75 $\Omega$ ), les informations extraites du film, corrigées des seuls défauts liés à son fonctionnement propre.

• Une voie de traitement qui a pour rôle de corriger les signaux d'analyse des seuls défauts imputables au film et d'adapter ces signaux au récepteur de visualisation.

Le deuxième principe est celui de la séparation totale entre la loi d'analyse et les conditions de défilement des images.

Selon ce principe, et grâce à une nouvelle méthode d'analyse, le mécanisme d'entraînement du film est libéré des contraintes de précision et le problème de la fixité d'image est résolu par des moyens entièrement électroniques.

Cette séparation qui fait l'originalité de l'appareil, a permis d'étudier et d'optimiser, indépendamment l'une de l'autre, la partie analyse des images et la partie entraînement du film.

De cette séparation résulte toute la souplesse d'exploitation de l'appareil.

#### 2. PROCÉDÉ ET MÉTHODE D'ANALYSE DES IMAGES

La nouvelle méthode d'analyse utilise le procédé à point lumineux mobile. On rappelle que ce procédé, réputé pour la qualité d'image qu'il permet d'obtenir, notamment dans l'analyse des films négatifs, offre l'avantage essentiel de permettre un déroulement continu, donc sans contrainte, du film.

Il offre en outre la possibilité particulièrement intéressante d'agir de façon dynamique au niveau du tube, sur le cadrage de la trame d'analyse.

La nouvelle méthode qui met à profit cette dernière possibilité consiste :

• à stabiliser en valeur moyenne, au niveau du tube cathodique, l'image du film en mouvement à l'aide d'un miroir oscillant.

• à superposer avec la précision nécessaire la trame d'analyse sur l'image ainsi stabilisée par action permanente sur le cadrage du balayage vertical du tube cathodique.

Le fonctionnement peut s'expliquer à partir du synoptique de la figure 1.

signal  $e_1$  proportionnel au déplacement de la perforation par rapport à une position de référence située par exemple au milieu du réseau.

La stabilisation de l'image I au niveau de la trame  $\Pi$  est alors obtenue par une boucle qui asservit la position du miroir M, de telle sorte que l'écart  $e_1$  soit minimal.

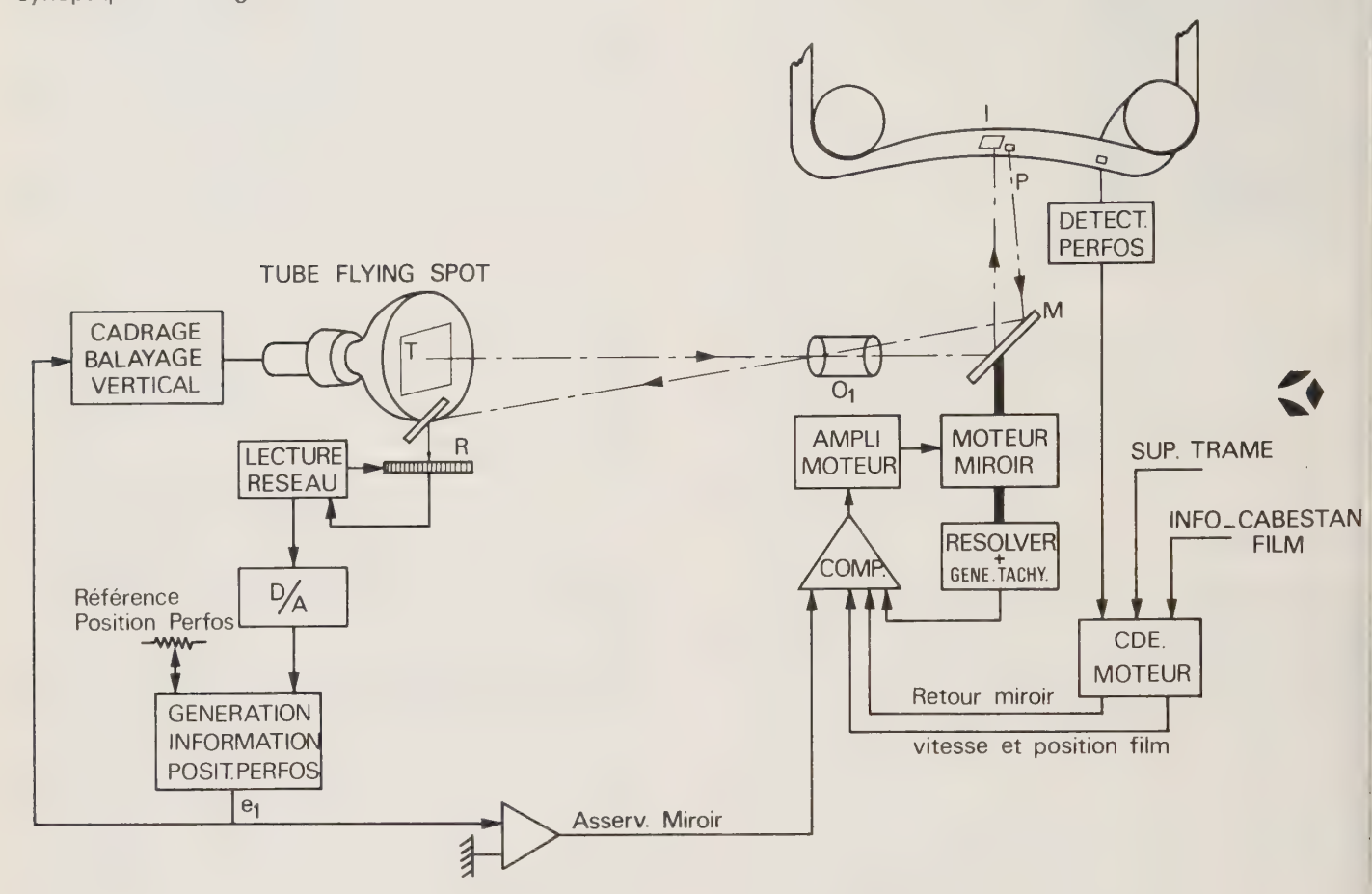


Fig. 1. — Télécinéma diagramme de l'analyse.

Un objectif 01 forme l'image de la trame d'analyse T sur l'image I du film par l'intermédiaire d'un miroir oscillant M.

Le miroir a un mouvement en dent de scie, afin de stabiliser l'image de T sur les images successives I du film, durant leur déplacement dans la fenêtre d'analyse.

La période aller correspond, pour la cadence nominale de défilement, à la durée d'analyse complète d'une image et la période retour correspond à la durée de suppression des signaux vidéo.

La perforation P est éclairée en permanence et le principe du retour inverse de la lumière permet d'en obtenir une image nette dans le plan de l'écran du tube cathodique.

La position de cette image doit être stable si le mouvement du miroir est correct.

La méthode est basée sur la mesure de cette position à l'aide d'un réseau linéaire de photodiodes dont le pas est compatible avec la précision demandée.

Ce réseau, exploré à une cadence double de celle des lignes d'analyse, délivre une information qui après conversion numérique/analogique permet d'obtenir un La superposition, avec la précision nécessaire, de la trame d'analyse sur l'image ainsi stabilisée, est obtenue simplement en ajoutant l'écart minimal  $e_1$  à la tension de cadrage vertical du tube cathodique.

#### Stabilisation de l'image

Le miroir M est fixé en bout d'arbre d'un moteur à courant continu muni d'une génératrice tachymétrique et d'un « resolver ».

La faible inertie de l'ensemble, de l'ordre de 50 g/cm permet d'assurer un retour miroir en un temps inférieu à la durée de suppression image des signaux vidéoc Ceci pour une amplitude de mouvement de 5° enviroir et un couple moteur de l'ordre de 16.10<sup>6</sup> dy/cm pour un courant crête de commande de 35 A.

L'alimentation en puissance est assurée par ul amplificateur de courant à contre réaction.

Le mouvement de retour du moteur est commande par un signal élaboré à partir des impulsions de supression image et des impulsions délivrées par un détecteur de passage des perforations. Le retour miroir entre deux

périodes d'analyse d'image ne doit s'effectuer en effet que lorsque le film s'est déplacé d'un pas d'image.

Pour la période aller, on peut considérer deux modes de fonctionnement, selon que le mouvement du moteur est lié à celui du film ou est asservi de telle sorte que l'écart  $e_1$  soit minimal.

Dans le premier mode de fonctionnement, la commande du moteur est assurée à partir de la comparaison entre les informations fournies par la génératrice tachymétrique et le « resolver » et les informations de vitesse et de position du film. Ces dernières étant obtenues à partir des impulsions délivrées par une roue codée optique montée en bout d'arbre du moteur d'entraînement du film.

Ce mode de fonctionnement assure le positionnement des images successives des perforations du film sur le réseau de photodiodes. Il présente l'avantage de maintenir dans des limites acceptables le cadrage des images, en cas d'absence ou de détérioration des perforations et de retrouver l'image de ces dernières sur le réseau de photodiodes lorsque la zone détériorée est franchie.

Le mode asservi est obtenu simplement en ajoutant à la commande du moteur le signal d'erreur  $e_1$  dans un sens tel que la réaction du moteur tende à annuler ce signal. Le signal  $e_1$  est automatiquement inhibé lorsqu'il dépasse un seuil au-delà duquel sa valeur n'est plus significative de la position des images (cas des perforations détériorées) et l'on passe simplement au premier mode de fonctionnement).

On retiendra de cette brève description qu'aucune condition de défilement n'a été imposée au film.

#### 3. CHARGEMENT ET ENTRAINEMENT DU FILM (fig. 2)

Le système de chargement et d'entraînement du film a été optimisé en vue d'une exploitation simple, rapide et très souple.

Ce système est caractérisé par les points suivants :

— Un trajet du film court, selon une configuration simple particulièrement adaptée au défilement rapide et au chargement automatique à partir d'une cassette.

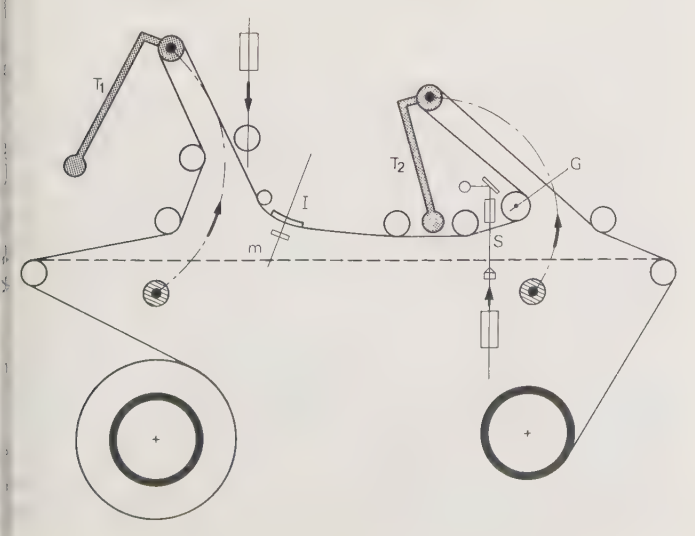


Fig. 2. - Télécinéma trajet film.

- Un entraînement continu du film par un cabestan commandé par un moteur asservi en vitesse, aussi bien pour l'analyse, que pour le réembobinage ou la recherche de séquences.
- Un déroulement du film à tension constante grâce à l'action de deux bras tendeurs T1 et T2 munis de ressorts spiraux.
- Un asservissement en position de ces bras tendeurs qui commande les moteurs d'entraînement des bobines débitrice et réceptrice. Par cette méthode, le film est enroulé ou déroulé au gré des mouvements du cabestan.

L'analyse de l'image se fait au niveau du couloir l et la lecture du son S proche du galet d'entraînement G.

Le flux lumineux d'analyse est renvoyé vers le séparateur optique situé sous le plan du trajet par un miroir *m*.

Ce miroir est escamotable afin de laisser le passage du film libre au moment du chargement.

Pour la même raison, les capteurs son (optique et magnétique) sont montés sur un chariot mobile dont la position de repos est indiquée sur la figure.

La position de repos des bras tendeurs est également indiquée en pointillé sur la figure.

La mise en place du film s'effectue par un geste simple qui amène son amorce, de la bobine débitrice à la bobine réceptrice. Dans le cas d'une cassette, il suffit de rabattre cette dernière sur le plan du trajet, l'axe des moteurs d'entraînement se positionne automatiquement dans les noyaux de la cassette.

Le chargement automatique du film s'effectue à partir d'un bouton poussoir de commande par le seul mouvement circulaire des bras tendeurs. Dès qu'il est effectué, le miroir d'analyse se positionne automatiquement sur l'image, le miroir m et le chariot son prennent leur position de travail.

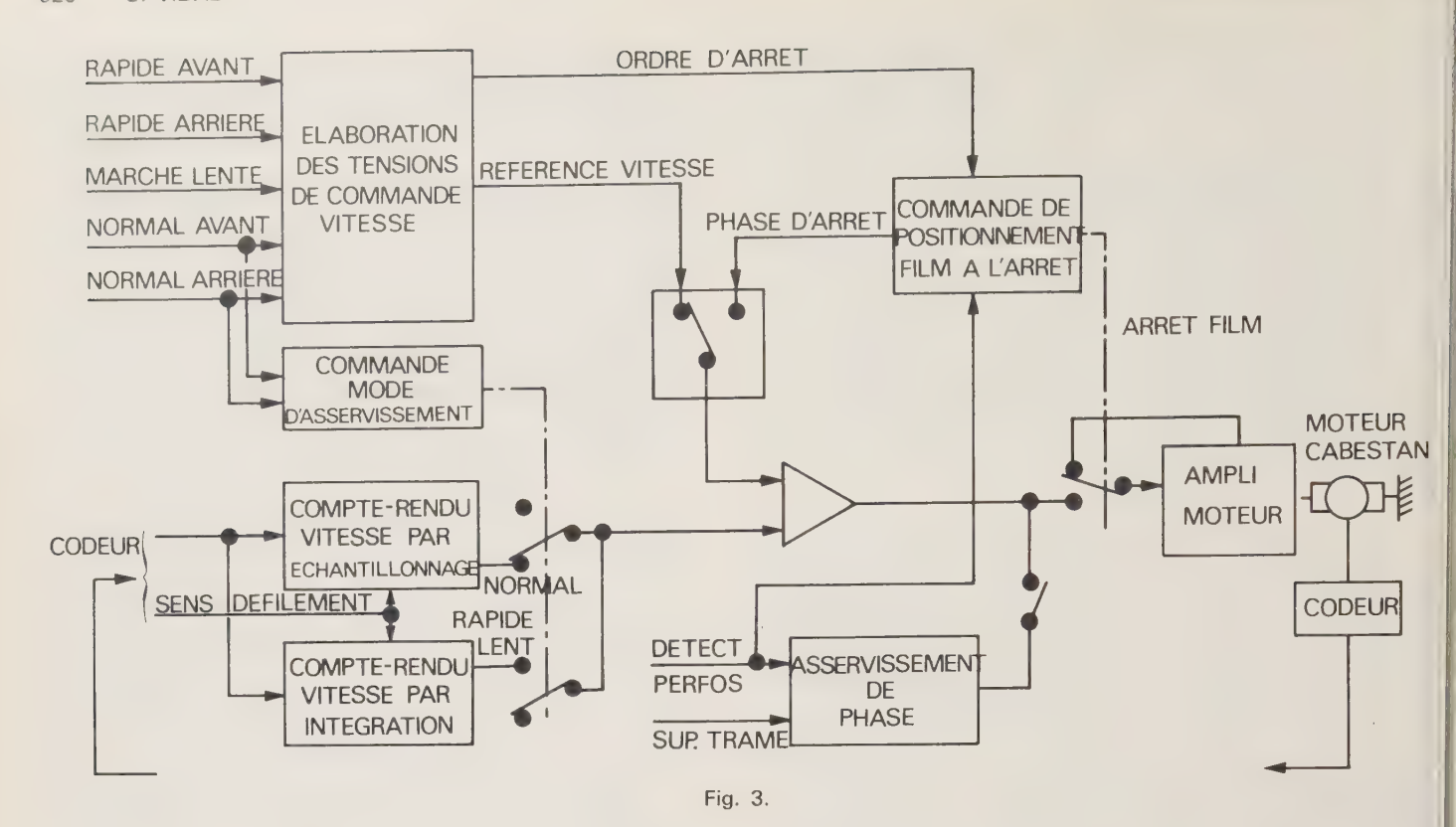
Le passage en défilement à grande vitesse pour la recherche de séquences ou le réembobinage se fait sans changer de configuration, ni modifier le rôle des bras tendeurs. Un galet mobile vient simplement dégager le film du couloir d'analyse.

Les moteurs d'entraînement des bobines sont des moteurs à courant continu dont les caractéristiques de couple et de puissance permettent :

- l'utilisation de bobines jusqu'à une capacité de 1200 m;
  - des arrêts et démarrages très rapides;
- une vitesse de réembobinage allant jusqu'à 25 fois la vitesse nominale;
- l'entraînement avec un couple suffisant, jusqu'aux très faibles vitesses (image par image).

La vitesse de ces moteurs est asservie de telle sorte que la position angulaire moyenne des bras tendeurs reste stable.

Le moteur de cabestan qui entraîne le film est un moteur à courant continu dont la vitesse est asservie en permanence, quelle que soit la cadence du défilement (fig. 3).



Le capteur de vitesse est un codeur optique incrémental monté en bout d'arbre du moteur, qui délivre des signaux rectangulaires.

Le principe de l'asservissement est classique.

Il consiste à maintenir constante la durée de ces signaux à partir d'une valeur de référence déterminée par le choix de la cadence de défilement.

A cadence nominale, l'asservissement de vitesse est effectué selon une méthode d'échantillonnage qui permet d'obtenir une grande précision.

Aux autres cadences, l'asservissement est réalisé par intégration d'impulsions élaborées à partir des informations du codeur.

Un asservissement permet d'assurer au synchronisme, la précision de phase entre la cadence de défilement et la cadence d'analyse des images.

Cet asservissement est basé sur la comparaison des impulsions de retour du balayage trame et des impulsions délivrées par un détecteur de passage des perforations.

#### 4. PRÉSENTATION DE L'APPAREIL

L'appareil se présente comme le montre la vue N $^{\circ}$  1, sous la forme d'un meuble occupant une surface au sol de 0,85 m  $\times$  0,80 m environ et d'une hauteur de 1,95 m. Son poids est de 400 kg environ.

On distingue trois parties:

- la partie inférieure contenant l'alimentation et les circuits électroniques en tiroirs;
- la partie médiane constituée d'une platine inclinée supportant les organes mécaniques et optiques de

l'équipement, ainsi que le tube d'analyse et les pupitres de commande;

— la partie supérieure, amovible, occupée par les organes de contrôle de l'image et du son.

La conception de l'appareil permet une fabrication et une maintenance très souples.

La platine médiane, les tiroirs électroniques et la peigne général de raccordement sont réalisés et contrôlés indépendamment les uns des autres.

Ces ensembles viennent ensuite se monter sur un structure en profilés soudés.

Les plaques d'habillage sont facilement amovibles

#### 4.1. Trajet film

La figure 4 montre l'appareil équipé de plateaux permettant de recevoir des galettes de film de 600 m montées sur des noyaux Kodak standard ou sur tout autre type de noyau.

La figure 5 montre la mise en place d'une cassette sul l'appareil.

Cette cassette contient 25 mn de programme environ sur bobines coplanaires de 300 m.

Son poids, chargée, est inférieur à 5 kg.

Son utilisation est très simple. Il suffit, comme le montre la vue, de la poser sur un rail de guidage et de la basculer vers la platine. Le verrouillage est auto) matique.

Il s'écoule moins de 10 s entre le début de sa mise en place et le défilement du film son synchrone.



Fig. 4. — Vue générale de télécinéma.



Fig. 5. — Mise en place de la cassette sur le télécinéma.

La mise en place du film sur son trajet de défilement est automatique.

La figure 6 montre le trajet film après chargement.

On y distingue les 2 boucles formées par les bras tendeurs. Le couloir d'analyse est masqué par le miroir



Fig. 6. — Trajet du film après chargement des bobines.

escamotable, de renvoi du flux lumineux vers le séparateur situé sous la patine.

Le chariot son, situé à droite, près du galet d'entraînement, a deux positions télécommandables : une position « lecture optique » et une position « lecture magnétique » dans laquelle la tête magnétique vient en contact avec le film.

Ce chariot se met automatiquement en position repos pour le chargement ou l'entraînement du film à grande vitesse.

L'objectif a une ouverture de F/1,9 et le couloir d'analyse a un rayon de courbure de 45 mm environ.

A gauche du bloc optique se trouve un galet qui dégage automatiquement le film du couloir, en vitesse rapide de défilement.

De part et d'autre du bras tendeur de droite, on distingue un système à deux fibres optiques qui détectent le passage des perforations pour assurer les fonctions suivantes :

- asservissement de phase du cabestan,
- asservissement de phase du magnétophone associé,
- arrêt du film avec un cadrage précis,
- déclenchement des retours du miroir oscillant,
- arrêt automatique en fin de bobine ou sur séquence repère,
  - enchaînement automatique en fin de bobine.

Sous la platine sont fixés :

- les moteurs des bobines, du miroir oscillant et du cabestan.
- le bloc de séparation de flux avec ses 3 photomultiplicateurs qui utilise des lames dichroïques à incidence réduite,
- et enfin, l'ensemble tube cathodique avec ses bobines de déflexion et de concentration, monté sur un chariot coulissant dont la position est télécommandée pour la mise au point à partir des pupitres de commande.

Cet ensemble supporte le réseau de photodiodes sur lequel vient se former l'image de la perforation.

#### 4.2. Électronique

Comme le montre la figure 4 la partie inférieure de l'appareil groupe les tiroirs électroniques. A l'exception des circuits de puissance et de haute tension fixés sur la structure, les circuits électroniques sont groupés par fonction dans des tiroirs SOMAC eux-mêmes regroupés en 3 coffrets. On distingue :

- le coffret « défilement et son » (SOMAC 24 unités) qui groupe les fonctions chargement automatique, défilement et traitement du son,
- le coffret « analyse » (SOMAC 24 unités) qui comprend les circuits d'analyse, les circuits de commande du miroir oscillant et éventuellement un contrôle de voie interne qui permet dans des cas d'exploitation simples de faire fonctionner le télécinéma sans voie de traitement,
- le coffret « traitement photodiodes et correction de contour » qui comprend les circuits de traitement des

informations issues du réseau de photodiodes et les circuits optionnels de correction de contour de l'image.

En bas, à droite se trouve le coffret d'alimentation.

Au-dessus des coffrets sont regroupés sur des bandeaux, l'interrupteur général les appareils de mesure et les compteurs horaires nécessaires au contrôle de l'équipement.

#### 4.3. Pupitres

La figure 4 montre également les pupitres de commande qui peuvent être déportés. On trouve de gauche à droite :

- le pupitre des commandes mécaniques de l'appareil : chargement, défilement, réembobinage rapide, marche lente et mise au point optique;
- le pupitre central groupant les commandes de sélection du mode de lecture et d'écoute du son et les commandes d'analyse (format, cadrage, sensibilité) ainsi que les circuits d'alarme et de signalisation de l'appareil;
- le pupitre des corrections colorimétriques associé au contrôle de voie interne.

#### 5. CARACTÉRISTIQUES ESSENTIELLES

Pour conclure sur la présentation du nouvel appareil, on résumera les avantages essentiels qui le caractérisent :

- Procédé d'analyse à point lumineux mobile.
- Analyse par objectif unique qui supprime les fluctuations de niveau des signaux vidéo d'une trame à la suivante et les défauts de fixité ou d'entrelacés liés à l'allongement ou au retrait des films.
- Analyse indépendante des conditions de défilement du film offrant ainsi dans les deux sens de déroulement les possibilités suivantes :
  - Analyse aux normes européennes et américaines.
- Analyse à cadence variable depuis le fonctionnement image par image jusqu'à 25 images par seconde.
- Stabilisation de l'image jusqu'à 4 fois la vitesse nominale pour faciliter les opérations de recherche de séquence.
- Analyse au format cinémascope selon les méthodes envisagées actuellement.
- Entraînement continu du film par cabestan caractérisé par les points suivants :
- Arrêts et démarrages en un temps inférieur à une seconde (son synchrone).
- Réembobinage rapide dans les deux sens jusqu'à
   25 fois la vitesse nominale sans décharger le film.

- Possibilité de recherche rapide et automatique de séquences repérées.
  - Arrêt automatique en fin de bobine.
  - Enchaînement automatique d'un appareil à l'autre.
- Chargement automatique du film, image cadrée du démarrage à l'arrêt :
  - soit à partir d'une cassette de 300 m,
- soit é partir de bobines jusqu'à une capacité de 1 200 m.
- Lecture du son COMOPT avec amplificateur d'écoute et du son COMMAG et SEPMAG.
- Utilisation normale avec une voie de traitements adaptée à l'étalonnage électronique des films et possibilité d'utilisation avec un contrôle de voie interne.
- Possibilité de multiplexage de plusieurs ensembles d'analyse sur une même voie de traitement.

#### CONCLUSION

Dans le domaine de la diffusion, qu'elle soit classiques ou automatisée, ce nouveau télécinéma est un équipement parfaitement adapté aux impératifs d'une exploitation souple, rapide et efficace.

Ses performances et ses possibilités d'utilisation offrent des perspectives nouvelles et intéressantes dans le domaine de la production.

On citera son adaptation immédiate à l'étalonnage électronique des films et au montage de programmes filmés sur bandes magnétiques à partir d'originau» négatifs.

#### RÉSUMÉ

Un nouveau télécinéma couleur 16 mm a été étudié en vue de répondre aux nouveaux besoins de l'exploitation en ce qui concerne notamment le chargement automatique du film la recherche automatique de séquences et le fonctionnement à cadence variable.

L'article décrit le principe de fonctionnement et les caractéristiques essentielles de cet appareil qui utilise le procéde d'analyse à point lumineux mobile selon une nouvelle méthode grâce à laquelle les conditions de déroulement du film son indépendantes du procédé d'analyse.

#### SUMMARY

New colour telecine for 16 mm films, by S. Vidal (Thomson CSF).

This new telecine is designed to meet the latest operational requirements, particularly with regard to automatic film lacing quick location of film sequences, variable scanning rate.

The article describes the manner of operation and the characteristics of this new equipment in wich the image-scanning process is independent of film transfer conditions.

### LETTRE A LA RÉDACTION

#### Un procédé adaptatif: Le codage numérique des images T.V.

L'onde électrique 1976, vol. 56, n° 12 pp. 529-530

La télévision numérique est-elle pour demain? Après les démonstrations à échelle réduite de « visioconférence » à EUROCOM (Genève, septembre 1974), on peut supposer qu'à terme, ce choix essentiel qu'est la transmission numérique sera retenu, même si des problèmes subsistent actuellement [1]. Les premières études faites en France et à l'étranger ont largement cerné le problème. Les dernières en date ont montré que, dans les études à entreprendre, il fallait désormais accorder une plus grande part au côté subjectif de la perception d'une image de télévision. Les études menées à Rennes au département NIM du CCETT [2] avec le système OCCITAN [3] ont confirmé cette évolution. Pour obtenir un débit de 34 Mb/s pour la transmission d'une image colorée de qualité acceptable [4], les résultats d'OCCITAN ont montré qu'il fallait perfectionner les procédés de codage différentiel utilisés dans les systèmes intra-image.

Les travaux entrepris par le laboratoire Signaux et Systèmes du CNAM ont notamment porté sur la mise au point d'un système différentiel adaptatif.

Le système proposé utilise le principe de la MIC différentielle à prédiction que J. B. O'Neal [5] a décrit et dont le synoptique est le suivant (fig. 1).

Les grandeurs  $S_n(t_k)$  et  $\widehat{S}_n(t_k)$  fournies par le CA/N et le prédicteur sont mémorisées avec 7 ou 8 eb. La différence  $eq(t_k)$  entre  $S_n(t_k)$  et son estimation (prédiction) est quantifiée grossièrement (3, 4 ou 5 eb généralement). Dans la suite on omettra, pour simplifier  $\widehat{S}_n(t_k)$  et  $\widehat{S}_n(t_$ 

Dans le système proposé, on modifie l'organe de traitement, le mode de prédiction restant identique à celui d'un système classique à un ou deux points [6]. Le synoptique de cet organe modifié est représenté sur la figure 2.

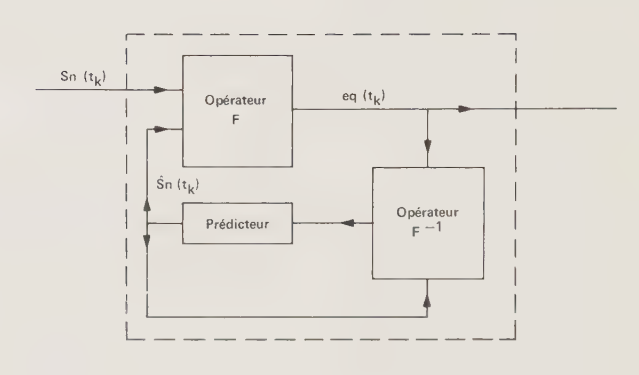


Fig. 2.

Dans le système classique on emploie les relations suivantes :  $S_n - \widehat{S}_n = e_n$ ,  $e_n = e_q + \varepsilon_{q'}$ ,  $S'_n = \widehat{S}_n + e_q = \widehat{S}_n + e_n - \varepsilon_q = S_n - \varepsilon_q$ .

La grandeur de sortie  $e_q$  est uniquement fonction de la différence entre  $S_n$  et  $\widehat{S}_n$ . Comme le montrent les relations ci-dessus, la connaissance de  $\widehat{S}_n$  et de  $e_q$  entraı̂ne automatiquement celle du signal reconstruit  $S_n'$ , qui est égal à  $S_n$ , à l'erreur de quantification  $\varepsilon_q$  près.

Il est assez couramment admis qu'en première approximation la statistique des différences  $e_n$  a une allure gaussienne [7], que le mode de prédiction soit à un point ou deux points et que l'amplitude maximale de  $e_n$  est quasiment toujours inférieure à la moitié de l'amplitude crête à crête D du signal de luminance. On limite souvent le saut maximal  $e_q$  max des quantificateurs classiques à  $\frac{D}{3}$ . Il n'est nullement évident qu'il faille quantifier de manière uniforme les  $e_n$  lorsque  $S_n$  varie dans toute la gamme de luminance. L'étude du rendu subjectif a conduit à constater que les restitutions correctes, d'une part des transitions, d'autre part des zones quasi uniformes dans les gris moyens sont les plus critiques.

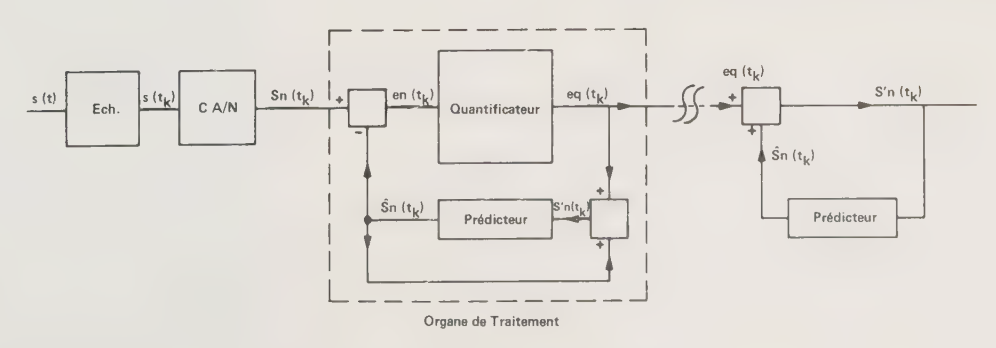


Fig. 1.

Le système proposé associe donc à un e, donné un  $e_{\sigma}$  fonction non seulement de  $S_n - \widehat{S}_n$ , mais aussi de la valeur absolue de  $S_n$  et  $\hat{S}_n$ . Cette opération non linéaire qui donne  $e_a$ , connaissant  $S_n$  et  $\widehat{S}_n$ , dite « opération F », peut se représenter sous la forme d'un tableau ayant deux entrées  $\hat{S}_n$  et  $S_n$  et une sortie  $e_q$ . L'opérateur F-1 (qui n'est pas au sens propre du terme l'opérateur inverse de F) associe à chaque couple  $\hat{S}_n$ ,  $e_a$  une valeur  $S'_n$ reconstruite. On remarque que, contrairement au cas classique, la détermination de F n'entraîne pas automatiquement celle de F<sup>-1</sup>. On possède ainsi un moyen d'action supplémentaire pour agir sur l'effet subjectif de l'erreur entre  $S_n$  et  $S'_n$ .

La méthode décrite constitue donc une adaptation intéressante des systèmes MICD classiques, tenant mieux compte des particularités du signal d'image. Tout en conservant la restitution rigoureuse de la luminance des plages larges, elle doit permettre une nette amélioration de la traduction des contours à débit binaire donné car la meilleure utilisation de l'échelle des  $e_q$  permet d'améliorer le compromis entre le traînage et les rebondissements. La transmission présentera aussi une plus grande robustesse au bruit que tous les systèmes utilisant des commutations [8].

Ce système a été expérimenté aussi bien en simulation aux normes de la TV analogique actuelle, qu'en temps réel sur un signal d'image fourni par un visiophone. Les résultats de cette première étape ont encouragé à passer à la suivante c'est-à-dire à la réalisation du système en temps réel avec un signal de TV noir et blanc. Ce travail est actuellement en cours de mise au point.

On peut raisonnablement penser qu'il amènera des résultats complémentaires de ceux du système OCCITAN, qui permettront d'approcher le but souhaité de réduire le débit binaire aux environs de 34 M eb/s. Toutes ces études ont été menées en liaison avec le département NIM du CCETT que nous tenons à remercier:

#### Bibliographie et Notes

- Verrée J. L'évolution du réseau interurbain face aux besoins futurs des Télécommunications. Télécom., 1975, 32, 35-44.
   CCETT. Centre commun d'étude de télévision et de télécommunications. NIM Numérisation des images.
   PONCIN J. et SABATIER J. Le système OCCITAN. Écho des recherches, 1976, 28-37.
   Normes de qualité équivalentes à celles fixées par le CCIR pour les systèmes analogiques. Normes de débit discutées actuellement au CCITT.
   R. O'NEAL J. R. Predictive quantizing systems (DPCM)
- au CCIII.

  [5] J. B. O'NEAL J. R. Predictive quantizing systems (DPCM) for the transmission of television signals. BSTJ, 1966, 689-720)

  [6] Prédiction à un ou deux points: voir aussi notes 3 et 5. Nous avons choisi pour le mode à un point, le point précédent et pour celui à 2 points, P(X) =  $\frac{A+D}{2}$ .
- [7] FUKINUKI. Optimization of DPCM for TV Signal with consideration of visual property. *IEEE Trans. on Com.*, 1974, nº 6%
- [8] Notamment tous les systèmes définissant deux modes de quantifications suivant que la zone est « calme » ou « mouvementée » voir à ce propos : J. B. O'NEAL and GOYAL. — Entropy coded DPCM Systema for Television. *IEEE Trans on Com.*, juin 1975, 660-666. LÜDER. — A DPCM für videosignal, AEU, B 29 H 6, 251-2566

Y. ANGEL et G. FROMONT

Laboratoires Signaux et Systèmes, CNAM, 292, rue Saint-Martin, 75003 Paris (tél. 887.37.38).

## actualités

L'Onde Électrique, 1976, nº 12

En bref	535
Activité des laboratoires	541
Nouveautés techniques	542
Produits récents	546
Livres reçus	547

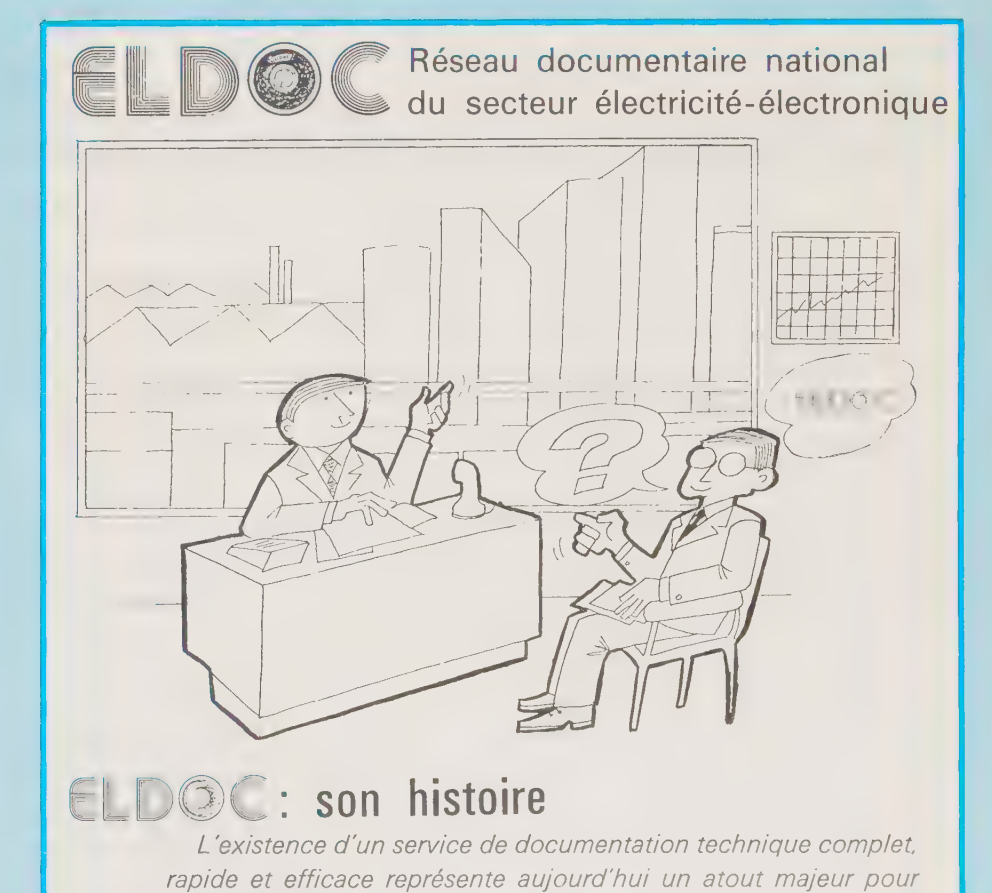
VIII, X, XII,

et XIV

533

Événements

\_ivres



toute société industrielle, pour tout organisme ou service de recherche. L'inflation des publications a conduit au développement de systèmes de documentation automatiques faisant

(Événements p. 533)

largement appel à l'informatique.

## Pour tester des récepteurs haute performance, il faut des signaux haute performance.



Le HP 8640B avec ses options 001, 002 et 003 : de 0,5 à 1024 MHz.

Dès sa création, le générateur de signaux HP 8640B se distinguait par son ensemble de caractéristiques, indispensables pour les tests sur récepteurs haute performance:

- Pureté spectrale 130 dB/Hz à 20 KHz de la porteuse.
- Large gamme dynamique de 19 à − 145 dBm.
- Stabilité du verrouillage en phase et possibilité de mesures extérieures.

Depuis lors, Hewlett-Packard lui a sans cesse ajouté des possibilités :

- Option 001: modulation variable.
- Option 002 : gamme de fréquence élargie : de 0,5 à 1024 MHz.
- Option 003: protection contre puissances inverses de 50 W.
- Option 004 : version aviation pour tests sur équipements de communication et navigation aérienne.
- Modèle 8640 M: version militaire plus robuste.

Et maintenant, le 8640B vous assure résolution d'un demi-digit en verrouillage de phase (500 Hz entre 100 et 1.000 MHz), une modulation améliorée et une meilleure définition du niveau.

En utilisant le Convertisseur 11710 A, vous pouvez aussi diviser la fréquence de sortie jusqu'à 5 KHz et tester des amplificateurs à 262 KHz et 455 KHz.

Toujours en tête pour les générateurs de signaux UHF, Hewlett-Packard apporte la solution optimale pour vos tests sur récepteurs haute performance.

Pour plus d'informations techniques,

contactèz : Hewlett-Packard France, Z.I. de Courtabœuf, B.P. 70, 91401 Orsay Cedex, Tél. : 907 78.25.



172 points de vente dans 65 pays assurent le service après-vente

## ÉVÉNEMENTS

#### **ELDOC:** son histoire

L'existence d'un service de documentation technique complet, rapide et efficace représente aujourd'hui un atout majeur pour toute société industrielle, pour tout organisme ou service de recherche. L'inflation des publications a conduit au développement de systèmes de documentation automatiques faisant largement appel à l'informatique.

En France dans le secteur de l'électrotechnique, la plupart des Administrations et des grandes sociétés industrielles disposaient de leur propre service central de documentation, et effectuaient chacunes des signalements qui étaient publiés dans des documents internes. Bien entendu, les échanges existaient entre certaines sociétés et Administrations, mais relevaient essentiellement des relations personnelles entre les responsables des divers centres de documentation; il n'y avait pas de réelle coordination.

#### LES SIGNALEMENTS

Les signalements sont constitués par de courts résumés rédigés par des spécialistes de la documentation à partir des textes originaux, d'articles et de thèses. Ces résumés sont complétés par une série de mots-clés hiérarchisés, choisis dans un répertoire appelé « Thésaurus » et qui définissent le domaine couvert par l'article. Bien entendu, le signalement comporte les références exactes de la publication : titres, auteurs, revues, pages, année, etc. Les signalement des articles sont suffisamment explicites pour donner une idée exacte du contenu.

#### es prémices

M. Deweze de la société Merlin-Gérin, ressentant la nécessité d'une coordination globale, déposa en 1970 in projet de rationnalisation des serrices de documentation dans le cadre lu VIº Plan français. Cette démarche ut accueillie avec les plus grandes éserves par l'EDF (\*) et le CNRS (\*\*).

(\*) Électricité de France. (\*\*) Centre National de la Recherche Finalement, à l'initiative de la DGRST, un groupe de travail sur la faisabilité d'un système central de documentation en électrotechnique était créé et placé sous la Présidence de M. Lehmann de la CGE.

En octobre 1972, ce groupe de travail publiait un rapport qui étendait le domaine d'intérêt à l'électronique et encourageait la création d'un système de documentation automatique utilisant au mieux les moyens existants. Ce système baptisé ELDOC, ferait donc appel à la sous-traitance. Le rapport indiquait également que la réalisation et le support d'ELDOC devraient être confiés de préférence, à une société savante sans but lucratif.

#### LES PRODUITS ELDOC

Le service de documentation automatique ELDOC est construit à partir de signalements.

Diffusion sélective de l'information ELDOC (DSI).

C'est le produit de base d'ELDOC. Issu de l'accroissement périodique ou non des publications, le fichier est interrogé à partir de questions qui correspondent à certains profils de besoin.

Le profil est l'image des besoins élémentaires en documentation d'un client déterminé. Ainsi un abonné intéressé par les microprocesseurs reçoit chaque mois les signalements des publications traitant ce sujet et analysés au cours de la dernière période de traitement.

#### Bulletins signalétiques :

Ces bulletins mensuels prennent à la suite de ceux précédemment publiés par le CNRS. Ils comportent deux fascicules spécialisés : électrotechnique et électronique.

Ils contiennent le signalement des documents analysés au cours de la dernière période de traitement. Ils comprennent également une table des matières très complexes.

#### Recherche rétrospective :

Ce produit est destiné à satisfaire les besoins des clients qui doivent connaître l'ensemble des publications parues au cours d'une période relativement longue et traitant d'un sujet donné.

Le système ELDOC étant récent, il est fait appel pour ces recherches à des fichiers qui existaient déjà : INSPEC (GB), NTIS (USA), ESA, CNRS, EDF, CNET, COMPENDEX (USA).

Duplicata de l'accroissement mensuel du fichier :

Ce duplicata est une bande magnétique d'ordinateur normalisée, contenant les signalements du mois sur des sujets sélectionnés ou non. Cette bande ne peut être utilisée que par des clients disposant des chaînes de traitement spécialisées.

#### DSI Rapide:

Ce service a pour but d'augmenter la qualité documentaire de la DSI sous l'aspect des délais, en acceptant une réduction de la densité spécifique de l'information. Ce produit est élaboré à partir de sommaires prévisionnels des publications fournies par les éditeurs. Les signalements des publications ne comportent donc pas de résumés, les textes n'étant pas encore à la disposition d'ELDOC.

#### Congrès, Colloques:

Ce service est en cours d'étude. Il sera réalisé à partir d'un service existant à l'EDF. Les abonnés disposeront de listes sélectives.

ELDOC tentera par ailleurs, de satisfaire à d'autres besoins en fournissant dans une phase ultérieure des documents originaux et en proposant également le raccordement de terminaux sur son fichier.

Parallèlement et indépendamment, en février 1973, le BNIST (Bureau National de l'Information Scientifique et Technique) était créé au sein du Ministère de l'Industrie et de la Recherche, avec pour mission d'établir et de promouvoir une politique en matière de documentation scientifique et technique.

#### L'expérience Pilote

A l'initiative de l'EDF, le projet ELDOC est à nouveau repris et un compromis est établi. Le principe d'une expérience pilote sur un domaine restreint est accepté et une convention de 18 mois est passée par le BNIST avec la société des électriciens, des électroniciens et des radioélectriciens (SEE) en décembre 1973. L'expérience pilote financée par les crédits du BNIST, sera limitée à l'électrotechnique et l'électronique associée et couvrira en volume 40 % du domaine.

En février 1974, l'EDF détache à la SEE M. Sentenac, adjoint au chef du service de documentation à la direction des études et recherches de l'EDF, qui sera le chef du projet ELDOC.

Après avoir fait le point, M. Sentenac prend contact avec les services de documentation des administrations et des sociétés préssenties dans l'étude de faisabilité. En juin 1974, ELDOC commence à être alimenté en signalements et un adjoint est engagé en la personne de M. Bouquet.

Un cahier des charges est établi par M. Sentenac et envoyé à plusieurs sociétés et organismes disposant de systèmes de documentation automatique opérationnels : le CNRS (Centre National de la Recherche Scientifique) l'EDF, Merlin-Gerin, la SAMM (Thomson-CSF), le CEDOCAR (Centre de Documentation des Armées), le CNET (Centre National d'Etudes des Télécommunications) le CEA (Commissariat à l'Énergie Atomique) et la GSI du groupe CGF

Un Comité Directeur présidé par M. Olivier-Martin et chargé de conseiller la SEE sur ELDOC, est créé à la SEE. Il regroupe des représentants d'utilisateurs potentiels de l'industrie et de l'Administration, ainsi que le CNRS et le BNIST.

Le CNRS est choisi pour effectuer tout le traitement. L'expérience pilote démarre avec le thésaurus « Thésée » de Merlin-Gérin qui présente cependant l'inconvénient de n'avoir jamais été expérimenté.

L'alimentation en signalements d'ELDOC s'avère satisfaisante. Toutefois, le CNRS étant amené à aménager sa chaîne de traitement, la mise en œuvre sera plus longue que prévu.

En mai 1975, le premier produit ELDOC est disponible : il s'agit du DSI (Diffusion Sélective de l'Information). Par l'intermédiaire de la Revue Générale de l'Electricité, le DSI est proposé gratuitement en juillet 1975, aux personnes intéressées. Près de 500 réponses sont reçues et les clients potentiels seront alimentés par des « profils DSI » jusqu'à la fin de l'année 1975, car la convention entre le BNIST et la SEE se trouve prolongée de quelques mois. La

Convention étant parvenue à son terme, M. Sentenac réintégrait l'EDF.

#### Vers un système définitif

Dès lors, l'avenir d'ELDOC est examiné; le système doit passer du stade expérimental au stade opérationnel. Les problèmes financiers apparaissent car le volume des signalements doit devenir important. Il est demandé au CNRS d'établir un devis sur le coût du traitement à partir du système mis en place au cours de l'expérience pilote. Le coût de ce premier devis semble élevé; le CNET est à son tour chargé d'établir un devis, mais les montants sont comparables.

Il faudra donc aboutir à un compromis. Afin que le CNRS puisse continuer le traitement sans modifier son propre système, « Thésée » sera abandonné.

#### LA DOCUMENTATION AUTOMATIQUE A L'ÉTRANGER

Il existe dans le monde de nombreux systèmes de documentation automatique en électrotechnique et en électronique, mais les produits sont différents.

En Grande-Bretagne, le système INSPEC géré par l'IEE (Société britannique des électriciens et électronicients), a été mis en place en 1971. Il ne résulte pas comme le système français d'une collaboration d'organismes.

Son domaine d'intérêt va de la physique à l'informatique en passant par l'électrotechhique et l'électronique. Il fournit des bulletins signalétiques généraux et également des bulletins signalétiques couvrant des domaines très étroits; il propose par ailleurs un service SDI. Un important accord de collaboration a été signé avec l'IEEE Américaine.

En Allemagne Fédérale, le système ZDE (Zentralstelle Dokumentation Electrotechnik) mis à l'étude en 1970 est opérationnel depuis 1973. Il est géré par la société allemande des électriciens VDE et couvre l'électrotechnique et l'électronique. Ce système est relié à INSPEC.

Aux USA, la situation est beaucoup plus confuse ; le système le plus utilisé est INSPEC de l'IEE.

ELDOC s'intégrera dans le système de documentation « PASCAL » du CNRS. Il est également décidé que les signalements seraient fournis gratuitement par les coopérants.

#### La phase commerciale

Les problèmes délicats du financement sont finalement résolus en juin 1976. Une nouvelle convention est passée avec la SEE, qui attribué un budget de 1 MF à ELDOC : le BNIST, fournissant 50 % de cette somme, le CNRS 25 %, l'EDF et le CNET 10,5 % chacun. Par ailleurs: l'EDF, le CNRS et le CNET fourniron gratuitement leurs signalements et le est décidé que l'exploitation commerciale ELDOC commencera au début de l'année 1977.

L'histoire d'ELDOC n'est pas encore achevée et bien qu'elle témoigne d'une volonté de rationnalisation de la documentation scientifique et technique dans un secteur d'activité partii culièrement encombré, elle aura a faire face aux nombreux aléas que caractérisent les grandes entreprises mettant en cause les Administrations et l'Industrie.

Le cadre neutre de la SEE, point de rencontre entre l'Administration, l'Initiatrie et la Recherche dans leque ELDOC a mûri et continuera d'exister et le garant pour ELDOC d'un carrière commerciale longue et dynamique.

D. HALPERN

Le Grand Prix de l'Électronique du Général Ferrié a été attribué à M. FERTIN

Le 16 novembre 1976, à l'invitation de M. Bernard Lafay, Président du Conseil de Paris, dans les Salons de l'Hôtel de Ville de Paris, le Grand prix de l'Electronique du Général Ferrié a été remis à M. Jacques Fertin, Chef du Laboratoire d'Études du Centre de Caen de RTC. La Radiotechnique Compelec.

On sait que cette distinction vient récompenser les travaux de jeunes chercheurs ayant contribué d'une manière importante aux progrès de la radioélectricité, de l'électronique et de

leurs applications.

Après les allocutions de M. Albert Listambert, Vice-Président du Conseil de Paris et de M. Maurice Bernard, Ingénieur Général des Télécommunications, c'est le Général Marty Président du Comité National Ferrié qui a remis le Prix à M. Jacques Fertin pour ses travaux sur les matériaux et composants optoélectroniques applicables aux dispositifs de visualisation et aux télécommunications optiques.

De nombreuses personnalités, parmi lesquelles M. Francis Perrin, assistaient à cette cérémonie placée sous divers patronages notamment ceux des Anciens de la Radio et de l'Electronique, de la Fédération Nationale des Anciens des Transmissions, du Groupement des Industries Electroniques, et de la Société des Electriciens, Electroniciens et Radioélectriciens.



#### **NOUVELLES INDUSTRIELLES**

**AEG-Telefunken** va licencier 1 150 personnes dans trois de ses usines allemandes.

Les laboratoires de Recherche de la **Bell** ont développé un nouveau câble enterré pour transmission téléphonique, spécialement étudié pour résister aux contraintes thermiques engendrées par la présence de canalisation de chauffage urbain. Ce câble résiste à des températures de 230 °C.

La firme américaine **Biomation** introduit sur le marché un analyseur de microprocesseurs à 8 bits permettant de suivre entre autres, le déroulement des programmes en temps réel.

Commodore Business Machines a présenté une nouvelle famille de calculatrices de poche haut de gamme dont une, la Navigator, est spécialement destinée à la navigation. Par ailleurs, la firme britannique espère développer ses ventes de montres félectroniques afin de réaliser 50 % de son chiffre d'affaires dans ce secteur, contre 5 % pour cette année.

La firme américaine **Dektor Counterin- Itelligence and Security** a présenté un poste déléphonique qui permet de détecter immédiatement les écoutes téléphoniques. Baptisé Croak », ce poste détecte en effet tout changement de caractéristique de lignes (postes branchés en parallèle, postes d'écoute, récepteurs d'écoute).

Finalement, **Digital Equipment Corp** ne construira pas une usine en France comme l'avait déjà été annoncé. Ce serait l'Administration française qui aurait conduit la firme américaine à renoncer à ce projet.

La firme américaine Electronics Memories and Magnetics a présenté une némoire vive statique MOS à canal N de I K bits, portant la référence 4 104 A ( 1 K nots de 4 bits, 200 ns) et compatible avec e microprocesseur 8080. Parallèlement, tille a chargé le distributeur français REA de a vente de ses produits en France.

Un accord de licence croisé a été signé intre les firmes américaines Electronic Vemories and Magnetics (EMM) et la livision Nitron de Mac Donnell Douglas. Vitron produira les mémoires vives statiques le EMM et cette dernière les circuits intégrés le Nitron.

Fairchild fabriquera en seconde source microprocesseur 6 800 de Motorola.

La Northern Telecom (CND) a signé vec le groupe GEC (G5) un accord selon si termes duquel la firme britannique se oit confier la production et la vente exclusive ur le marché du Royaume-Uni du Central śléphonique électronique privé temporel L 1 (100 à 7 000 lignes intérieures). L'appelons qu'un accord analogue concerant le SL 1 avait été récemment signé avec Régie suédoise des télécommunications.

La General Corporation (J) introduira ur le marché dès avril 1977, un système vidéo-disque. Produit à partir d'une cence acquise auprès de TED; cet appareil era proposé à un prix voisin de 500 \$. Par ailleurs, la pointe et le capteur seront fournis par TED; la durée de vie de cette pointe sera voisine de 80 heures. Le rythme de production sera de 1 000 appareils par mois. Rappelons que ce vidéo-disque présente une durée de reproduction de 10 mn environ.

General Instruments a introduit sur le marché un microprocesseur à 8 bits comprenant également un microprogramme sur mémoire morte (512 mots de 12 bits), une mémoire vive de 32 mots de 8 bits et trois canaux d'entrée-sortie. Présenté en boîtier plastique à 28 broches, ce dispositif est essentiellement destiné aux applications industrielles et « grand public ».

General Instruments et Sescosem ont signé un accord croisé de seconde source en matière de circuits intégrés complexes destinés aux postes téléphoniques à clavier. Cet accord concerne les circuits suivants : AY5-9 100 (nouvelle référence Sescosem SFF 19 100), AY5-9 200 (SFF 19 200), AY5-9 500 (SFF 29 450 (nouvelle référence General Instruments AY3 9450).

Harris Corporation va construire un nouvel ensemble de bureaux et de production de 18 000 m² à Dallas (USA). Cet ensemble doit permettre de faire face à l'expansion de la division « Data Communications ». Le montant des investissements atteint 5,125 M\$.

Les premiers produits conçus et réalisés dans l'usine **Hewlett-Packard** de Grenoble (F) ont été présentés; il s'agit de deux équipements terminaux de saisie de données en temps réel, modèles 3 070 A et 3 071 A.

Hewlett Packard a introduit une nouvelle génération d'ordinateurs de bureau baptisée « system 1 000 ».

Hewlett-Packard France va acquérir les anciens locaux de Tektronix France situés dans la zone industrielle d'Orsay près de ceux de Hewlett-Packard. Tektronix France s'est, en effet, installé dans des locaux plus vastes de cette zone industrielle.

Hitachi a introduit sur le marché un microordinateur à 8 bits baptisé HMCS-6 800 et construit autour du microprocesseur 6 800. Rappelons que Hitachi est seconde source du microprocesseur 6 800 de Motorola.

Hitachi a présenté un téléviseur couleur équipé d'un tube image de 56 cm de diagonale et à focalisation par le masque. Ce téléviseur est caractérisé par une luminosité accrue et une consommation électrique réduite (98 W au lieu de 150).

**Hughes Aircraft** sera seconde source du microprocesseur MOS Complémentaire à 8 bits CDP 1 802 de RCA.

**Intel** a présenté deux nouveaux micro-processeurs :

- le modèle 8 085 (version 5 Volts du 8 080),
- le modèle 8 748 (microprocesseur 8 bits à un seul boitier avec mémoire reprogrammable incorporée).

La firme japonaise **Kysto Ceramic,** spécialisée dans la fabrication de filtres céramiques pour le secteur grand public et les télécommunications, s'est lancée dans

la production de masse de quartz et de condensateurs ajustables pour montres numériques et de filtres à ondes de surface pour la télévision et les télécommunications. La cadence mensuelle de production atteint d'ores et déjà 0,5 M de puces pour les quartz et 1 M d'unités pour les condensateurs.

La division « Télécommunication Operations » de **Magnavox** Government and Industrial Electronics Co a présenté deux émetteurs-récepteurs en ondes métriques aéroportés : les modèles CA 657 (modulation d'amplitude) et CA 663 (modulations d'amplitude et de fréquence).

Marconi Space and Defence Systems a mis en service sa nouvelle usine de fabrication automatique de circuits imprimés pour applications militaires. Cette usine située à Hillend (GB) est destinée à satisfaire les besoins internes.

**Matsushita** a présenté un dispositif d'affichage à plasma de couleur verte, à matrice de points. La capacité de ce dispositif dont l'écran mesure  $100 \times 75$  mmn, est de 55 caractères.

L'usine de fabrication de téléviseurs couleur **Matsushita** marque commerciale : (National Panasonic) située près de Cardifi (GB) va recruter 120 personnes à la fin du mois de décembre, dès que la phase expérimentale de production sera achevée.

Matsushita Electronics Corporation a développé un senseur optique autobalayé comportant  $64 \times 64$  points photosensibles. Ce dispositif est destiné à équiper les systèmes de lecture optique.

Motorola introduira au cours du deuxième trimestre de 1977 un nouveau microprocesseur à 8 bits qui portera la référence MC 6 802. Dérivé du modèle 6 800, ce dispositif comportera en outre sur la même puce de semiconducteur une mémoire vive de 128 mots, le circuit horloge et les circuits de commande. Le modèle 6 802 acceptera le logiciel du 6 800 et sera présenté en boîtier DIL à 40 broches.

Nevin Electric Holding (GB) membre du groupe britannique Nevin, construira d'ici à cinq ans, deux usines de fabrication de circuits imprimés. Rappelons que Nevin produit non seulement des circuits imprimés, mais également des systèmes de télévision en circuit fermé.

Philips a réalisé un dispositif à transfert de charges destiné à supprimer les imagesfantômes qui apparaissent sur les téléviseurs et qui sont dues aux réflexions multiples des ondes. Ce produit ne sera pas commercialisé avant un an.

En raison de la forte concurrence, la firme espagnole, **Piher** a décidé de fermer son usine de fabrication de résistances à couches de carbone implantée depuis 2 ans aux USA.

Plessey et la Sescosem (Thomson CSF) ont signé un accord de normalisation en matière de filtres à ondes de surface. Selon les termes de cet accord les deux firmes offriront la même gamme de filtres à ondes de surface destinés aux téléviseurs

Sharp Corporation (J), aura investi au cours de l'année fiscale 1976 qui s'achè vera en mars 1977, près de 50 M\$ (+ 100 %) dans l'extension de ses moyens de production. La ventilation par secteurs de cette somme est la suivante :

- 6.7 M\$ pour les matériels basse fréquence.
  - 6,7 M\$ pour la télévision en couleur,
  - 14 M\$ pour les semi-conducteurs,4 M\$ pour l'électro-ménager,

- 4,3 M\$ pour l'équipement industriel.

**Siemens** procède actuellement à des réductions de personnel dans sa branche équipements téléphoniques.

**Siemens** envisage de licencier 1 050 personnes dans ses filiales belges.

Les ingénieurs du laboratoire de recherches de **Siemens** ont réalisé une mémoire vive possédant la densité de mémorisation des mémoires à couplage de charges tout en conservant les avantages de l'accès aléatoire. Cette mémoire a une capacité de 32 K mots et un temps de cycle complet écriture-lecture de 1 µs.

**Siemens** a présenté un nouveau système informatique de la série 7 000 (anciennement Unidata), modèle 7 760 ( 2M octets; compatible avec le 7 750 et 7 755 du même constructeur).

9 000 personnes sur un total de 11 000 vont être touchées en Allemagne par les mesures de chômage à temps partiel prises par la Direction de **Siemens** dans la branche matériel Electro-médical. Par ailleurs, 5 000 personnes de la branche informatique et télécommunications seraient également affectées par des mesures analogues.

**Siemens** a introduit sur le marché une nouvelle imprimante à laser, dont la référence est 3 352 (70 000 car/s).

La SIT-Siemens (I) et la firme américaine Hazeltine ont réalisé un système IFF pour forces navales. Cet équipement qui a fait l'objet d'un premier contrat de 1 000 M Lires de la part de la Marine italienne, sera exporté par le groupe italien Italtel.

L'usine de fabrication de câbles à fibres optiques de la **Standard Câbles and Telephones**, filiale britannique d'ITT, a été officiellement inaugurée à Harlow (GB). Elle a une superficie de 37 000 m² et produit des fibres en silice.

La première usine de production de cassettes magnétiques de Hong-Kong a été mise en service. Cette usine, qui appartient à la **Swire Magnetics Ltd**, filiale commune de la Swire Pacific Ltd (Hong-Kong), et Intermagnetics Corporation (USA), aura une capacité de production de 40 M de cassettes par an.

Tandberg Radiofabrikk (N) négocie actuellement avec l'URSS la vente d'une usine de fabrication de magnétophones, dont la capacité annuelle de production sera de 0,4 M d'unités.

Tektronix a présenté un nouveau système de test pour ensembles de mémoire spécialement destiné à être utilisé en production. Pouvant comporter jusqu'à 16 postes de travail et construit autour d'un ordinateur PDP 11, ce système qui porte la référence S 3 455, coûte 130 000 \$ avec un seul poste de travail.

**Tektronix** a introduit sur le marché un système automatique de test pour dispositifs à semiconducteurs. Baptisé S 3 455, cet équipement est essentiellement destiné à l'essai de puces mémoires.

Texas Instruments doit faire son entrée très prochainement, sur le marché des indicateurs numériques de tableau avec un dispositif à 3 chiffres utilisant la technologie 12L (logique par injection de courant).

**Thomson-CSF** négocie actuellement auprès de la Northern Telecom l'acquisition d'une licence de fabrication des centraux téléphoniques privés SL1 et des postes téléphoniques à clavier Contempra.

Wandel and Goltermann Instruments, filiale américaine de la firme ouest-allemande, a commencé la production aux USA de certains appareils de mesure.

En raison de la concurrence japonaise, Westinghouse a décidé de cesser la fabrication de tubes images couleur dans son usine de New York qui emploie 1 200 personnes. La firme américaine pourrait également décider de vendre cette usine.

Harris Corporation et la firme américaine QEI Inc. ont conclu un accord de licence autorisant QEI à produire et à commercialiser les produits de la division « Communications Radio-fréquences » de Harris.

#### **NOUVELLES COMMERCIALES**

La firme américaine **Applied Devices Corporation** (APC) a obtenu un contrat d'un montant de 2,4 M\$ de l'Armée américaine pour la fourniture de simulateurs de missiles Hawk. Un contrat analogue avait été passé avec APC en janvier dernier.

Un nouveau central téléphonique électronique à commutation temporelle du type E 10 a été mis en service à Lannion (F). Installé sous la maîtrise d'œuvre de l'AOIP, ce central a une capacité de 3 000 données.

Câble and Wireless fournira à la Compagnie de lignes aériennes de Hong-Kong, la Cathay Pacific Airways, un système automatisé d'embarquement pour passagers et pour frêt, baptisé Lopac. Cet équipement sera installé à l'aéroport de Hong-Kong, et coûtera environ 4,5 M\$ de Hong Kong. Rappelons que trois systèmes Lopac sont déjà opérationnels dans les aéroports de Londres, d'Amsterdam et de Dubaï.

Cable and Wireless Ltd (GB) fournira au Nigéria un central télex automatique pour un montant de 2 M\$. Ce contrat prévoit également la maintenance du système. Ces centraux seront fabriqués par la Frederick Electronics Corporation (USA).

La Metropolitan Atlanta Rapid Transit Authority a attribué un contrat d'un montant de 2,1 M\$ à la Computer Sciences Corporations (USA) pour la fourniture et l'installation de systèmes de radiocommunications pour le réseau de chemins de fer. Rappelons qu'un contrat analogue d'un montant de 6,7 M\$ avait été signé entre les deux sociétés pour la fourniture d'un réseau téléphonique privé.

Control Data a été autorisé par le Gouvernement américain à exporter vers la Chine populaire 2 systèmes informatiques Cyber 172, qui seront destinés à la recherche en géophysique. Le montant du contrat atteint 2 M\$.

L'Armée américaine a attribué un contrat d'un montant de 2,3 M\$ à Control Data Corp pour la fourniture d'un système d'affichage interactif de données. Ce système est composé d'un dispositif d'affichage à plasma de 1 m² présentent en sur-impression sur une carte, des données relatives au champ de bataille.

Cossor Electronics (GB) fournira à Il Marine Royale britannique 40 système IFF modèle 800 pour un montant de 0,5 M£ La fourniture des antennes n'est pas inclusedans le contrat.

La firme japonaise **Cybernet Electronic**: **Corporation** fournira à la General Motor des combinés autoradio-émetteur-récepteu (Citizen Band Radio), qui équiperont les automobiles de la firme américaine.

La firme japonaise **Cybernet Electronic: Corporation** fournira des émetteurs-récept teurs grand public OEM (« OEM Citizes Band transcievers) à RCA et à la General Electric Corporation. A partir de janviet prochain Cybernet livrera à ces firmes ut total de 250 000 appareils par mois. Rapper lons que le marché américain de ces équiper ments est estimé à 13 M d'unités pour 1972.

Datasaab (S) fournira par l'intermédiaire de son représentant en France Schlumberge 26 terminaux bancaires D5 et 7 unités de contrôle au Crédit Agricole du Loir et Chepour un montant de 2,5 MF.

En Grande-Bretagne, **Fairchild** enregistr. trois commandes de systèmes de test pou mémoires de grande capacité et circuit intégrés complexes, pour un montant tota supérieur à 0,5 M£. La firme américain fournira à ICL et à ITT Semiconductor ut système de test pour mémoire modèl Xincom III et un système pour circuit intégrés complexes Sentry VII à ICL.

La Federal Electric International filiale de la Federal Electric Corporation du groupe ITT a reçu de l'Armée Américain un contrat d'un montant de 2,9 M\$ pou l'étalonnage des équipements électronique dont disposent les troupes américaines es Europe.

La General Electric Corporation obtenu un contrat supplémentaire d'a montant de 6 M\$ pour le développement du système d'exploitation du satellite a télédiffusion que la division Spatiale de l'firme américaine est en train de construit pour le Japon.

GTE Telecommunicazioni, filiale italienni du groupe GTE, fournira à la Républiqui d'Irlande l'un des faisceaux hertziens nume riques destinés à transmettre des programme de télévision. Le montant du contrat attei 3,5 M\$. Par ailleurs, GTE Lenkurt (CNU fournira le système automatisé de surveillanc de ce réseau.

GTE-Sylvania a livré à la Fédér Aviation Administration des USA un systèm mobile de poursuite optique par las d'aéronefs permettant une analyse précis des performances d'un avion durant so vol. Ce système baptisé PATS (Precision Automated Tracking System) utilise u ordinateur en temps réel, l'aéronef do on veut étudier les performances est équip d'un réflecteur laser; la portée du PAT est de 40 km.

Hitachi Koki et Nissei Sangy, filiale japonaises d'**Hitachi**, fourniront à Centronie (USA) des sous-ensembles qui sero incorporés dans les imprimantes de la firm américaine.

Hitachi fournira à la République Populaire de Chine 3 ordinateurs de forte puissane HITAC, deux M 160 II et un M 170 ain que divers équipements de transmissid associées qui seront utilisés en météorologil C'est la première commande d'ordinateu, japonais de forte puissance passée par Chine Populaire. Le montant du contratteint 8,6 M\$.

La branche japonaise de ICC Far East Inc, filiale de l'International Communications Corporation du groupe américain Milgo Electronic Corp. a été autorisée par le Ministère Japonais du Commerce International et de l'Industrie à étendre ses activités au Japon. ICC est maintenant autorisée à vendre, louer, assurer la location-vente des équipements et à vendre ses services en matière de transmission de données.

Intel fournira plusieurs milliers de microprocesseurs à 4 bits, modèle 4 040 au constructeur britannique de « Juke Boxes » Music Hire. Le montant et le volume de la commande ne sont pas connus.

La division Produits Electro Optiques d'ITT fournira à l'Armée Américaine des lunettes pour vision nocturne pour un montant de 44,6 M\$

La division Aérospatiale et Optique d'ITT fournira au Ministère des transports et au Département de la Défense Canadiens, des équipements radio destinés au contrôle de la navigation aérienne, pour un montant de 3,2 M\$.

ITT Semiconductor (GB) fournira au constructeur britannique de sous-ensembles pour machines à laver Servis ICC, des microprocesseurs spéciaux modèle 7 150, qui seront incorporés dans des programmateurs électroniques. Le circuit 7 150 est un microprocesseur comportant une mémoire morte de 2 K bits; le contenu de cette mémoire détermine le type d'application. Le montant du contrat est de 135 000 £

La firme américaine Kaiser Aerospace and Electronics Corporation s'est vue attribuer un contrat d'un montant de 2 M\$ pour l'étude, le développement et la fourniture de 11 viseurs « tête haute » qui équiperont l'avion de combat américain F 18 construit par Mac Donnell Douglas.

LMT fournira à la société mexicaine des Télécommunications Telmex, huit équipements de taxation téléphonique centralisée modèle ETC 10 N.

LMT fournira au groupe polonais UNI-TRA, 180 000 condensateurs pour un montant de 1 MF.

LM Ericsson fournra à l'Administration des télécommunications de Thailande, 47 centraux téléphoniques.

Panavia, firme européenne responsable du développement et de l'avion de combat multi-rôle Tornado, a attribué à Marconi un contrat de plusieurs M£ pour la fourniture de systèmes de test automatiques.

La société nationale des pétroles et gaz d'Algérie, la Sonatrach, a commandé auprès de Marconi Communication pour 0,31 M£ d'équipements de télécommunications. Ce contrat prévoit la fourniture de 5 émetteurs H 1 000 (1 kW; 1,5-27,5 MHz); 8 radio-récepteurs Eddystone EC 958/12, et 4 équipements terminaux H 5 516 Lincompex.

Marconi Communication Systems fournira au Post Office britannique pour 1 M£ d'équipements de transmission MIC. Cette commande porte à 21 M£ le montant total des ventes réalisées par Marconi pour ce type de matériel.

Deux contrats d'un montant total de 55 M\$ ont été attribués par l'Agence Spaiale Européenne à MBB (D Fédérale) en ant que contractant principal du consortium de firmes européennes COSMOS. Ces contrats concernent le programme du satellite EXOSAT.

La Northern Telecom (CND) va fournir 75 000 postes téléphoniques à clavier Contempra, aux PTT françaises.

Oki Electric Industries (J), du groupe Mitsubishi fournira à la Compagnie des téléphones de Bolivie un central téléphonique crossbar de 10 000 lignes et divers autres centraux de petite capacité totalisant 16 000 lignes. Le montant du contrat atteint 5,5 M\$. Rappelons qu'Oki est un important fournisseur de centraux téléphoniques pour la Bolivie depuis 1966.

Olivetti fournira aux Banques Populaires d'Allemagne Fédérale, des terminaux bancaires pour un montant de 60 M de DM. Ces équipements sont destinés à être installés dans 1 300 succursales.

Olivetti fournira 600 terminaux de guichet modèle TC 349 BI aux PTT de la Nouvelle-Zélande.

La division « Nawaids » de Plessey (GB) fournira à la Roumanie un système d'atterissage aux instruments ILS modèle Plan 17/18, qui sera installé à Bucarest. Le montant du contrat atteint 0,15 M£.

Le Post Office britannique a été chargé par la Libye de la conception d'une liaison de télécommunication à forte capacité destinée à relier Tripoli à Benghazi. Ce projet, d'un montant de 0,65 M£, prévoit la mise en place d'un câble sous-marin.

Pye TMC, filiale britannique de Philips, fournira aux PTT d'Angola, un faisceau hertzien pour un montant de 0,35 M£. Les diverses branches de ce faisceau auront des capacités de 300, 120 et 24 canaux. Cette commande fait suite à un contrat analogue d'un montant de 4,5 M£ passé par les PTT d'Angola au printemps dernier.

Racal Antennas Ltd fournira à la Marine Française des antennes unipolaires modèle AE 3062, destinées à équiper les stations côtières. Le montant du contrat atteint 0,16 M£.

Racal-Milgo fournira à la compagnie pétrolière ARAMCO (Arabian American Oil Company) des équipements de transmission destinés à être associés à un système de commutation de messages Collins C 900/120. Le contrat d'un montant de 50 000 £ prévoit la livraison de multiplex temporels T 20, de models 4700/48, d'ensembles de test 220 et 340 etc. L'ensemble du système doit entrer en service au cours du premier semestre

L'US Air Force a attribué un contrat d'un montant de 16,83 M\$ à Raytheon pour le développement d'une famille de 3 équipements terminaux numériques transmissions à 64 canaux.

RCA Ltd (CND) a obtenu un contrat d'un montant de 4 M\$ de la SPAR Aerospace Products Ltd pour la fourniture du système électronique de télécommande de la Navette orbitale de la NASA.

Rockwell a obtenu un contrat d'un montant de 8,1 M\$ de la US Navy, pour la fourniture de l'ensemble surveillance du système de navigation, qui équipera les sous-marins américains du type Trident.

Schlumberger (F) fournira aux PTT françaises 6 bancs de mesure automatique sélectifs pour systèmes à courants porteurs à 100 MHz. Le montant de la commande atteint 1.6 MF.

Systems Engineering Laboratories fournira 17 systèmes SEL 32/55 à la NASA.

Tektronix fournira à Motorola Grande-Bretagne, un système de test pour circuits intégrés complexes, modèle S 3 263, pour un montant de 0,35 M\$.

Telletra (I) a installé un câble coaxial de transmission expérimental de 25 km de long dans la région de Milan (60 MHz, 10 800 voies).

Telspace, groupement d'intérêt écono-Thomson-CSF et la CGE, mique entre fournira une station terrienne de télécommunications par satellite à la République du Tchad. Equipée d'une antenne de 14,10 m de diamètre, cette station entrera en service en 1978. Cette commande porte à 32 le nombre des stations terriennes Telspace actuellement en service ou en cours d'instal-

Thomson-CSF procède actuellement à la mise en service du réseau national de télécommunications en ondes décamétriques au Tchad. Le montant du contrat atteint 20 MF

TRT fournira à la compagnie aérienne danoise Sterling Airways, 17 avertisseurs de proximité du sol TRT modèle APS 500.

Varian Associates s'est vue attribuer un contrat d'un montant de 1,15 M\$ de l'Union Carbide Corporation pour le développement d'un klystron spécial (200 kW continus, 28 GHz) destiné au chauffage de plasma dans le réacteur de fusion thermonucléaire du Laboratoire National de Oak Ridge.

Pour la première fois, l'Administration des Services du Gouvernement des Etats-Unis a accordé un contrat pour l'installation d'un central téléphonique privé (PBX) à une société ne faisant pas partie des Compagnies de téléphone. Il s'agit de la firme californienne Master Communications Inc, s'est vue attribuer un contrat de 0,8 M\$ sur 10 ans, pour la fourniture, l'installation et l'entretien d'un central dans un hôpital.

#### **NOUVELLES FINANCIÈRES**

Les deux firmes américaines spécialisées dans le domaine des dispositifs et systèmes à semiconducteurs Advanced Memory Systems Inc et Intersil Inc. ont fusionné. Cette fusion s'est effectuée par parité d'actions. Le chiffre d'affaires provisoire de l'ensemble de ces deux sociétés pour l'exercice fiscal clos au 26 septembre 1976 est de 72,926 M\$ et le bénéfice net de 2 718 M\$.

Au cours des 9 premiers mois de l'année 1976, L'American Telephone a réalisé un chiffre d'affaires de 24 106,1 M\$ (+ 14 %) et un bénéfice net de 2 783,3 M\$ (+ 23 %).

Au cours des mois de juin, juillet et août, l'American Telephone and Telegraph a réalisé un chiffre d'affaires de 8 309,2 M\$ (+ 14 %) et un bénéfice net de 1 012,4 M\$ 25 %). Les bénéfices de la filiale Western Electric pour la même période ont atteint 57,6 M\$ (+ 107,9 %). En dépit de l'amélioration sensible des résultats le nombre des personnes employées par le groupe n'a cessé de diminuer, pour passer en un an de 0,958 M à 0,93 M.

La firme américaine Wescom Inc. a pris le contrôle de la société Antel Corporation spécialisée dans la fabrication de systèmed'identification automatique de numéro d'appel. Wescom a également pris le contrôle du Ram Group Inc (cf cette rubrique Ram Group).

La Bell Canada maison mère de la Northern Telecom, a demandé l'autorisation du Gouvernement fédéral américain pour la vente publique de 3,5 M d'actions préférentielles représentant un montant de 70 M\$.

La Bell Canada, maison mère de la Northern Telecom, a crée une nouvelle filiale à Toronto, la B-N Software Research Inc. qui sera spécialisée dans la mise au point de logiciels pour centraux téléphoniques électroniques.

Au cours des 9 premiers mois de l'année 1976, Burroughs a réalisé un chiffre d'affaires de 1 312,8 M\$ (+ 14 %) et un bénéfice net de 103,9 M\$ (+ 9 %).

Chomerics Europe (Paris), filiale française de Chomerics Inc (USA), a mis fin à ses activités.

Au cours des 9 premiers mois de l'année 1976, la CIT-Alcatel du groupe CGE a réalisé un chiffre d'affaires hors taxes de 1 653 MF (+22,2%).

Au cours de l'exercice fiscal clos au 30 juin 1976, Computer Automation a réalisé un chiffre d'affaires de 30,098 M\$ (+ 42 %) et un bénéfice net de 3,098 M\$ (+161%).

Au cours des 9 premiers mois de l'année 1976, Comtech Laboratories Inc. a réalisé un chiffre d'affaires de 17 M\$ (+ 113 %) et un bénéfice net de 1,799 M\$ (+214%).

Au cours des 9 premiers mois de l'année 1976, Control Data Corp. a réalisé un chiffre d'affaires de 953,2 M\$ (+ 9 %) et un bénéfice net de 36,1 M\$ (+ 24 %).

Singer (F) a absorbé la Société Controls France S.A. A la suite de cette opération le capital de la Société absorbante est porté à 78,6 MF Les deux sociétés appartiennent au groupe Singer Co (USA).

Les termes de l'accord de principe pour la fusion de la Cook Electric (USA) et la Northern Telecom (CND) ont été réétudiés et un nouvel accord a été établi. (cf. OE aoûtseptembre, p. 386, 3° col.).

La firme américaine Data Transmission Co. (Datran) a été déclarée en faillite. Rappelons que Datran avait engagé une procédure contre l'American Telephone and Telegraph en réclamant 285 M\$ de dômmages et intérêts, pour l'avoir écarté illégalement des marchés de la transmission de données et de la transmission numérique.

Au cours de l'exercice fiscal clos au mois de mars 1976, le groupe britannique **DECCA** a réalisé un chiffre d'affaires consolidé de 170 M£ dont 49,1 à l'exportation et un bénéfice net avant taxes de 13,595 M£ (+2,3%).

La Metal Industries Ltd filiale de Thorn Electrical a acquis la division « Equipements » de la société néerlandaise Diode BV appartenant au groupe américain International Rectifier Corporation. A la suite de cette opération le groupe britannique a créé une filiale aux Pays-Bas : la Thorn Automation BV.

Un accord de principe est intervenu entre NCR et E-Systems pour le rachat par cette dernière de Electronic Communications Inc, filiale à 100 % de NCR.

Au cours des 9 premiers mois de l'année 1976, la **General Electric** a réalisé un chiffre d'affaires de 10 452,6 M\$ (+ 9 %) et un bénéfice net de 501 M\$ (+ 39 %).

Copal Electronics (J) a acquis 80 % du capital de Gotemba Seisakusko (J) qui fabrique des équipements périphériques pour ordinateur et notamment des imprimantes à aiguilles.

Au cours des 9 premiers mois de l'année 1976, le groupe Gould Inc a réalisé un chiffre d'affaires de 862,6 M\$ (+ 60 %) et un bénéfice net de 44,6 M\$ (+ 59 %).

Le capital de Grundig Electronique (F) a été porté de 30 à 35 MF.

Au cours des 9 premiers mois de l'année 1976, **GTE** a réalisé un chiffre d'affaires de 4 901,3 M\$ (+ 14 %) et un bénéfice net de 308,4 M\$ (+ 16 %).

Au cours des 9 premiers mois de l'année 1976, Hewlett-Packard a réalisé un chiffre d'affaires de 792,9 M\$ (+ 12 %) et un bénéfice net de 57,3 M\$ (-9 %).

Au cours de l'année fiscale 1975 close au 31 mars 1976, Hitachi a réalisé un chiffre d'affaires de 1 802,000 M de yens soit 6 005 M\$ (0 %) et un bénéfice net de 41 000 M de yens soit 37 M\$ (+ 17 %). La progression a été surtout sensible dans la section de l'électronique et de l'électroménager, tandis que, les ventes d'équipements lourds accusaient un net recul en raison de la baisse des investissements.

Au cours des 9 premiers mois de l'année 1976, **Honeywell** a réalisé un chiffre d'affaires de 1 789,9 M\$ (+ 8 %) et un bénéfice net de 65,3 M\$ (+ 50 %).

Au cours des 9 premiers mois de l'année 1976 IBM a réalisé un chiffre d'affaires de 11 785,6 M\$ (+ 14 %) et un bénéfice net de 1 724,1 M\$ (+ 23 %).

Au cours du 3e trimestre de l'année 1976, l'ITT Corporation a réalisé un chiffre d'affaires consolidé de 2 700 M\$ (0 %) et un bénéfice net de 106,8 % (+ 30,3 %). Pour les neuf premiers mois de l'année le chiffre d'affaires consolidé atteint donc 8 300 M\$ (+ 1,2 %) et le bénéfice consolidé avant éléments exceptionnels 337,8 M\$ (+ 17, 3 %). Ces chiffres d'affaires n'incluent pas les primes d'assurances et les revenus financiers encaissés.

La Standard Electric Lorenz, filiale allemande d'ITT, a pris la direction d'ITT Hellas (Grèce). Cette dernière change de nom et s'appelle Standard Electric Hellas (SEH). La filiale grèque fondée en 1968, emploie 500 personnes et est spécialisée dans la fabrication d'équipements téléphoniques et de composants; son chiffre d'affaires atteint environ 35 MF.

Au cours du 3e trimestre 1976, ITT Océanic (radiorécepteurs, téléviseurs) a réalisé un chiffre d'affaires de 93,4 MF (+31%).

A la suite d'une redistribution du capital par AEG-Telefunken Kraftwerk Union est devenu filiale à 100 % de Siemens. Le capital de Kraftwerk était précédemment détenu a égalité par EAG Telefunken et et Siemens.

Instruments SA (F) et la Compagnie Générale de Radiologie (F, groupe Thomson) ont pris des participations respectives de 53 et de 34 % dans le capital de la société d'instrumentation française Leanord, Rappelons que le chiffre d'affaires de Leanord devrait atteindre 13 MF pour 1976, et que ces prises de participations s'inscrivent dans le cadre de la restructuration de l'instrumentation française.

Au cours des 9 premiers mois de l'année 1976, Lear Siegler a réalisé un chiffre d'affaire de 536,8 M\$ (+14%) et un bénéfice net de 21,7 M\$ (+46%).

Au cours des mois de juin, juillet et août, le groupe Matsushita a réalisé un chiffre d'affaires de 422 757 M de Yens (1 492 M\$. + 30 %) et un bénéfice net de 16 928 M de yens (54,6 M\$, + 140 %).

Au cours du premier semestre de l'exercices fiscal 1976 qui a commencé en novembre 1975, Matsushita Electric Industries at réalisé un chiffre d'affaires de 2 057 M\$ (23,6 %) La ventilation du chiffre d'affaires en pourcentage est la suivante :

- équipements radio : 45,8 %.
- électro ménager : 35,7 %,
- piles : 4,8 %, éclairage : 3,9 %.

Au cours de l'exercice fiscal clos le 2 octobre 1976, Microwave Associates aurait réalisé d'après son Président un chiffre d'affaires provisoire de 60 M\$ (+ 10 %), et le bénéfice net se serai accru de 30-35 %. La ventilation du chiffre d'affaires serait la suivante :

- 33 M\$ pour les marchés commerciau» (+30%)
- 21 M\$ en télécommunications et em radiodiffusion.

La Nippon Electric Company (J) a installe à Singapour une filiale de production et de vente de composants électroniques. Cette filiale qui porte le nom de NEC Singapore et dispose d'un capital de 0,25 M\$ produira d'abord des indicateurs alphanumériques fluorescents.

Au cours du 3e trimestre 1976, la North American Philips a réalisé un chiffre d'affaires de 426,3 M\$ (+ 21 %) et un bénéfice net de 13,3 M\$ (+ 61 %).

Au cours des 6 premiers mois de 1976 la **Northern Telecom** (CND) a réalist un chiffre d'affaires de 581,7 M\$ (+ 6,5 %) et un bénéfice net de 42,8 M\$ (+ 17,3 %)

Au cours du 3e trimestre de 1976, Plessey a réalisé un chiffre d'affaires de 137,9 M° (+28~%) et un bénéfice avant impôt de 8,1 M£ (+19,2~%).

Au cours des 6 premiers mois de 1976 Premier Microware Coporation a réalis un chiffre d'affaires de 1 239 600 MI (+87%).

Pye Holdings, filiale britannique de Philips, a enregistré au cours du premie semestre de 1976 un bénéfice net de 571 000 € (-- 69,8 %).

Wescom Inc a racheté le Ram Groui Inc., firme américaine spécialisée dans ! fabrication de systèmes de supervision e d'acquisition de données dont les produit seront désormais commercialisés sous II marque Wescom-Ram Inc.

Au cours des 9 premiers mois de l'anné 1976, **Raytheon** a réalisé un chiffr d'affaires de 1 775,4 M\$ (+ 8 %) et un bénéfice net de 64 M\$ (+ 18 %).

Au cours du premier semestre de 1976 Raytheon Company a réalisé un chiffn d'affaires de 117,167 M\$ et un bénéfice ne de 40,9 M\$.

Au cours des 9 premiers mois de l'année 1976, **RCA** a réalisé un chiffre d'affaires de 3 906 M\$ (+ 13 %) et un bénéfice ne de 121,4 M\$ (+ 58 %).

Au cours du premier semestre de 1974 RCA Corporation a réalisé un chiffid'affaires de 2 250 M\$ (+ 15 %) et ubénéfice net de 88 M\$ (+ 100.9-%).

Au cours des 9 premiers mois de l'annéi 1976, le groupe Reliance Electric

réalisé un chiffre d'affaires de 493,3 M\$ (+ 1 %) et un bénéfice net de 31,3 M\$ (+20%).

Au cours de l'exercice fiscal clos au 31 mars 1976, RHG Electronics Laboratory Inc. (USA) a réalisé un chiffre d'affaires de 2,617 M\$ (+5%) et un bénéfice net de 0,183 M\$ (+11%).

Au cours des neufs premiers mois de l'année 1976, la Sagem a réalisé un chiffre d'affaires de 569,931 MF (+ 11 %) dont :

220,699 M pour l'activité navigation, guidage, pilotage (+ 16,9 %).

- 201,27 M pour l'activité téléinforma-

(-2.4 %)

- 147,962 M pour l'activité équipements industriels et divers (+ 25 %).

Au cours de l'exercice fiscal clos au 30 juillet 1976, Sanders Associates Inc. (USA) a réalisé un chiffre d'affaires de 198,3 M\$ (+ 10 %) et un bénéfice net de 5,7 M\$ (-61,7 %).

Au cours de la période de six mois achevée à la fin de mai 1976, Sanyo Electric a réalisé un chiffre d'affaires de 208 500 M de yens soit 685 M\$ (+ 26,4 %) et un bénéfice net de 4 100 M de yens soit 13,7 M\$ (+ 52 %). La ventilation des résultats est la suivante :

électronique « grand public » : 118 800 m yens (396 M\$)

électroménager: 60 500 M yens (201,7 M\$).

équipement électrique industriel: 5 800 M yens (19,33 M\$),

- équipement gazier et pétrolier : 6 600 M yens (22 M\$), - divers: 6 700 M yens (22,3 M\$).

Le montant des exportations a atteint 102 165 M yens soit 340,55 M\$ (+ 84,3 %)

Pour l'exercice fiscal qui s'est achevé à la fin de mois de novembre dernier la firme japonaise aurait réalisé un chiffre d'affaires de 448,500 M yens, soit 1 495 M\$ (+ 28,1 %) et un bénéfice net de 8 800 M yens soit 29,33 M\$ (+ 52,2 %).

Au cours de l'exercice fical clos au 30 juin 1976, Scientific Atlanta Inc a réalisé un chiffre d'affaires de 45,3 M\$ (+ 27 %) et un bénéfice net de 2,02 M\$ (+ 61,6 %).

Au cours de l'exercice fiscal clos au 30 septembre 1976, la branche Activités Informatiques de Siemens a réalisé un chiffre d'affaires de 1 150 M de DM (+10%).

Le capital de SGS-ATES France a été porté de 13 à 18 MF.

La Société de Développement Téléphonique SA vient d'être constituée à Paris par le groupe Thomson CSF. Son capital est de 100 000 F.

La firme américaine General Cable qui détient déjà 18 % des actions de Sprague Electric pourrait racheter cette dernière. Rappelons que Sprague qui a connu en 1975 de graves difficultés (10,3 M\$ de pertes), poursuit son redressement et a enregistré pour les 9 premiers mois de l'année 1976 un chiffre d'affaires de 146 M\$ et un bénéfice net de 5,8 M\$.

Les négociations engagées pour l'achat de la Superior Continental Corporation, filiale de la Continental Telephone Corporation, par l'AVX Corporation ont cessé d'un commun accord entre les deux parties. Pour le moment, AVX ne prendra pas le contrôle de la Superior Continental (cf OE Août Septembre p. 388, 1re col.).

Raytheon s'apprête à racheter le fabricant américain de composants passifs mécaniques

Switchcraft (25 M\$ de chiffre d'affaires en 1976).

La firme japonaise Systek Corporation qui occupait l'une des premières places parmi les sociétés japonaises exportatrices de calculatrices de poche, a été déclarée faillite. Elle avait réalisé un chiffre d'affaires de 100 M\$ au cours du dernier exercice fiscal et n'aura pas pu résister à la concurrence des firmes implantées à Taïwan et à Hong-Kong.

Au cours de l'exercice fiscal clos au 31 mars 1976, Teleglobe Canada a réalisé un chiffre d'affaires de 65,862 M\$ (+ 18 %) et un bénéfice net de 13,065 M\$ (+ 21 %).

Au cours des 9 premiers mois de l'année 1976, le conglomerat **Teledyne** a réalisé un chiffre d'affaires de 1 422,8 M\$ (+ 10 %) et un bénéfice net de 99,5 M\$ (+ 41 %).

Au cours des neufs premiers mois de l'année, la **Télémécanique Électrique** a réalisé un chiffre d'affaires hors activité informatique de 831,299 MF (+ 20,7 %).

Au cours du premier semestre 1976, **Texas Instruments** a réalisé un chiffre d'affaires de 761,6 M\$ (+ 15 %) et un bénéfice net de 43,9 M\$ (+ 73 %).

Au cours des 9 premiers mois de l'année 1976, **Thomson-Brandt** a réalisé un chiffre d'affaires hors taxes de 10 373 MF (+ 21 %). La ventilation de ce résultat qui n'incorpore pas l'activité commutation téléphonique récemment acquise et la branche mini-informatique, est la suivante :

secteur « grand public » : 2 810 MF (+29.1%).

- secteur électro-industries : 793 MF (+23,3%),

- secteur électronique professionnelle : 4 075 MF (+ 17.4 %).

secteur médical : 1 224 MF (+15,4 %),
 secteur éclairage : 573 MF (+16,2 %),

- divers: 898 MF (+ 23 %)

Au cours des 9 premiers mois de l'année, Thomson-CSF a réalisé un chiffre d'affaires consolidé hors taxes de 4 267 MF (+ 17,8 %). Ce résultat n'incorpore pas la branche commutation téléphonique.

D'ici à 1978, Toshiba espère doubler les ventes de sa division « Communications Électriques ». Rappelons que cette division produit des télécopieurs, des émetteursrécepteurs, des systèmes de traitement de données, des équipements de télécommunications par courants porteurs, des ensembles pour télécommunications par satellite et des systèmes de télévision industrielle. Cette division réalise actuellement un chiffre d'affaires mensuel moyen de 10 000 M de yens (30 M\$).

Au cours des 9 premiers mois de l'année 1976, TRW a réalisé un chiffre d'affaires de 2 174,5 M\$ (+ 14 %) et un bénéfice net de 96,7 M\$ (+ 33 %).

La firme américaine United Technologies a introduit ses titres dans les bourses de Francfort, Londres, Zurich et Bâle. Les titres de cette société qui étaient déjà côtés à Bruxelles et à Amsterdam seront prochainement proposés à la bourse de Paris.

Au cours des 9 premiers mois de l'année 1976, Varian Associates a réalisé un chiffre d'affaires de 251,2 M\$ (+ 9 %) et un bénéfice net de 6,3 M\$ (+14 %).

Au cours des 9 premiers mois de l'année 1976, Zenith Radio a réalisé un chiffre d'affaires de 698.8 M\$ (+ 8 %) et un bénéfice net de 24,8 M\$ (+ 119 %).

#### NOUVELLES ÉCONOMIQUES

#### ALLEMAGNE FÉDÉRALE

D'après le syndicat professionnel ouest allemand ZVEI, les ventes d'appareils électroniques grand public en Allemagne Fédérale (ventes intérieures et exportations alle-mandes) au cours des 9 premiers mois de 1976, ont été les suivantes (en M d'unités) :

Téléviseurs couleur 1,972 (+ 29,7 %) Téléviseurs noir et blanc 0.884 (-25.7 %)Radiorécepteurs grand 1,379 (+ 1 %) 2,429 (— 7,9 %) public et systèmes à haute fidélité 2,237 (+ 20 %) Auto-radio Magnétophones 1,631 (-- 5 %) Tourne-disques 1,445 (-- 6,5 %)

En 1976, la Deutsche Bundespost s'attend à un bénéfice d'exploitation de 800 M de DM contre un bénéfice de 498,6 M en 1975 et une perte de 1 271,8 M en 1974.

bénéfices ou pertes en M de DM 1974 Télégraphe -76.5-19.3+ 1 897,1 + 2 930,8 Téléphone Autres services de Télécom. +65,5+143,1

D'après le syndicat professionnel des industries électroniques d'Allemagne fédérale (ZVEI), au cours des 8 premiers mois de l'année le montant total des commandes a progressé de 18 % en moyenne ,dont 4.1 % sur le marché intérieur et de 56 % sur le marché ces exportations. Le chiffre d'affaires total de ces industries pour ce premier semestre de 1976 a atteint : 38 000 M de DM (+ 11 %) dont 11 000 à l'exportation (+ 15,5 %) et 27 000 sur le marché intérieur (+9%).

#### FRANCE

Dans le secteur de la construction électrique et pour les 9 premiers mois de l'année 1976, les échanges franco-allemands ont été les suivants (en MF) :

— importations françaises 2 745 (+43 %) exportations françaises (+16.2%)- déficit français 907 (+ 168 %).

Un prêt d'une contre-valeur de 156,7 MF a été octroyé à la France par la Banque Européenne d'Investissements pour le développement des télécommunications en Aquitaine (12 ans; 9,75 %).

#### GRANDE-BRETAGNE

Le Post Office britannique a établi un plan de réduction de ses investissements en matière de télécommunications. En lires constantes, ce plan prévoit les investissements suivants :

— 184 M£ en 1976-1977,

— 152 M£ en 1977-1978,

— 155 M£ en 1978-1979,

 174 M£ en 1979-1980. Cette politique devrait entraîner une

#### baisse de l'emploi dans ce secteur au niveau GRÈCE

En 1976, 100 000 lignes téléphoniques auront été installées en Grèce. La densité téléphonique au 13 janvier 1976 atteignait 21,1 téléphones pour 100 habitants (2 M d'abonnés au total).

#### HONG-KONG

Au cours des 8 premiers mois de l'année 1976, Hong-Kong a exporté pour 7 M\$ de cassettes magnétiques du type Philips (+ 55,6 %). Les principaux pays acheteurs ont été : l'Allemagne Fédérale, les USA, le Nigéria, les Pays-Bas et le Japon.

#### INDE

Les Nations-Unies vont appuyer financièrement et techniquement un projet indien de création d'un centre de recherche et développement en matière des dispositifs à semiconducteurs. Ce centre sera installé à Pilani et l'aide accordée par l'organisation internationale sera de 0,93 M\$.

#### **JAPON**

Au cours de l'année 1976, le Japon aura produit 30 M de montres dont 10 M de montres électroniques, la majorité des montres électroniques produites étant du type numérique.

En 1975, la production japonaise de **circuits imprimés** a atteint 218,3 M\$ (+ 16,5 %) dont 103,7 pour les applications professionnelles (+ 13,8 %) et 114,3 pour les applications « grand public » (+ 18,8 %). Ces statistiques émanant du Japan Printed Circuit Board Industry Association, révèlent également que les exportations se sont effondrées de 26 % pour atteindre 2 M\$ tandis que les prix des circuits multicouches connaissaient une baisse de 4 à 7 % et que ceux des circuits simples augmentaient de 5 %.

#### U.S.A.

Au cours du premier semestre de l'année 1976 les importations américaines d'appareils de mesure et de contrôle ont atteint 62 M\$ (+ 36,8 %) dont 24,7 M en provenance de la Communauté Économique Européenne, 9,3 M\$ venant d'Allemagne Fédérale.

Aux USA, on compte actuellement 1 618 compagnies indépendantes exploitatrices de téléphone (1 643 en 1975) empoyant 158 000 personnes et ayant en service 11 057 autocommutateurs couvrant plus de 50 % du territoire américain et reliés à 26 828 000 postes téléphoniques (1/6° des postes téléphoniques actuellement en service aux USA).

Les résultats pour les neuf premiers mois de l'année 1976, des grandes sociétés américaines de la construction électrique et électronique font apparaître une progression moyenne de leur chiffre d'affaires supérieur à 10 %, la progression moyenne de leur bénéfice net étant voisine de 40 %. Seuls les secteurs de l'informatique et de l'instrumentation accusent des résultats inférieurs.

D'après la société américaine MacGraw-Hill, les grandes compagnies américaines prévoient une augmentation de leurs investissements de 13 % en 1977. Par secteur, les investissements seront les suivants : (en M\$) :

— construction électrique : 3 300 M\$ (+ 15 %),

— industrie aérospatiale : 1 400 M\$ (+ 18 %),

— télécommunications : 15 910 M\$ (+ 11 %).

#### EUROPE

Le consultant Mackintosh a réalisé une étude en termes constants sur l'électronique

d'Europe Occidentale des principaux éléments sont les suivants :

— production et marché global de l'électronique en Europe (indice : base 100, 1972).

	Production	Marché
1972	100	100
1973	104,7	107,9
1974	106,2	103,2
1975	97,5	96,4
1976	110,8	107,8
1977	125	120,8

— Production et Marché Européens à prix constants :

	Marché	Production
1975 1976 1977 1980	34 238 M\$ 34 552 M\$ 38 750 M\$ 51 438 M\$	35 015 M\$ 39 536 M\$

— Marché des équipements « grands publics » à prix constants :

1976: 7 078 M\$, 1980: 8 280 M\$.

— Marché des composants à prix constants :

1976: 8 465 M\$, 1980: 11 939 M\$.

— Importations-exportations en termes constants :

	Exportations	Importation
1974	13 868 M\$	15 043
1975	15 878 M\$	16 380

Seule l'Allemagne Fédérale présente une balance commerciale positive.

Le marché européen annuel des machines à laver (linge et vaisselle) est estimé à 10 M d'unités.

Le consultant américain Frost et Sullivan a réalisé une étude sur le marché d'europe occidentale des produits et services de sécurité (systèmes anti-vol, anti-fraude, etc). Les principaux résultats sont contenus dans le tableau suivant : (en M\$).

secteurs	1975	1980
Industries Commerces Indépendants Super-marchés Équipements publics Résidences Bureaux Banques Institutions	180 150 135 90 84 78 58	250 245 200 100 190 155 80 80
Total	830	1 300

Le Gouvernement ouest allemand a chargé le consultant Mackintosh d'une étude industrie européenne des semiconducteurs. De nombreux autres pays se sont associés financièrement à cette étude qui doit être achevée avant la fin de l'année.

#### INTERNATIONAL

Le consultant américain Venture Development Corporation a réalisé une étude sur le marché mondial des indicateurs analogiques de tableau :

1975 : 164 M\$, 1980 : 215,5 M\$

ventilation du marché 1975 par pays :

en valeur : (total : 164 M\$) :

USA : 48 %,

Europe : 32 %,

Japon : 20 %

en nombre : (14,343 M de pièces) :

Japon: 46 %, USA: 29 %, Europe: 25 %.

D'après la Swire Magnetics Lts (Hone Kong) le marché annuel mondial de cassettes magnétiques du type Philip passera de 700 M de pièces en 1975 i 1 600 M de pièces en 1980.

D'après le groupement de fabricant américains de dispositifs à semiconducteur WEMA: le marché mondial des semii conducteurs (pays de l'Est exclus), aurquété en 1976 de 5 200 M\$ dont 2 600 et circuits intégrés (+ 36 %) et 2 600 et composants discrets (+ 23 %). Pour 1971 et 1978, les marchés mondiaux devraiem être respectivement de 6 200 M\$ et de 6 900 M\$. Il est intéressant de noter qual la progression relativement modeste escompitée pour 1978 tient au fait que la plupant des fabricants de semiconducteurs s'attentident à un début de crise en 1978.

Le marché mondial des équipement téléphoniques est évalué pour 1976 20-25 milliards de \$ et à 30-40 milliard; pour 1975; 90 % de ce marché est captif la ventilation pour 1976 de la part de 10 % soumise à la concurrence international est la suivante :

- Allemagne Fédérale : 23,5 %,

Suède : 21,8 %,Japon : 8,3 %,

— Belgique: 8 %, — USA: 7 %,

— France : 6,5 %,
— Canada :

— Pays-Bas, — Suise.

— Italie,

— Espagne.

D'après National Semiconductor, le marche mondial des dispositifs à semiconductor atteindra 18 000 M\$.

D'après Motorola, le marché mondides microprocesseurs pour l'année 1976 serait détenu à 45 % par Intel, 20 % p. Motorola et 5 % par AMD.

#### **DIVERS**

Les ingénieurs de la division « Programmes Avancés » de l'Atlantic Research Corporation ont mis au point un système permetrant de faire apparaître des information écrites simultanément avec le son et l'image normalement reçues par les téléviseurs L'information écrite est donnée sur un petite plage de l'écran grâce à un petite plage de l'écran grâce à un petite plage de l'écran grâce à un petite système de projection extérieur. Ce systèmest essentiellement destiné à la télévision éducative, aux mal-entendants, et à l'traduction simultanée.

La firme américaine **Centronics** a engagiune action judiciaire contre la sociét Ouest allemande **Mannesmann** Prazision Technik GmbH, dans le cadre de la la Antitrust. Mannesmann et ses filiales produisent des imprimantes à impact à matrice de points. La procédure a divers motifs enotamment les liens qui unissent la firmallemande aux deux distributeurs européen de Centronics: Core Ltd (GB) et Core GmbH (D Fédérale).

La firme américaine réclame près de 10 M\$ de dommages et intérêts.

La première liaison de grande longueu par **guide d'ondes millimétriques** du Post Office britannique entrera en service dès 1982. Reliant Bristol et Reading (123 km) et réalisé en fibre de verre par la BICC, ce guide d'onde circulaire aura une capacité de 0,5 M de circuits téléphoniques ou 300 canaux de télévision et fonctionnera entre 32 et 110 GHz. Toute l'électronique sera fournie par Marconi et la technique de modulation numérique utilisée sera la modulation à quatre phases.

Les laboratoires de recherche de la Bell ont utilisé la nouvelle technique d'épitaxie par jet moléculaire pour la réalisation de nouveaux matériaux à base d'arseniure de gallium destinés à être utilisés pour la fabrication de diodes électroluminescentes et de diodes laser à haut rendement lumineux.

RCA a mis en place en Europe un service d'assistance en matière de matériel et de logiciel pour microprocesseurs.

Les premières émissions de télévision en couleur selon le procédé **SECAM** ont eu lieu en **Arabie Saoudite** au mois de septembre dernier.

**Siemens** a fondé à Munich une école spécialisée dans le domaine des microprocesseurs. L'enseignement dispensé par cette école s'adresse à tous les niveaux.

La British Radio Equipment Manufacturers Association (BREMA), la BBC et l'IBA, ont publié en commun de nouvelles normes concernant le système britannique de transmission de textes par télévision « **Teletext** ». Il est probable que le Post Office prendra ces normes en considération pour son système « Viewdata ».

L'Union soviétique a lancé un satellite de télécommunications géostationnaire baptisé EKRAN et destiné à la retransmission de programmes de télévision vers le nord de la Sibérie.

Le Canada et la France construisent leurs réseaux de transmission de données par paquets Datapac (CND) et Transpac (F) conformément à la nouvelle norme X 25 du CCITT.

Un accord de coopération technique a été signé entre les PTT françaises et irakiennes.

Un câble sous-marin de 480 voies de capacité reliera Marseille (F) à Tripoli (Libye).

### **ACTIVITÉS DES LABORATOIRES**

ÉPITAXIE DU SILICIUM SUR UN FILM FUSIBLE,

par F. Forrat et L. Peccoud.

La rhéotaxie de films de Si de 50  $\mu$  a été effectuée par craquage de SiH $_4$  et SiH $_2$ Cl $_2$  à 20 torrs sur des tôles de dimensions 1,5  $\times$  30  $\times$  0,1 cm étamées de (4 à 8  $\mu$  de Sn) chauffées par conduction MF à 970 °C.

Les phases de nucléation et de croissance sont identiques à celles de l'épitaxie du silicium dans les mêmes conditions de thermique et cinétique.

La mise en cohérence par la tension

superficielle.

Mais la perturbation de la coalescence par les polysilanes résultant de réactions parasites limite la taille des grains à 100  $\mu$ .

Organisme contractant:

Commissariat à l'Énergie Atomique Centre d'Études Nucléaires de Grenoble

Laboratoire exécutant la recherche:

Laboratoire d'Électronique et de Technologie de l'Informatique 38041 Grenoble Cedex 85 X, Tél.: (76) 97.41.11

Contrat DGRST nº 75.7.1132

LA MÉMORISATION ACOUSTIQUE, LE DIAM : APPLICATION A LA CORRÉLATION ADAPTATIVE,

par A. Bert, B. Epsztein et G. Kantorowicz.

Objectif des études. Le DIAM est le premier dispositif ayant permis de mettre en mémoire (sous forme de charges électriques) un signal acoustique haute fréquence à la surface d'un cristal piézo-électrique. Les effets non linéaires introduits par la présence d'un milieu semi-conducteur permettent par ailleurs d'obtenir directement la corrélation entre un premier signal et un autre signal (de référence) préalablement mis en mémoire.

Programme de recherche. Dans une première version, les charges étaient créées par émission d'électrons secondaires à la surface du cristal. Dans une version plus récente, les charges sont apportées à travers

un réseau de diodes rapides placées à proximité de cette surface. Ce même réseau de diodes, grâce auquel s'effectue la mémorisation, constitue également le milieu non linéaire réalisant le produit de corrélation.

Principaux résultats.

— DIAM à émission secondaire: Stockage d'un signal RF à 30 MHz sur quartz durant plusieurs jours; restitution avec ou sans inversion dans le temps; pertes de mémorisation: 63 dB.

- DIAM à état solide (corrélateur à

mémoire).

- Mémorisation durant 1 milliseconde; niveau de corrélation :
- 24 dBm pour des puissances acoustiques de + 20 dBm; dynamique supérieure à 40 dB.

• Limites envisagées :

Fréquence centrale : 200 MHz Bande passante : 30 % Longueur de signal : 15 μs

Temps de stockage : plusieurs dizaines de millisecondes.

- Applications :
  - Réception radar.
  - Identification radar.
  - Télécommunications en milieu évolutif.
  - Analyse de signaux rapides uniques.

Laboratoire ayant exécuté la recherche: Laboratoire de Recherche Hyperfréquence, Division Tubes Électroniques, Thomson-CSF, BP 23 78140 Velizy.

Contrat DRME nos 71.194 et 72.533.

Cette étude fait l'objet d'un article publié dans la Revue Technique Thomson-CSF, Septembre 1976.

PHOTOCATHODES GAAS FONCTIONNANT EN AFFINITÉ, ÉLECTRONIQUE NÉGATIVE

par H. Rougeot et C. Baud.

1. — Objectif des travaux et études. On réalise une photocathode en arséniure de

gallium fonctionnant en affinité électronique négative par réflexion et transmission.

Cette génération de photocathodes présente une réponse spectrale étendue dans le proche infra-rouge avec un rendement quantique supérieur à celui des photocathodes multialcalines.

- 2. *Programme de recherche.* Le programme de recherche comprenait quatre points :
- 1) Étude théorique de la photoémission en affinité électronique négative.
- 2) Mise au point du matériau pour des photocathodes fonctionnant par réflexion et transmission.
  - 3) Caractérisation du matériau.
- 4) Réalisation d'un dispositif ultra-vide pour l'activation des photocathodes et de fermeture de cellules sous ultra-vide.
- 3. Principaux résultats. Un modèle a permis de calculer l'influence des paramètres du matériau et de la surface sur la photoémission par réflexion et par transmission. Le deuxième point a été résolu par dépôt

Le deuxième point a été résolu par dépôt en phase liquide d'une couche transparente GaA1As et d'une couche active GaAs; le substrat GaAs étant éliminé par voie chimique.

Le troisième point a nécessité la mesure de la longueur de diffusion photoémission et par méthode photoélectromagnétique. Le dopage est mesuré par effet Hall et résonance plasma.

Le quatrième point décrit la réalisation de cellules scellées sous ultra-vide. Des sensibilités de 120 mA/Watt et de 70 à 80 mA/Watt ont été obtenues en fonctionnement par réflexion et transmission respectivement avant transfert. Après transfert et scellement sous ultra-vide, la sensibilité résiduelle était encore de 25 mA/Watt à cette longueur d'onde. Des images ont été faites en transmission dans de telles cellules.

Laboratoire exécutant la recherche Laboratoire Recherche Image Thomson-CSF, 38120 St-Egrève

Ce travail a été effectué avec l'aide de la Direction des Recherches et Moyens d'Essais.

Cette étude fait l'objet d'un mémoire publié dans la Revue Technique Thomson-CSF de Septembre 1976.

## NOUVEAUTÉS TECHN

Cette rubrique a exclusivement pour but l'information de nos lecteurs et aucune participation sous aucune forme n'est sollicitée ni acceptée pour sa réalisation.

#### **BARRETTES** DE DIODES ÉLECTROLUMINESCENTES

#### Bowmar modèle Bargraph

Bowmar annonce une barrette de diodes électroluminescentes comportant 12 diodes alignées et destinées à être utilisées, dans l'instrumentation, l'électronique « grand public », l'automobile etc. Ces dispositifs possèdent une face avant plate et sont présentés en boitier standard DIL à 24 broches. Chaque diode a ses électrodes indépendantes et plusieurs dipositifs peuvent être alignés de manière à constituer des barrettes plus longues.



BOWMAR Europe, 41-45 High Street, Weybridge KT 13 8BB (GB).

Service lecteur: inscrivez le nº 051.

#### DISPOSITIF D'AFFICHAGE NUMÉRIQUE IEE modèles 1721, 1726, 1741 et 1746

La société américaine IEE présente quatre nouveaux dispositifs d'affichage numérique à diodes électroluminescentes du type à « barreau ». Ces dispositifs destinés à l'usage général, sont proposés à des prix particulièrement intéressants.



#### Caractéristiques :

- type : afficheur numérique à 7 segments à une diode par segment;
- hauteur: 0,63s (16 mm)intensité lumineuse: 2 250 μcd par segment sous 20 mA à 1,6 V
  - angle de visibilité : 160°; — modèles d'afficheurs :
    - 0 à 9, point à droite, annode commune; modèle 1721;

- 1, anode commune : modèle 1726;
- 0 à 9, point à droite, cathode commune: modèle 1741;
- cathode commune: modèle 1746;

- présentation : boitier moulé à doubles broches.

Notons que le constructeur propose parallèlement des éléments mécaniques destinés à faciliter l'assemblage de ces dispositifs.

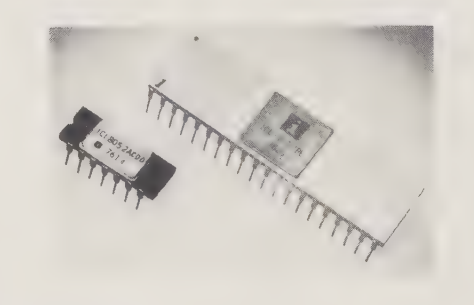
IEE (USA). Représentation en France : SOURIAU, 11, rue Galliéni, 92103 Boulogne-(tél. 604.20.00).

Service lecteur: inscrivez le nº 052.

#### CONVERTISSEURS ANALOGIQUES NUMÉRIQUES D'INSTRUMENTATION

Intersil modèle ICL 8052, 8053 et 7107

La société Intersil introduit sur le marché des circuits intégrés spéciaux destinés à la réalisation de convertisseurs analogiquesnumériques de haute précision. Associés par paires, ces dispositifs permettent de réaliser des voltmètres numériques à 4 000 points utilisant la méthode de conversion à double rampe avec zéro et polarité automa-



L'un des circuits assure la mise en forme des signaux analogiques, il comprend une référence en tension, un amplificateur de courant et un comparateur. Le second dispositif comporte les commutateurs nécessaires au fonctionnement des convertisseurs et autres circuits numériques.

La paire ICL 8052-ICL 8053 permet de réaliser de nombreux types de voltmètres dont les sensibilités vont de 200,0 mV pleine échelle à 4,0000 V pleine échelle avec une sortie en binaire ou en BCD et une précision maximale de 1.10<sup>-5</sup> moyennant

quelques précautions.

La paire ICL 8052-ICL 7107 utilise le même circuit de mise en forme du signal néanmoins le second dispositif permet le traitement des informations. En effet l'ICL 7107 est un processeur numérique pouvant être directement commandé par un microprocesseur; les signaux de sortie du type BCD, peuvent être directement reliés aux circuits de commande de dispositifs d'affichage à cristaux liquides. Le temps de conversion peut être réglé entre 0,1 et 10 s.

INTERSIL France, 3, rue de Marly, 78000) Versailles (tél. 953.47.08).

Service lecteur: inscrivez le nº 053.

#### **MULTIPLEXEURS A 16 VOIES**

#### National Semiconductor modèles MM 74 C 150 et 82 C 19

National Semiconductor présente deux multiplexeurs qui sont les répliques en technologie MOS Complémentaire, des deux dispositifs standards utilisés dans l'industries sous les références DM 74150 et DM 8219,

Ces dispositifs réalisent le multiplexage de 16 voies numériques vers 1 voie. Un mot à 4 bits permet de connaître l'adresse de la voie. Ces multiplexeurs ne diffèrent que par le type de logique qu'ils acceptent. le 82C19 étant la version logique à trois états du 74 C 150. Ils sont disponibles en boitier DIL à 24 broches, plastique ou créamique dans les deux gammes de températures : industrielle et militaire.

NATIONAL SEMICONDUCTOR France, 28 rue de la Redoute, 92260 Fontenay-aux-Roses (tél. 660.81.40).

Service lecteur: inscrivez le nº 054.

#### **POTENTIOMÈTRES** D'AJUSTAGE ÉTANCHES

#### Mipot

La firme italienne MIPOT propose un gamme de potentiomètres d'ajustage de haute qualité réalisés selon un procédé de fabrication original. Ces dispositifs son caractérisés par une grande robustesse el une stabilité élevée. Présentés en boitie transistor TO 5, ces potentiomètres étanches peuvent dissiper 0.5 W à 40 °C et son disponibles pour des valeurs allant de 10 s à 100 kΩ avec une loi de variation linéaire



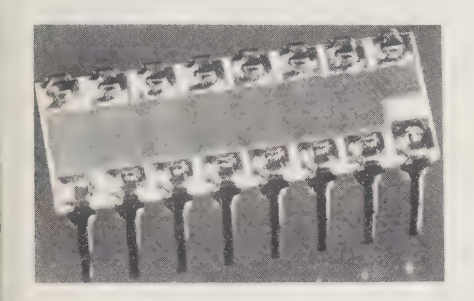
MIPOT (I). Représentation en France ISC, 27, rue Yves-Kermen, 92100 Boulogni (tél. 604.52.75).

Service lecteur: inscrivez le nº 055.

#### BARRETTES DE RÉSISTANCES

#### **CIT-Alcatel**

Les réseaux résistifs CIT Alcatel sont réalisés en technologie à couche épaisse sur substrat en alumine. Disponibles en présentation modulaire à simple ou à double rangée de broches, encapsulées ou nues, ces dispositifs sont destinés à une large variété d'applications.



#### Caractéristiques :

- conducteur en palladium-argent;
- pâtes résistives à base d'oxyde de ruthénium;
  - valeur nominale : 10  $\Omega$  à 1 M $\Omega$ ; tolérance à 20 °C : <  $\pm$  2 %;
  - coefficient de température absolu
- coefficient de température différentiel : < 50 ppm;

Périer, 92120 CIT-ALCATEL, 41, rue Montrouge, (tél. 657.11.06).

Service lecteur: inscrivez le nº 056.

#### CIRCUIT IMPRIMÉ STANDARD

#### Fisher Elektronik

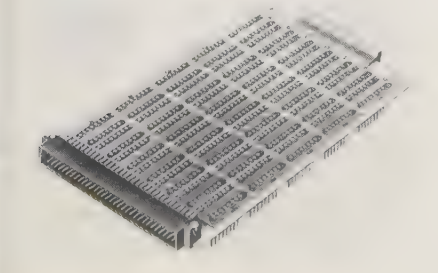
La firme allemande Fisher propose un circuit imprimé au standard européen (100 × 160 mm) équipé de contacts à enrouler de haute qualité et permettant d'implanter 35 boitiers DIL à 16 broches.

Afin de faciliter le câblage par enroulage, les différentes zones de broches sont repérées par une couleur. Sur 28 des 35 zones, les broches 8 et 16 sont connectées aux bus d'alimentation, les 7 zones restantes étant libres. Chaque connexion d'alimentation comporte deux bornes destinées à l'insertion d'un condensateur de découplage.

Le connecteur de la carte comporte 32,64 ou 96 contacts reliés chacun à une borne à enrouler. Une poignée de manipulation d'identification est fixée sur l'extrémité oppo-

sée au connecteur.

Par ailleurs, Fisher Elektronik propose une autre carte imprimée au double format européen.



FISHER ELEKTRONIK. Représentation en France : Diode France, 1, Allée des Platanes ZI la Cerisaie, 94260 Fresnes (tél. 660.98.01).

Service lecteur: inscrivez le nº 057.

#### CAPTEUR ANGULAIRE

#### Schaevitz

Schaevitz présente un capteur angulaire inductif ne comportant pas de collecteur. Ce dispositif qui utilise le principe du transformateur différentiel rotatif, est disponible en deux versions : une version pour courant alternatif s'intégrant dans un pont à fréquence porteuse et une version pour courant continu incorporant l'électronique de mesure. Le domaine linéaire de mesure s'étend de -30 à +30° et de -60 à +60° de part et d'autre de la position 0. Nécessitant un couple d'entraînement particulièrement faible, ce capteur peut tourner à grande vitesse; son diamètre n'est que de 25 mm.



SCHAEVITZ FRANCE, B.P. 11, 78780 Maurecourt (tél. 974.79.15).

Service lecteur: inscrivez le nº 058.

#### **DIVISEUR DE PUISSANCE** A 8 VOIES

#### Sage modèle FP 2036

La firme américaine Sage introduit un nouveau diviseur de puissance hyperfréquence destiné aux télécommunications.



#### Caractéristiques:

- bande de fréquence : 3,7-4,2 GHz;
- nombre de voies : 8;
- taux d'ondes stationnaires moyen : 1,15 : 1;
  - isolation : 30 dB;
  - perte moyenne d'insertion : 0,4 dB;
  - dispersion: 0,25 dB;
- puissance admissible à l'entrée : 1 W;
- dimensions:  $81.3 \times 55.9 \times 28$  mm;

- connecteurs : type N femelle ou SMA

SAGE LABORATORIES, 3, Huron Drive, Natick, MA 01760 (USA).

Service lecteur: inscrivez le nº 059.

#### **CONVERTISSEURS** DE TENSION CONTINU-CONTINU

Datel présente une nouvelle famille de convertisseurs de tension simples ou doubles destinés à l'alimentation de circuits logiques et numériques.



#### Caractéristiques :

- tensions d'entrée : 5, 12 et 28 V;
- tensions de sortie :
  - 5, 12, 24 et 28 V pour les alimenta-
  - tions simples;
     ± 12, ± 15 et ± 18 V pour les alimentations doubles;
- puissance : 5 ou 10 W;
  précision : 10<sup>-2</sup>;
- coefficient de température : 2.10<sup>-4</sup>/°C;
- résistance d'isolement : 100 M $\Omega$ ;
- bruit et ronflement : 2 mveff;
- tension de destruction : 300 V – gamme de température : – 55 à + 85 °C
- présentation : boitier en plastique
  - 51 × 51 × 19 mm (modèles 5 W);
  - $89 \times 63.5 \times 27$  mm (modèles

DATEL FRANCE, 11, avenue Ferdinand Buisson, 75016 Paris (tél. 603.06.74).

Service lecteur: inscrivez le nº 060.

#### MULTIMÈTRE NUMÉRIQUE Data Precision modèle 248

La firme américaine Data Precision introduit sur le marché un multimètre numérique autonome particulièrement compact permettant la mesure en valeur efficace vraie des tensions et des courants alternatifs.



Caractéristiques:

- capacité : 4 1/2 chiffres (20 000 points);

5 fonctions : voltmètre et ampèremètre pour courants continus et alternatifs, ohmètre;

voltmètre pour tensions continues :
 10 μV à 1 000 V en 5 gammes;

ampéremètre pour courants continus :

10 nA à 2 A en 5 gammes; — voltmètre efficace vrai (30 Hz à 20 kHz) : 10 μV à 500 V;

ampéremètre efficace vrai (30 Hz à 20 kHz): 10 nA à 2 A;

facteur de forme : 5 à pleine échelle et 2,5 à 100 % de dépassement de l'échelle; — ohmmètre de 100 m $\Omega$  à 20 M $\Omega$  :

protection contre les surcharges à

taux de réjection de mode commun : 100 dB au minimum;

alimentation : par une batterie d'accumulateurs incorporée ou par le réseau;

dimensions:  $4.5 \times 14 \times 8.9$  cm.

DATA PRECISION (USA). Représentation en France: EUROTRON, 34, avenue Léon Jouhaux ZI, 92160 Antony (tél. 668.10.59).

Service lecteur: inscrivez le nº 061.

#### MULTIMÈTRES NUMÉRIQUES Keithley modèle 5900 et 6900

Keithley a ajouté à son catalogue deux nouveaux multimètres numériques de précision.



Le multimètre 5 900 est un modèle à 160 000 points de lecture présentant une précision de 10-5 pour les mesures en courant continu et une résolution de 1 µV. Le changement de gamme est manuel ou automatique.

Le multimètre 6 900 est un modèle à 6 1/2 chiffres à très hautes performances. Il est destiné à être plus particulièrement incorporé dans les systèmes de mesure.

Les deux appareils permettent la mesure de rapports en courants alternatifs et continus. Ils sont disponibles avec les options suivantes: programmation à distance, mesure des tensions alternatives en valeur efficace vraie ou en valeur moyenne, mesure des résistances par système à fils, interface BUS IEEE 488.

Ces appareils mesurent les tensions continues de 0,1 à 1 000 V à pleine échelle en 5 gammes avec une résistance d'entrée atteignant 100 G $\Omega$ .

La position « ratio » (rapport) permet la lecture du rapport entre la tension continue d'entrée et une tension de référence externe.

L'option tensions alternatives en valeur efficace vraie ou valeur moyenne permet la mesure des tensions de 1 à 1 000 V à pleine échelle en 4 gammes ; la bande de fréquence s'étendant de 20 Hz à 300 kHz.

Enfin l'option ohmmètre à 4 fils permet la mesure des résistances de  $100~\mu\Omega$  à 160 M $\Omega$ .

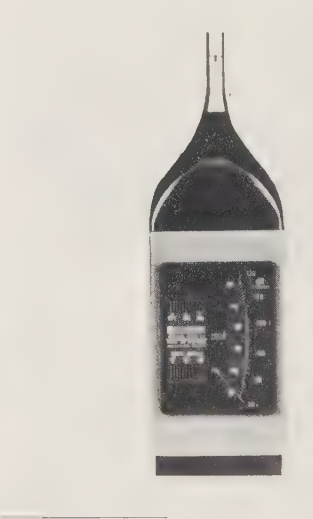
Les autres options : programmation à distance et interface IEEE offrent la possibilité d'utiliser ces appareils dans des applications « systèmes ».

KEITHLEY INSTRUMENTS FRANCE, 44, rue Anatole-France, 91121 Palaiseau (tél. 928.00.48).

Service lecteur: inscrivez le nº 062.

#### SONOMÈTRE DE PRÉCISION GenRad modèle 1981-B

GenRad présente un sonomètre de précision couvrant deux gammes de mesure allant de 30 à 80 dBA et de 70 à 120 dBA. Cet appareil présente les résultats des mesures sous deux formes indépendantes : une forme numérique et une forme analogique. L'utilité de cette double présentation tient au fait que le dispositif d'affichage numérique mémorise le niveau sonore le plus élevé tandis que l'aiguille de l'appareil continue d'indiquer les niveaux inférieurs. Notons enfin, que ce sonomètre est conforme aux normes CEI 179 et ANSI SIA et qu'il peut être livré dans une valise comprenant, en plus, un câble de rallonge pour le microphone, un trépied et un calibrateur de niveau sonore.



GENRAD FRANCE, 96, rue Orphila, 75020 Paris (tél. 797.07.39).

Service lecteur: inscrivez le nº 063.

#### ANALYSEUR AUTOMATIQUE **DE PARASITES**

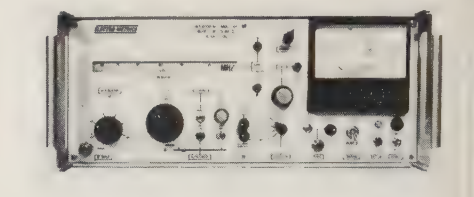
#### Electro-Metrics modèle EMC 25

La division Electro-Metrics de la firme américaine Penril Corporation, présente un nouvel analyseur automatique de signaux parasites fonctionnant dans la bande 10 kHz-1 GHz. Cet appareil dispose d'un circuit de balayage automatique en fréquence permettant la reproduction rapide des réponses en bande étroite sur une table XY. L'analyse est effectuée sur chaque bande étroite uniquement pendant le temps nécessaire à l'enregistrement XY et le passage à la réponse suivante a lieu par saut.

Cet instrument s'étalonne à l'aide d'un bouton-poussoir unique ce qui évite l'emploi de courbes d'étalonnages plus ou moins compliquées.

Parmi les autres caractéristiques EMC 25. notons, la double commutation de bande, la possibilité d'alimentation par une batterie d'accumulateurs et le fonctionnement en mode local ou télécommandé.

Cet appareil est essentiellement destiné à l'étude de la compatibilité électromagnétique d'appareils haute fréquence dont l'association conduit souvent à des problèmes d'inter-férence. De ce fait, l'EMC 25 convient aussi bien aux concepteurs de systèmes qu'aux



PENRIL CORPORATION, Division Electrometrics, 100 Church Street, Amsterdam NY 12010 (USA).

Service lecteur: inscrivez le nº 064.

#### BANC DE MESURE POUR RÉGÉNÉRATEURS MIC

#### Wandel et Goltermann modèle PRT 1

Les systèmes de transmission à modulation par impulsions et codage MIC à 30 voies recommandés par le CCITT sont maintenan largement utilisés. Pour les liaisons asser longues on insère tous les 2 à 4 km des régénérateurs qui traitent le signal déforme par l'affaiblissement du câble, la gigue, la diaphonie, etc. Les régénérateurs doiven donc présenter une très grande immunité au bruit.

Afin de pouvoir contrôler les caractériss tiques de ces régénérateurs en fabrication en recette ou en exploitation, Wandel e Goltermann a développé un banc de mesure spécial comprenant un banc de mesure de taux d'erreur binaire modèle PF 1, et us appareil de test pour régénérateur ayant 18 référence PRT 1

L'appareil de test PRT 1 contient us circuit de mise en forme demi-sinusoïdan pour les signaux délivrés par le banc d mesure PF 1 et un simulateur de ligne dort l'utilisateur règle l'affaiblissement. Afin de simuler la diaphonie il est possible d'ajoute un signal de bruit pondéré, le rapport signa sur bruit étant lui aussi réglable.

A la sortie du régénérateur, le taux d'erreul est mesuré en fonction par exemple d rapport signal sur bruit et de l'affaiblissemen de ligne; cette mesure permet de détermine la sensibilité au bruit du régénérateur l'essai. Il est également possible de mesure le comportement du rapport signal sur bruà taux d'erreur constant, en fonction de l'affaiblissement de la ligne.



WANDEL et GOLTERMANN FRANCE, Soga ris 156, 94534 Rungis (tél. 677.67.70

Service lecteur: inscrivez le nº 065.

#### MICROORDINATEUR D'INITIATION MOS Technology modèle KIM 1

Le KIM 1 est un microordinateur d'initiation entièrement contenu sur une seule carte de circuit imprimé de 27,4 sur 21,9 cm II comporte :

— un microprocesseur à 8 bits modèle MCS 6502 s'alimentant sur une tension unique de + 5 V et contenant le circuit oscillateur. Ce microprocesseur dispose d'un jeu d'instructions important de 13 modes d'adressage et peut adresser jusqu'à 64 K mots.

— deux circuits MCS 6530 comportant chacun une mémoire morte de 1 K mot, une mémoire vive de 64 mots, 15 points d'entrée-sortie et un générateur d'intervalle de temps. Le programme de gestion du système se trouve inscrit dans la mémoire morte.

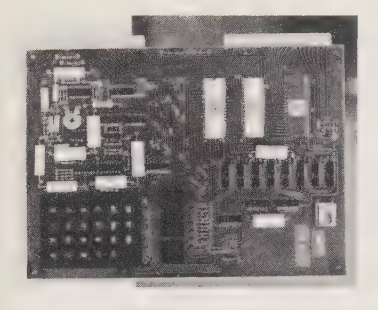
— huit circuits de mémoire vive statique ayant une capacité totale de 1 K mot de 8 bits et contenant le programme et les données de l'utilisateur.

 un clavier à 23 touches : 16 touches pour l'introduction en hexadécimal des programmes et des données, 7 touches de contrôle et de commande.

— six dispositifs d'affichage à diodes électroluminescentes destinés à afficher les informations au fur et à mesure de leur introduction et à lire le contenu des mémoires.

— un circuit d'interface dérouleur à cassette magnétique, le programme de gestion de ce périphérique se trouvant en mémoire morte.

— un circuit d'interface pour téléimprimeur.



L'alimentation de l'ensemble s'effectue sous + 5 V avec un courant de 1,2 A. Les mémoires vives étant volatiles le raccordement à un dérouleur à cassette permet de sauvegarder le contenu de ces mémoires par recopie. Les circuits de raccordement et le programme de gestion du dérouleur à cassette sont déjà prévus dans le système, il suffit uniquement d'ajouter une alimentation de + 12 V sous 0,1 A.

Pour le branchement à un téléimprimeur, suffit de relier les 4 fils du téléimprimeur au circuit KIM 1.

Notons enfin que le constructeur propose sgalement des extensions mémoires compalibles par modules de 4 ou 8 K mots.

CMOS Technology (USA). Représentation en France : Composants et Produits élecerroniques, 51, rue de la Rivière, 78420 Carrières-sur-Seine (tél. 968.70.08).

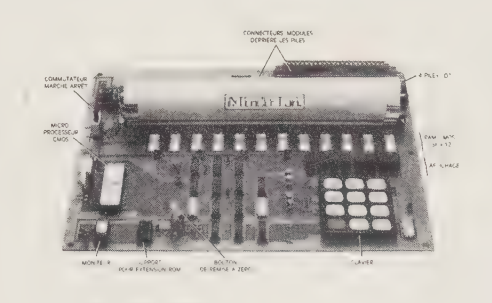
Service lecteur: inscrivez le nº 066.

#### MICROORDINATEUR D'INITIATION Intersil modèle 6950

Intersil propose un microordinateur d'iniiation permettant l'évaluation du microprocesseur MOS complémentaire à 12 bits 6100 et des produits associés. Rappelons que le jeu d'instructions de ce microprocesseur est identique à celui des miniordinateurs PDP 8 de Digital Equipment.

Présenté sous la forme d'une carte de circuit imprimé de 25,6 × 28,2 cm ce microordinateur comporte :

- un clavier à fonctions multiples associé à un moniteur en mémoire morte et permettant l'entrée des données et la commande du système.
- un dispositif d'affichage en octal permettant la lecture des données et des adresses.
- une mémoire vive de 256 mots de 12 bits.
  - un support de piles.
- des connecteurs permettant le raccordement de cartes annexes telles une mémoire vive additionnelle, un module d'entrée-sortie ou une mémoire morte programmable additionnelle.



INTERSIL FRANCE, 3, rue de Marly, 78000 Versailles (tél. 953.47.08).

Service lecteur: inscrivez le nº 067.

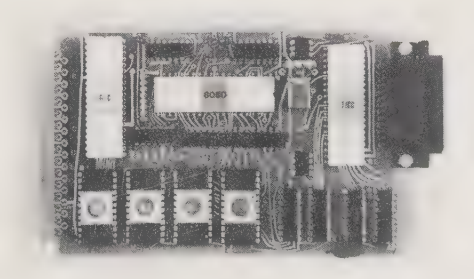
#### MICROCALCULATEUR NON SPÉCIALISÉ

#### DAI modèle DCE 1

La firme américaine Data Applications International introduit un microcalculateur non spécialisé destiné à une grande variété d'applications : contrôle industriel, programmation d'appareils dans le temps, stockage et traitement de données, transmission de données, etc.

Ce système se présente sous la forme d'une carte de circuit imprimé de 100 sur 160 mm (format Eurocarte) comportant :

- un microprocesseur 8080.
- une interface entrée et sortie indépendantes.
  - une sortie série pour téléimprimeur.
- trois portes pour entrées-sorties bidirectionnelles.
  - une entrée et une sortie supplémentaire.
- une entrée pour communication synchrone ou asynchrone.
  - une mémoire vive de 0,5 K mots.
  - 5 minuteurs.



Ce système qui se veut universel pour les applications industrielles nécessitant une

faible capacité de mémoire est simple à utiliser. Il se situe entre le simple calculateur et le miniordinateur.

DAI (USA). Représentation en France : Techmation : 18, quai de la Marne, 75019 Paris (tél. 200.11.05).

Service lecteur: inscrivez le nº 068.

#### POSTE TÉLÉPHONIQUE ANTI-ÉCOUTES

#### Dektor Counterintelligence and Security modèle CROAK

La firme américaine Dektor introduit un poste téléphonique spécialement prévu pour déjouer la plupart des possibilités d'écoute. Le branchement de tout récepteur d'écoute quel qu'il soit, d'un enregistreur, d'un poste parasite déclenche une alarme. L'appareil dispose d'un circuit interne qui teste le bon fonctionnement de l'ensemble. Ce poste téléphonique CROAK fonctionne sous les tensions téléphoniques usuelles de 37 à 62 Volts, avec des fréquences de sonnerie de 5 à 400 Hz. Il s'alimente sur le réseau 110-220 V et son cadran à clavier est compatible avec tout standard rotatif.

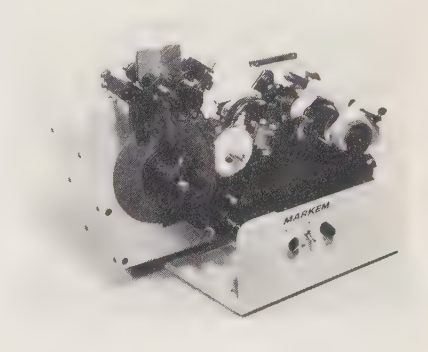
DEKTROR, Counterintelligence and Security, Dept CN: 5508 Port Royal Road, Spring field, Virginia 22151 (USA).

Service lecteur: inscrivez le nº 069.

#### MACHINE A IMPRIMER POUR COMPOSANTS

#### Markem modèle 300

La firme américaine Markem présente une nouvelle machine destinée à l'impression et au marquage des composants électriques et électroniques cylindriques tels les diodes, résistances, condensateurs, filtres, relais à tiges, etc.



#### Caractéristiques:

- type de composants : cylindriques;
- diamètre des composants : 2 à 25,4 mm;
- longueur du corps des composants (fils de connexion non inclus) : 6,4 à 70 mm;
- longueur des composants y compris les fils de connexion : 127 mm;
  - surface imprimée : 28 imes 25,4 mm.

MARKEM FRANCE, 39, rue du Parc, 94230 Cachan (tél. 253.58.51).

Service lecteur: inscrivez le nº 070.

### **CIMRON**

15 ANS D'EXPÉRIENCE

Dans la mesure numérique

PRÉSENTE

Parmi une gamme complète

d€

MULTIMÈTRES

20 000-40 000-120 000 pts

LE

**DMM 42** 



- $^*$  6 gammes DC : 1  $\mu$ V à 1 200 V
- $^{\circ}$  9 gammes  $\Omega$  (4 fils)

-100 μ $\Omega$  à 200 M $\Omega$ 

- \* 6 gammes I : 4pA à 2A
- \* 4 gammes AC (Moy ou RMS) -100 μV à 1100 V
- \* Zéro automatique
- \* Gamme automatique
- \* Protection totale
- \* Sortie imprimante
- \* Programmation totale
- \* Autres options

A PARTIR de Frs 4865 H.T.

Autres Modèles pour

- Industrie : alim. batt.
- Laboratoire : 0,002 %
- Système : 2-20-1 000 C/S

Renseignement et démonstration :

MESCAN 13, passage du Génie

**75012 PARIS** 

Tél.: 345-53-48

## PRODUITS RÉCENTS

Cette rubrique a pour unique objet l'information des lecteurs. La majorité des produits récemment apparus sur le marché sont présentés de manière succincte et ordonnée. Des informations plus détaillées peuvent être obtenues en utilisant le Service Lecteur.

#### COMPOSANTS

AMS: Mémoire vive statique MOS de 1 K bits (22 broches, temps d'accès 60 ns), modèle 7 001. [0820]

**Binder :** Connecteurs rectangulaires pour câbles multicontacts (DIN 41 622), série 782. [0821]

Connecteurs subminiatures série 711.
 [0822]

**Bowmar :** Barrette de diodes électroluminescentes à 12 diodes, modèle Bargraph. [0823]

CIT-Alcatel: Barrettes de résistances réalisées en technologie hybride. [0824]

Résistances à couches épaisses. [0825]

English Electric Valvely: Magnétron accordable par cavité à décharge à chocs multiples, série MTM. [0826]

Fagor: Ponts redresseurs série C 3 200/2 200 (40 à 380 V; 2,7 à 4 A). [0827]

Ferranti: Afficheurs matriciels ou à 7 segments et voyants ronds électromagnétiques. [0828]

**Fisher Elektronic :** Circuits imprimés standard européen simple ou double série WWP 16-35. [0829]

— Connecteurs économiques pour circuits imprimés (pas : 2,5 mm; DIN 41 617).

[0830]

TEE: Dispositif d'affichage numérique à 7 segments (rouges : 16 mm de haut), modèles 1721, 1741, 1726 et 1746. [0831]

modèles 1721, 1741, 1726 et 1746. [0831] Intersil: Convertisseurs analogique-numérique par paires voltmètres de tableau ICL 8052-ICL 8053 ou ICL 8052-ICL 7107.

**Kertron :** Transistors de puissance rapides (60 à 120 V) série KS. [0833]

**Mipot**: Potentiomètre d'ajustage miniature. [0834]

National semiconductor: Transistors à effet de champ à canal N et à très faible bruit pour applications basse frèquence série NF ou PF 5 101, 5 102 et 5 103.

[0835]

SAE: Supports pour circuits intégrés à souder ou à enrouler. [0836]

Schaevitz: Capteur angulaire inductif.

[0837]

Texas Instruments: Transistor de puissance haute tension pour déviation horizontale dans les téléviseurs équipés de tubes PIL, modèle BU 500. [0838]

Amplificateurs opérationnels à entrée équipées de transistors à effet de champ modèle LF 155, 156 et 157.
Régulateurs à tension fixe série UA 78 N°

et UA 79 M (5, 6, 8, 12, 15 et 24 V, 500 mA polarités négatives ou positives). [0840 — Circuits intégrés pour jeux électroniques modèles SN 76 423, 425, 426, 427, 42

et 460. [0841]
— Quadruple amplificateur opérationnel entrées par transistors à effet de champ modèle TL 084. [0842]

— Amplificateur opérationnel stabilisé pa découpage, modèle TL 089. [0843]

#### SOUS-ENSEMBLES

Braemar Computer Devices : Platine cassette pour applications numériques.

CIT-Alcatel: Amplificateurs pour chambr à fils réalisés en technologie hybride. [0845] — Filtres actifs en technologie hybride. [0840]

Data translation: Modules d'acquisition de données à modèles TC 57 OI (16 canaux 1084)

Datel Systems: Convertisseurs de tension continu-continu simples ou doubles (5 et 10 W). [0847]

ENI: Amplificateur linéaire HF de puissant (150 kHz-300 MHz, 35 W, classe A) modél 440 LA. [084]

Fisher Elektronik: Connecteurs and normes CAMAC. [085]

Sage Laboratories: Diviseur de puissand HF à 8 sorties (3,7-4,26 GHz; 1 W) modè FP 2036. [085]

#### MESURE ET INSTRUMENTATION

**ANDO:** Synthétiseur (10 Hz-30 MHa 59,99 à + 10 dBm) modèle GES 30. [0853]

Anritsu: Appareil pour tester les ligne MIC. [085] — Wattmètre pour ondes millimétrique [0854

— Appareil pour mesure de l'amplitude du temps de groupe (1,2-1,7 GHz). [085]

Data précision : Multimètre numérique 4 1/2 chiffres modèle 248. [085]

Dymar: Distorsiomètre BF modèle 206 [085]

— Wattmètre BF (0,15 mW à 50 W modèle 2085.

Farnell: Comparateur numérique por appareil de mesure numériques modulaire

Farnell, modèle DMC 1. [085:

Haefely: Voltmètre pour tension de che

modèle 64 M. [0864]

Keithley: Multimètres numériques modèle

5 900 (5 1/2 chiffres) et 6 900 (6 1/chiffres). [086

#### **PRODUITS RÉCENTS**

Scrutateur de voies (100 voies moax)
modèle 703. [0862]
Système automatique de mesure et de test de résistivité pour semiconducteurs modèle 53. [0863]

Microdata Ltd: Compteur-enregistreur numérique à cassette. [0864]

Nicolet : Nouvelles options pour analyseur bicanal à Transformée de Fourier Rapide :

densité de probabilité,

analyse modale. [0865]
 Moyenneur numérique modèle 535. [0866]

**Penrill:** Mesureur de parasites modèle EMC 25 (10 Hz-1 GHz). [0867]

**Takeda Riken:** Compteur fréquence-mètre (10 Hz à 1 000 MHz; 5.10-)/mois, 8 chiffres) modèle 5 145. [0868] — compteur hyperfréquence (10 Hz à 32 GHz) modèle TR 5 200. [0869]

Wandel et Goltermann : Auxiliaire de vobulation pour générateurs de niveaux modèle WZ 6. [0870]

Banc de mesure pour régénérateurs
MIC à 30 voies modèle PR 1. [0871]
Mesureur de niveau modèle PMG-B
(large bande et sélectif 20 à 50 kHz). [0872]
Banc de mesure pour faisceaux hertziens
70-140 MHz modèle RM 4. [0873]

#### **SYSTÈMES**

MDB Systems: Modules d'interface pour microordinateur LS 11 de Digital Equipment modèles LP 11 (imprimante), CR 11 (lecteur de cartes), PC 11 (lecteur-perforateur de ruban), DLV 11 (communications synchrones et DUV 11 (communications à synchrones).

MOS-Technology: Microordinateur d'initiation modèle KIM 1. [0875]

Motorola: Microordinateur d'initiation et de développement ADS. [0876]

#### **DIVERS**

Alusuisse: Monocristal de grenat de gadolinium-gallium pour la fabrication de mémoires à bulles. [0877]

Cambion: Outil pour la manipulation des pircuits intégrés modèle 706-3 733. [0878]

**Dektor counterintelligence and secu-**y**ity :** Poste téléphonique « anti écoutes » nodèle CROAK. [0879]

**Markem :** Machine à marquer les résisances modèle 300. [0880]

**Vicro-Shear:** Pince coupante pneumakique. [0881]

Pickering radio : Convertisseur Baudot-Morse pour transmissions. [0882]

## LIVRES REÇUS

#### Problèmes d'électronique avec leurs solutions,

F. MILSANT.

Tome 2: Composants Electroniques, Eyrolles, Paris, 1976, X-173 p., ISBN.

Avertissement (3 p.). - Physique électronique: Constitution de la matière (9 p.). - Métaux et semiconducteurs (9 p.). - Mouvement des électrons (28 p.). - Diodes et transistors: Diodes à jonction (17 p.). - Transistors unipolaires (10 p.). - Transistors bipolaires (15 p.). - Fonctions fondamentales des transistors (41 p.). - Utilisation des semiconducteurs (22 p.). - Problèmes de révision (16 p.). - Réponses des problèmes à résoudre (1 p.).

#### Applications de la thermodynamique du non équilibre. Bases d'énergétique pratique.

P. CHARTIER, M. GROSS et K. S. SPIEGLER, *Hermann*, Paris, 1975, 191 p., ISBN 2-7056-1363-3.

Avant-propos (2 p.). - Introduction des auteurs (2 p.). - Liste des symboles (8 p.). - Introduction. Quelques rappels de thermodynamique de l'équilibre (18 p.). - L'exergie (18 p.). - Forces généralisées (12 p.). -Relations phénoménologiques linéaires entre forces généralisées et flux. Exemple du transfert de matière dans les membranes ionisées (16 p.). - Limitations et conditions imposées aux coefficients de conductibilité L (6 p.). - Réactions chimiques indépendantes et couplées. Le triangle d'isomérisation (14 p.). - Interdiffusion des gaz dans les milieux poreux (12 p.). - Osmose et osmose inverse (hyperfiltration) (18 p.). -Phénomènes électrocinétiques (8 p.). Couplage du courant de matière ou du courant électrique avec le courant de chaleur (22 p.). - Appendice (6 p.). - Réponses aux problèmes (6 p.). - Bibliographie (4 p.). - Index des auteurs (2 p.). - Index des sujets (6 p.).

#### Physique subatomique, noyaux et particules,

L. VALENTIN,

Hermann, Paris, 1975, XIV-606 p., ISBN 2-7056-5785-1.

Introduction (1 p.). - Première partie: Généralités (4 p.). - Une méthode d'observation (20 p.). - Section efficace (14 p.). - Généralités sur l'interaction forte (35 p.). - Le potentiel de Yukawa (7 p.). - Généralités sur l'interaction faible (39 p.). - Production des noyaux instables (7 p.). - Techniques expérimentales (27 p.). - Présentation d'une mesure statistique (5 p.). - Deuxième partie: Modèles et physique du noyau atomique (16 p.). - L'état fondamental des noyaux stables (15 p.). - Quelques caractéristiques de l'émission alpha (15 p.). - Le modèle en couches des noyaux sphériques (22 p.). - Modèle du gaz de Fermi (8 p.). - Les excitations élémentaires des noyaux (31 p.). - Le caractère spécifique de quelques réactions nucléaires (9 p.). - Moments statiques des noyaux (27 p.). - Mise en évidence de

l'interaction tenseur (5 p.). - L'émission y (22 p.). - Quelques caractéristiques de l'émission  $\beta$  (16 p.). - Réactions nucléaires (29 p.). - Paramétrisation d'une résonance (13 p.). - Troisième partie : Lois de conservation et particules fondamentales (3 p.). -Parité et questions associées (15 p.). -Détermination du spin et de la parité (9 p.). -Étrangeté et particules étranges (9 p.). - La famille des mésons K (13 p.). - Isospin et classification des particules (23 p.). -États analogues en physique nucléaire (9 p.). - Quatrième partie: quelques applications de la physique subatomique (4 p.). -L'énergie nucléaire (19 p.). - Les armes nucléaires (5 p.). - Les sondes nucléaires (6 p.). - Interaction du noyau avec son environnement (10 p.). - L'astrophysique nucléaire (22 p.). - Le soleil (4 p.). - Appendices (3 p.). - Système du centre de masse (11 p.). - Traitement en ondes sphériques des états stationnaires (22 p.). - Configuents de Coefficients de transmission et de réflexion (3 p.). - Couplage d'isospin (2 p.). - Notions de « radioprotection » (6 p.). - Notes pédagogiques (9 p.).

#### Optical Communications,

R. M. GAGLIARDI et S. KARP, Wiley, New York, 1976, XV 432 p., ISBN 0-471-28915-9.

The Optical Communication System (48 p.). - Counting Statistics (28 p.). - Conditional Poisson Counting (30 p.). - The Optical Detector Response Process (34 p.). - Noncoherent (Direct) Detection (32 p.). - Coherent (Heterodyne) Detection (32 p.). - Digital Communications. Binary Systems (52 p.). - Digital Communications. Block Coded Signaling (33 p.). - Parameter Estimation in Optical Communications (39 p.). - Time Synchronization (39 p.). - Pointing, Spatial Acquisition, and Tracking (31 p.). - Appendix A. Review of Probability Theory and Random Fields (8 p.). - Appendix B. Expansions of Fields into Series (5 p.). - Appendix C. Laguerre Polynomials (7 p.). - Appendix D. Random Channels (8 p.). - Index (5 p.).

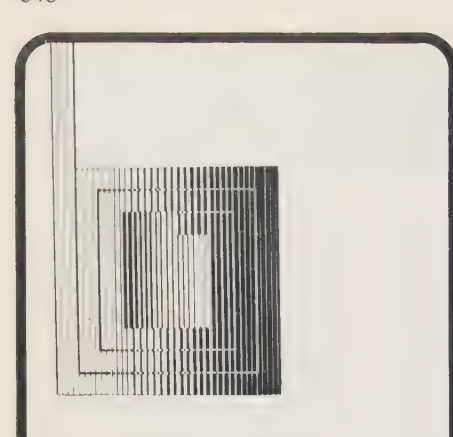
#### Convolution and Fourier transforms for communications engineers,

R. D. A. MAURICE,

Pentech press, London, 1976, 189 p., ISBN 0-7273-0301-5.

Introduction (7 p.). - Algebraic convolution and generating functions (16 p.) -. An example of algebraic convolution (8 p.). - Mathematical convolution (17 p.). - The delta function (3 p.). - Spectra and characteristic functions (6 p.). - Fourier transforms of the delta function (5 p.). - Response of linear circuits to transient excitations (15 p.). - Some of the rules for playing the Fourier transform game (2 p.). - Examples of use of the Fourier integral and convolution in broadcasting problems (54 p.). - Convolution division (11 p.). - Convolution squareroots (4 p.). - Differentiation and integration by convolution (6 p.). - Correlation (24 p.).

(suite page 548)



### Paris-avril 1978 BIOSIGMA78

colloque international sur les signaux et les images en médecine et en biologie

international conference on signals and images in medicine and biology

Secrétariat Général : 11 rue Hamelin -75783 PARIS Cédex 16 - France \$ 553.11.09-505.14.27 \$ SYCELEC PARIS 034 TX SYCELEC PARIS 611045 F

#### **LIVRES RECUS**

Appendix 1. An example of a Fourier-series expansion; Appendix 2. Algebraic long division: an example; Appendix 3. Arithmetic convolution division: same example as in appendix 2; Appendix 4.  $\int_{0}^{\infty} \cos mf/f^2 df$  (7 p.). - References (2 p.). - Index (1 p.).

#### Applied superconductivity, vol. 1,

Academic Press, New York, 1975, 401 p., ISBN 0-1251-7701-1.

List of contributors. - Preface. - Contents of volume II. - Josephson weak-link devices (111 p.). - Superconductive switches and amplifiers (97 p.). - Computer memory (58 p.). - Radiation detectors (41 p.). - Refrigerators and cryostats for superconducting devices (77 p.). - Index.

#### Applied superconductivity, vol. 2,

Academic Press, New York, 1975, 300 p., ISBN 0-1251-770-2.

List of contributors. - Preface. - Contents of volume I. - High-field superconducting magnets (102 p.). - Superconductive machinery (53 p.). - RF superconducting devices - Future prospects (100 p.). - Index for volume II (12 p.). - Index for volume I (15 p.).

#### Singular optimal control problems,

D. J. BELL and D. H. JACOBSON, Academic Press, 1975, 190 p., 1 5,80, ISBN 0-1208-5060-5.

Preface. - An historical survey of singular control problems (36 p.). - Fundamental concepts (24 p.). - Necessary conditions for singular optimal control (40 p.). - Sufficient conditions and necessary and sufficient conditions for non-negativity of nonsingular and singular second variations (52 p.). - Computational methods for singular control problems (20 p.). - Conclusion (10 p.). - Author index (4 p.). - Subject index (3 p.).

#### Analysis of drum and disk storage units,

S. H. FULLER,

*Springer*, Berlin, Heidelberg, New York, 1975, 283 p., ISBN 3-5400-7186-5.

Introduction (12 p.). - An analysis of drum storage units (43 p.). - Performance of an 1/0 channel with multiple paging drums (36 p.). - An optimal drum scheduling algorithm (52 p.). - The expected difference between the SLTF and MTPT drum (28 p.). - Random arrivals and MTPT disk scheduling disciplines (45 p.). - Conclusions and topics for further research (7 p.). - Appendix A. A simulator of computer systems with storage units having rotational delays (19 p.). - Appendix B. Implementation of the MTPT drum scheduling algorithm (9 p.). - Appendix C. Some efficient algorithms and data structures for handling permutations (8 p.). - Appendix D. An alternate derivation of Q(z): the moment generating function of sector queue size (3 p.). - References (4 p.).

#### Electricity and magnetism,

B. I. BLEANEY et B. BLEANEY,

Oxford University Press, London, 1976, 762 p., 3° édition, ISBN 0-1985-1140-X.

Electrostatics I (31 p.). - Electrostatics II (28 p.). - Current and voltage (38 p.). - The magnetic effects of currents and moving charges; and magnetostatics (34 p.). - Electromagnetic induction and varying currents (31 p.). - Magnetic materials and magnetic measurements (30 p.). - Alternating current theory (32 p.). - Electromagnetic waves (33 p.). - Filters, transmission lines, and waveguides (36 p.). - Dielectrics (36 p.). - Free electrons in metals (32 p.). - Theorem theory of metals (35 p.). - Super-conductivity (35 p.). - Paramagnetism (43 p.). - Ferromagnetism (36 p.). - Antiferromagnetism and ferrimagnetism (17 p.). - Semiconductors (36 p.). - Solid-state diodes (20 p.). - Solid-state triodes (22 p.). - Amplifiers and oscillators (21 p.). - Thermionic vacuum tubes (21 p.). - Alternating current measurements (29 p.). - Fluctuations and noise (20 p.). - Magnetic resonance. index (5 p.).

#### Phase locked loops, Applications to coherent receiver design,

A. BLANCHARD.

Wiley, London 1976, 389 p., ISBN 0-471-07941-3.

Working principles (5 p.). - Loop components (34 p.). - General equations (18 p.). Phase-locked loop stability (21 p.). Transient response (21 p.). - Sinusoidae operating conditions (37 p.). - Additive noise response (49 p.). - Response to random modulations (29 p.). Parameter variation (24 p.). - Natural acquisition of the input signal (38 p.). - Acquisition subsidiary devices (22 p.). - Nonlineas operation in the presence of noise (43 p.) Derived loops (7 p.). - Example of a rough draft of a coherent receiver (30 p.). - References (4 p.). - Index (4 p.).

#### A user's handbook of D/A and A/ $\overline{a}$ converters,

E. R. HNATEK,

Wiley, New York, 1976, 472 p., ISBN 0-471-40109-9.

General considerations (30 p.). - Converter specifications (35 p.). - Conversion processes (22 p.). - Digital-to-analog converters (155 p.). - Analog-to-digitation converters (126 p.). - Sample-and-hol circuits and multiplexers (98 p.). - Index (5 p.).

#### Quasilinear hyperbolic systems ann waves,

A. JEFFREY,

Pitman publishing Ltd, London, 1970 230 p., ISBN 0273-00102-7.

Nonlinear Equations and Quasilinear Systems (41 p.). - Hyperbolic Systems and Characteristics (39 p.). - Riemann Invarianand Simple Waves (47 p.). - Shock Wave (37 p.). - Development of Shocks from Lipschitz Continuous Data (51 p.). References (10 p.). - Index (4 p.).

#### 1976

#### Volume 56

#### Table des matières

#### Enseignement. Formation et perfectionnement.

Une expérience d'utilisation de moyens audiovisuels dans un er	nseignement d'électronique		
	R. MARAL et J. BLANLUET	Nº 11	466
Radar secondaire de surveillance (SSR) 1re partie	L. MILOSEVIC	N° 10	425
Radar secondaire de surveillance, 2º partie	L. MILOSEVIC	N° 11	447
Radar secondaire de surveillance, 3º partie	L. MILOSEVIC	Nº 12	449
Études géné	érales.		
Abaques permettant de déterminer les paramètres électrique diélectriques élevées J. C. PEUCH, R.	es de lignes microbandes à constantes CRAMPAGNE, J. DAVID et J. CAUDRILLER	N° 3	151
Calcul des éléments du schéma équivalent de discontinuités er . R.	n structure microbande CRAMPAGNE, B. MANGUIN et S. LEFEVRE	N° 1	10
Caractérisation énergétique du bruit dynamique dans un systèn S. L. AUCOUTURIER	ne logique R, J. P. DOM, G. LACROIX et J. J. RIVIÈRE	N° 10	397
Comparaison algébrique des matérialisations NAND-NOR de f	_ :	NIO O	4.40
Determination of fatigue strength and flaw size distribution for	D. DUBUS et A. TOSSER strong fibers C. K. KAO	N° 3 N° 12 bis	142 606
New optical planar coupler in a data bus system with single mu		N° 12 bis	607
Dptimalisation du produit gain-bande passante d'un réseau de		14 12 013	007
Parities and a product gam barrae passante a un resour de	J. R. SOUMAGNE et J. A. CUMMINS	N° 5	256
Les théories de la propagation dans les fibres : résultats des tra-			E04
n ultimate low « windox » in doped silica glass optical fiber	A. COZANNET et A. SNYDER	N° 12 bis	561
	ANAI, O. FUKUDA, K. SANADA et S. ARAKI	N° 12 bis	600
Composants électroniques	et microélectroniques.		
es condensateurs au tantale à diélectrique dopé	B. ESCHER et J. C. MOULIN	N° 3	114
Détecteurs nucléaires à semi-conducteur	B. SCHAUB	N° 2	51
Détermination de l'orientation d'une lame de quartz rectangul	aire H. MERIGOUX et J. F. DARCÈS	N° 6-7	311
iffets des rayonnements nucléaires sur les transistors de puissa		N° 3	119
Lignes à ondes élastiques de surface	E. DIEULESAINT et D. ROYER	N° 4	180
Modèle de transistor bipolaire	COTTIN	N° 12	505
diodo i iiv	DUMANT, C. Y. BOISROBERT et J. DEBEAU	N° 12 bis	609
)bservation des phénomènes de claquage et de multiplication méthode de balayage optique	J. R. LEGUERRE et R. MORELIÈRE	N° 3	126
c'hotomultiplicateur multianodes à microcanaux pour la localisa	ition et comptage de photons	NI O	
D. f.	J. P. BOUTOT et J. C. DELMOTTE R. SELWAY, A. R. GOODWIN et P. A. KIRBY	No 2	59 576
Actinical radio 161 april 201	B. COURTAN et P. PONCHON	N° 12 bis	103
wbes cathodiques à mémoire		N. 5	247
cubes cathodiques pour oscilloscopie jusqu'à 1 GHz	A. ALDERTIN	14. 5	247

#### Télécommunications — Radiodiffusion — Télévision.

Amplification à propagation d'ondes à semi-conducteurs  S. LEFEUVRE et V. FOUAD-HANNA	Nº 10	4
Amplificateurs hyperfréquences à diode Gunn, avalanche et baritt E. CONSTANT et B. CARNEZ	N° 8-9	34
Effets non linéaires dans l'eau et antennes acoustiques paramétriques P. TOURNOIS et B. FROMONT	N° 1	1
État actuel des amplificateurs à transistors faible bruit aux hyperfréquences  B. LORIOU	N° 8-9	34
Exemples de réalisation d'oscillateurs utilisant les ondes élastiques de surface		
B. DESORMIÈRE et P. HARTEMANN	N° 4	18
Du hertz au gigahertz : les oscillateurs à quartz.  J. J. GAGNEPAIN et J. UEBERSFELD	N° 4	177
Introduction des fibres dans les systèmes civils et militaires M. AUNIS et P. LECAT	N° 12 bis	593
Note sur l'analyse des distorsions en modulation de fréquence par une méthode d'approximation		
G. L. LUKATELA	N° 1	
Mesures des caractéristiques de transmission de conducteurs optiques		
L. JEUNHOMME, A. COZANNET, R. BOUILLIE et J. P. HAZAN	N° 12 bis	568
Un nouveau démodulateur SECAM à comptage d'impulsions réalisé en technologie TTL Z. HAJOS	N° 4	200
Le nouveau système de commutation téléphonique électronique de la Deutsche Bundespost	N° 11	455
P. GERKE	N° 11	450
Nouvelles conceptions de télécinémas couleur : comparaison entre télécinéma à caméra et télécinéma à spot mobile  M. FAVREAU	N° 12	51
Nouvelle génération de télécinéma couleur pour films 16 mm.  S. VIDAL	N° 12	522
Oscillateurs à quartz condensés en température. Calcul du réseau de compensation A. BERTRAND	N° 6-7	300
Oscillateur à quartz de bord. Applications R. MOREAU, M. VALDOIS et A. DUPUY	N° 6-7	299
Oscillateurs à ondes élastiques de surface  J. HENAFF	N° 4	188
Un pas de plus dans le codage numérique des images TV MM. Y. ANGEL et G. FROMONT	N° 12	520
Réalisation d'un câble à conducteurs optiques pour les transmissions numériques dans les systèmes de		
télécommunications R. JOCTEUR	N° 12 bis	574
Réalisation industrielle d'une liaison optique à 2 mb/s M. ALLIAS	N° 12 bis	611
Le résonateur à quartz : ondes de volume P. MESNAGE	N° 6-7	28
Sources stables commandées en fréquence C. BEAUVY	N° 6-7	300
La structure du bruit dans le système de télévision en couleur SECAM G. J. MITROFAN	N° 4	1 39
Systèmes de communications optiques à bord d'avions T. A. HAWKES et J. C. REYMOND	N° 12 bis	588

#### Calculateurs électroniques — Automatismes.

Une console graphique hybride pour un système de calcul hybride

Synthétiseur de Fourier

Unités et étalons électriques. Rôle du BIPM

J. KRIZE Nº 11

G. LECLERC Nº 5

45

40

23

#### Métrologie - Mesure.

S. CHRISTENSEN et I. MATTEWS	N° 5	24
P. DURNERIN	N° 5	23
G. LECOY, D. RIGAUD et F. SEGUI	N° 10	40
ux hyperfréquences		
D. MILANOVIC	N° 3	14
ROUSSY, C. BOURLIER et F. DIEBOLD	N° 4	2C
C. J. ENLOW et R. HERNDAY	N° 10	41
R. PAPAIECK et R. COE	Nº 10	41
M. OLIVIER et G. MARIANNEAU	N° 6-7	29
	P. DURNERIN G. LECOY, D. RIGAUD et F. SEGUI JX hyperfréquences D. MILANOVIC ROUSSY, C. BOURLIER et F. DIEBOLD C. J. ENLOW et R. HERNDAY R. PAPAIECK et R. COE	P. DURNERIN N° 5 G. LECOY, D. RIGAUD et F. SEGUI N° 10  JX hyperfréquences D. MILANOVIC N° 3  ROUSSY, C. BOURLIER et F. DIEBOLD N° 4 C. J. ENLOW et R. HERNDAY N° 10 R. PAPAIECK et R. COE N° 10

H. MATHIEU, J. M. DANDONNEAU et J. R VELLAS Nº 10

E. KAHN N° 5

267

#### Électronique nucléaire et corpusculaire.

Applications des spectromètres Si(Li) dispersifs en énergie	FRIANT	N٥	2	69
Fluctuations temporelles dans les photomultiplicateurs. Applications à la détection de signaux lum de faible flux  J. A. MIEHE et B		N°	2	54
Le laser et la fusion thermonucléaire contrôlée (1 <sup>re</sup> partie)  J. L.	BOBIN	Nº 6	6-7	319
Le laser et la fusion thermonucléaire contrôlée (2° partie)  J. L.	BOBIN	Nº 8	8-9	347
Méthodes de mesure d'impulsions lumineuses picosecondes  M. DECRO	ISETTE	N٥	1	1
Semiconducteurs amorphes en détection d'ions lourds J. M. MACK	OWSKI	N٥	2	75
Les sources d'impulsions lumineuses brèves et leurs applications  J. L.	BODIN	N٥	2	81
Techniques biomédicales.				
Considérations sur l'avenir des prothèses respiratoires  J. TRÉMOI	LIÈRES	Nº 1	11	472
Effets physiques des ultrasons et conséquences éventuelles dans le domaine biomédical		N٥	1	28
Holographie ultrasonore M. L. GAULARD et C. PIC		Nº 8		372
Divers.				
Amélioration de la convergence d'algorithmes d'optimalisation appliquées à la conception assiste ordinateur des circuits électriques  A. BENSA		N٥	3	133
Détection angulaire d'ondes planes de surface par analyse de Fourier J. FLEURET et G. HA	AIMAN	Nº 6	6-7	313
Dispositif de contrôle automatique de l'usure des fils de contact équipant les lignes ferroviaires électri H. MATHIEU, J. M. DANDONNEAU et G. R		Nº 1	1	479
Fabrication en masse de silice pour fibres optiques  M. ACHENER et M. F	HABER	Nº 1	2 bis	603
High deposition rate CVD method with helium gas				
T. AKAMATSU, K. OKAMURA, Y. UEDA, K. INOUE et T. UNC	TORO	Nº 1	2 bis	602
Lévitation électromagnétique d'une sphère solide conductrice G. DEVELEY, C. BECLE, JL. GLIMOIS et M. SAII	LLARD	N٥	4	210
Performance and price predictions for doped deposited silica fibers  M. G. J.			2 bis	559
Structure de câble pour fibres optiques et procédés de raccordement M. LE N	NOANE	Nº 1	2 bis	583
Synthèse d'une image nuancée évolutive sur écran matriciel J. BERNARD, P. GARCIA et C. BO	ONNET	N٥	1	24
Un système d'analyse de sons par ordinateur fonctionnant en mode conventionnel				
S. CHABREL et G. CHARBON	INEAU	N° 8	3-9	358

Traitement automatique des images appliqué aux photographies de circuits imprimés dessinés à la main

N° 2, 51-102 N° 3, N° 6-7, 289-340 N° 8-9, 341-396 N° 10, 397-446 N° 12, 499-546 N° 12 bis, 553-614

103-172 N° 4, 173-230

ACHENER M., 603 ALBERTIN A., 247 ALLIAS B., 613 ANGEL Y., 529 ARAKI S., 600 AUCOUTURIER S. L., 397 **AUNIS M., 597** 

В

BEAUVY C., 308
BECLE C., 210
BENSASSON A., 133
BERNARD J., 24
BERTRAND A., 303
BLANLUET J., 466
BOBIN J. L., 319, 367, 81.
BOISROBERT C. Y., 609
BOUILLIE R., 564
BOURLIER C., 204
BOUTOT J. P., 59

CARNEZ B., 349 CAUDRILLER J., 151
CHABREL S., 358
CHARBONNEAU G., 358
CHINCHOLLE L., 28
CHRISTENSEN S., 241 COE R., 410
CONSTANT E., 349
COTTIN P., 505
COURTAN B., 103
COZANNET A., 561, 564
CRAMPAGNE R., 10, 151 CUMMINS J. A., 256

DANDONNEAU J. M., 407 DARCÈS J. F., 311 DAVID J., 151 DEBEAU J., 609 DEBEAU J., 609 DECROISETTE M.. 1 DELMOTTE J. C., 59 DESORMIÈRE B., 186 DEVELEY G., 210 DIEBOLD F., 204 DIEULESAINT E., 180 DOM J. P., 397 DUBUS D., 142 DUMANT J. M., 609 DUPUY A., 297 DURNERIN P., 238

ENLOW C. J., 417 ESCHER B., 114

FAVREAU M., 514 FLEURET J., 313 FOUAD-HANNA V., 341 FRIANT A., 69 FROMONT B., 17 FROMONT F., 529 FUKUDA O., 600

G

GAGNEPAIN J. J., 175 GARCIA P., 24 GAULARD M. L., 372 GERKE P., 455 GLIMOIS J. L., 210 GOODWIN A. R., 576

н

HABER M., 603 HAIMAN G., 313 HAJOS Z., 200 HARTEMANN P., 186 HARTEMANN P., 180 HAWKES H., 589 HAZAN J. P., 564 HENAFF J., 189 HERNDAY R., 417 HORIGUCHI M., 600

JARL R. B., 119 JOCTEUR R., 572 JEUNHOMME L., 564

KAHN E., 267 KAO C. K., 606 KIRBY P. A., 576 KOJI OKAMURA, 602 KOZO INOUE, 602 KRIZE J., 459

LACROIX G., 397 LECAT P., 597 LECLERC G., 231 LECOY G., 403 LEFEUVRE S., 341 LE FEVRE S., 10 LEGUERRE J. R., 126 LE NOANE G., 583 LORIOU B., 345 LUCY G. J., 559 LUKATELA G. L., 5

MACKOWSKI J. M., 75 MANGIN B., 10
MARAL G., 466
MARIANNEAU G., 293
MATHIEU H., 407
MATTEWS I., 241 MERIGOUX H., 311 MESNAGE P., 289 MIEHE J. A., 54

MILANOVIC D., 147 MILANOVIC D., 147 MILOSEVIC L., 425, 447, 499 MOREAU R., 297 MITROFAN G. J., 197 MORELIÈRE R., 126 MOULIN J. C., 114

0

OLIVIER M., 293 OSANAI H., 600

PAPAIECK R., 410 PEUCH J. C., 151 PICHARD C., 372 PONCHON P., 103

REYMOND J. C., 589 RIGAUD D., 403 RIVIÈRE J. J., 397 ROUAN G., 479 ROYER D., 180 ROUSSY G., 204

SAILLARD M., 210 SANADA K., 600 SCHAUB B., 51 SEGUI F., 403 SELWAY P., 576 SIPP B., 54 SNYDER A., 561

T

TAKATA H., 600 T. AKAMATSU, 602 T. UNOTORO, 602 TOSSER A., 142 TOURNOIS P., 17 TREMOLIÈRES J., 472

UEBERSFELD J., 175

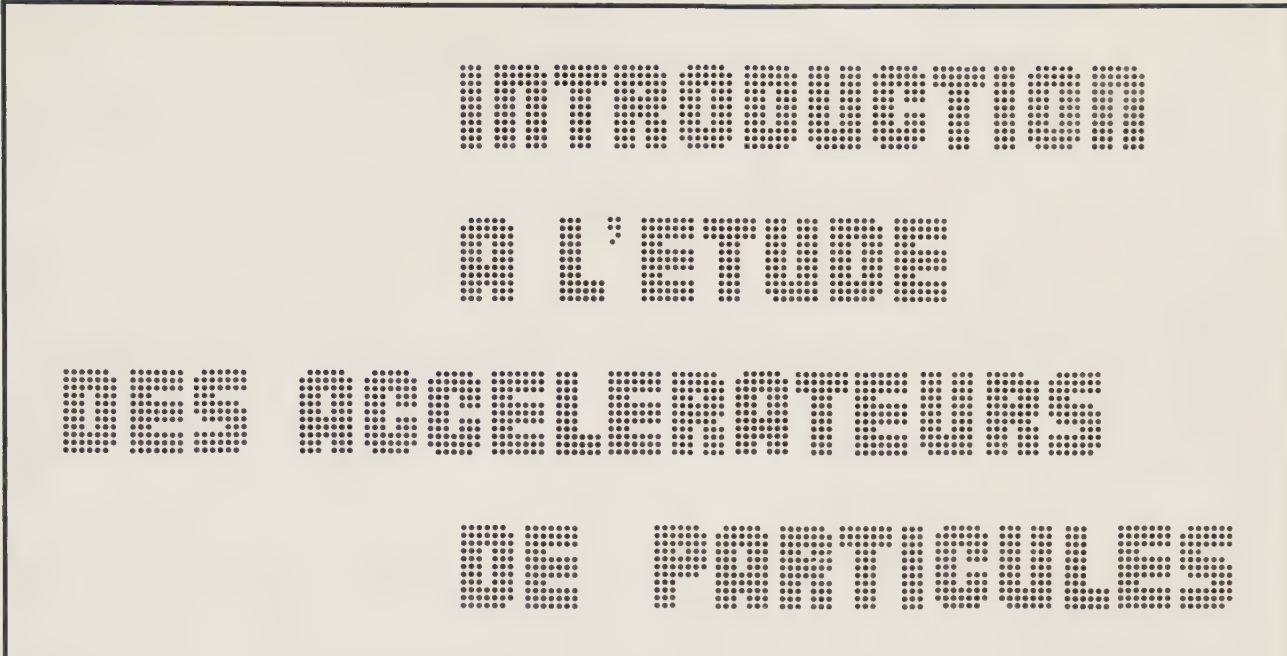
VALDOIS M., 297 VELLAS J. R., 407 VIDAL S., 523

W

WITTE H. H., 607

γ

Y. UEDA, 602



Tome II. Bombardement de la matière par des particules rapides. Rayonnements secondaires. Les accélérateurs. Outils de physique.

#### R. R. WARNECKE

L'ouvrage présente plusieurs caractéristiques qui lui donnent un intérêt particulier :

- élaboré pour des non spécialistes, il vise à faire passer, progressivement, le lecteur scientifique du niveau d'une "physique générale" au niveau d'une physique "approfondie";
- centré sur les problèmes de l'utilisation des faisceaux des accélérateurs de la physique nucléaire et de la physique subnucléaire, il apporte de nombreuses informations utiles au lecteur travaillant dans d'autres domaines : celui de la physique des plasmas, par exemple.
- il présente de très nombreuses illustrations (plus de 500 figures) dont beaucoup fournissent des précisions susceptibles d'intéresser des lecteurs déjà bien en contact avec

ces problèmes; d'autre part, il est largement pourvu de références permettant de trouver facilement dans la littérature des renseignements complémentaires (plus de 1 800 originaux sont cités, ainsi que plusieurs dizaines d'ouvrages classiques ou spécialisés).

Co-édition Éditions Masson (Paris) Séditas (Paris). Volume broché, 1126 p., 516 fig., 260 F (prix au 15.07.76).

#### Rappel

Tome I. Théories de base et relations fondamentales. Particules élémentaires. 516 pages, 86 figures. 130 F.

Pour commander l'ouvrage

Introduction à l'étude des accélérateurs de particules. (R. R. WARNECKE). Tome I : 130 F - Tome II : 260 F. (prix au 15.07.76)

ou recevoir une documentation, adressez-vous à votre libraire ou retournez ce bon accompagné de votre règlement aux Éditions Masson – 120, bd Saint-Germain, 75280 Paris cedex 06 – (commande par correspondance : joindre 5 F de participation aux frais de port).

Nom :		-
Adresse :	·	
. 0	Code postal	i t
MASS	ON	

#### Communiqué de la

#### Société des électriciens, des électroniciens et des radioélectriciens

Dans le cadre de sa mission d'enseignement et de perfectionnement la Société des électriciens, des électroniciens et des radioélectriciens propose:

#### LA FORMATION CONTINUE A SUPELEC

#### Pourquoi la formation continue?

Il y a quelques années, un diplôme de fin d'études était une étape finale dans la formation. Sur le plan officiel au moins, car, poussé par l'évolution scientifique et technique, chacun devenait en réalité autodidacte au fil des ans.

Cependant, apprendre n'est pas chose facile aussi bien lorsque l'on a peu de documentation que lorsque l'on en a trop. Autant il est aisé de suivre l'évolution d'une discipline que l'on connaît bien, autant il est difficile de s'initier aux techniques nouvelles qui apparaissent.

C'est pourquoi l'idée d'une formation continue (ou permanente) a fait son chemin jusqu'à aboutir à la loi du 16 juillet 1971.

Quel est donc l'objectif de la formation permanente? Certes on peut y chercher une réponse à des besoins immédiats et la formation continue peut l'apporter; mais, bien plus, elle est un « investissement ». Elle constitue la gymnastique de l'esprit en même temps qu'une mise à jour régulière des connaissances.

#### Pourquoi à Supelec?

La Société des électriciens, des électroniciens et des radioélectriciens a créé l'École Supérieure d'Électricité en 1885. L'ESE a pour vocation première la formation d'ingénieurs dont le niveau et la qualité sont à la hauteur de sa réputation.

Cependant dès 1961, elle créait des sessions de perfectionnement, pressentant ce besoin de formation continue dix ans avant la promulgation de la loi de 1971. Ces sessions connurent un succès grandissant.

Depuis lors, l'ESE a proposé un nombre croissant de sessions, tant dans le domaine scientifique, qu'en langues, mettant ainsi son expérience à la portée du plus grand nombre.

L'efficacité y est assurée par la compétence de son corps enseignant par des méthodes et des documents appropriés à la formation des adultes et par des laboratoires équipés d'un matériel adapté.

#### La formation pour qui?

A l'origine, les sessions de perfectionnement à caractère technique organisées par l'École Supérieure d'Électricité étaient destinées aux Ingénieurs des branches d'activité de son domaine.

Depuis, un effort particulier a été fourni afin de rendre ces sessions accessibles aux ingénieurs autodidactes ou appartenant à d'autres branches d'activité ainsi qu'aux techniciens supérieurs. De plus, des sessions spéciales « préparatoires » ont été prévues pour apporter les rappe et compléments de mathématiques, de circuits électriques et d'électrotechnique permettant de suivre les autres stages avec le maximum de prof

Dans le domaine des langues, le corps enseignant de l'École Supérieure d'Électricité, qui s'est spécialisé dans la formation des adultes dispose de programmes et de méthodes adaptés à tous les publics et à tous les niveaux (des tests de niveau peuvent être passés sans auci engagement).

#### Liste des sessions de perfectionnement

Référence	Lieu (*)	Titre	Durée en jours ouvrables (**)	Dates (1977) (***)
		SESSIONS PRÉPARATOIRES		
P2 P3 SAM1	G/Y G/Y G/Y G/Y G/Y	Session préparatoire : Mathématiques et circuits électriques Session préparatoire : Mathématiques et circuits électriques Session préparatoire : Mathématiques et circuits électriques Session préparatoire : Base de l'Électrotechnique Session annuelle de mathématiques appliquées	10 5 + 5 10 5	17.01 au 28.01 23.05 au 27.05 20.06 au 24.06 14.11 au 25.11 28.11 au 02.12
		MATHÉMATIQUES APPLIQUÉES		.,,,,,,,,,,,,,,,,,,,,,,,,,,,,,,,,,,,,,,
SAM 1 A1 A4 A5 A6	G/Y G/Y G/Y G/Y G/Y	Session annuelle de mathématiques appliquées Mathématiques modernes appliquées Mathématiques modernes appliquées Introduction à la théorie des distributions Probabilités et statistiques Aide à la décision (Recherche opérationnelle)	Ter 10 10 7 5 5	mps partiel 02.05 au 13.05 21.11 au 02.12 29.09 au 07.10 07.03 au 11.03 06.06 au 10.06
		SIGNAL		
L3 L4 L5	G/ <b>Y</b> G/Y G/Y	Traitement numérique du signal : Théorie et pratique Transmission des signaux : Modulations et restitutions Les boucles à asservissement de phase - Techniques modernes de traitement des signaux	5 9 5	28.02 au 04.03 31.05 au 10.06 07.03 au 11.03

 <sup>(\*)</sup> G/Y: Gif-sur-Yvette. R: Rennes.
 (\*\*) Le Samedi et le Dimanche restent libres.
 (\*\*\*) Des dates différentes de celles indiquées peuvent être envisagées à la demande.

Référence	Lieu (*)	Titre	Durée en jours ouvrables (**)	Dates (1977) (***)
	,	INFORMATIQUE		
D1	G/Y G/Y	Les ordinateurs et leurs applications Les ordinateurs et leurs applications	10 10	07.03 au 18.03 20.06 au 01.07
D2	G/Y G/Y	Les ordinateurs et leurs applications Initiation à la programmation (Langage FORTRAN)	10	14.11 au 25.11 25.04 au 29.04
DR3	G/Y R	Initiation à la programmation (Langage FORTRAN) Téléinformatique : Principes et applications	5 5	24.10 au 18.10 02.05 au 06.05
DR4	R R	Mini-ordinateurs; Architecture, software et mise en œuvre Mini-ordinateurs: Architecture, software et mise en œuvre	10 10	10.01 au 21.01 07.03 au 18.03
DR5	R R	Mini-ordinateurs: Architecture software et mise en œuvre Les microprocesseurs: Principes, mise en œuvre et applications	10 5	14.11 au 25.11 31.01 au 04.02
	R R	Les microprocesseurs : Principes, mise en œuvre et applications Les microprocesseurs : Principe, mise en œuvre et applications	5 5	23.05 au 27.05 19.09 au 23.09
DR6 C6	R G/Y	Programmation structurée et bases de données Calculateurs dans les processus industriels	5 7	24.10 au 28.10 16.03 au 24.03
	G/Y	Calculateurs dans les processus industriels  AUTOMATIQUE	7	12.10 au 20.10
A3	G/Y	Systèmes linéaires : Analyse-Synthèse des cricuits passifs et actifs	10	14.03 au 25.03
C2 C3	G/Y G/Y	Systèmes logiques combinatoires et cirsuits associés Servomécanismes, régulation, électronique associée	4	31.05 au 03.06 07.03 au 18.03
C3 C4	G/Y G/Y	Servomécanismes, régulation, électronique associée Théorie et pratique des asservissements	10 ·	10.10 au 21.10 06.06 au 17.06
C5	G/Y G/Y	Théorie et pratique des asservissements Filtrage et commande statictiques des systèmes analogiques et numé-	10	05.12 au 16.12
C6	G/Y	riques Calculateurs dans les processus industriels	C	02.05 au 06.05 16.03 au 24.03
C7	G/Y G/Y	Calculateurs dans les processus industriels Systèmes séquentiels	. 7 . 5	12.10 au 20.10 25.04 au 29.04
C8	G/Y G/Y	Systèmes séquentiels Identification et commande de processus	5 5	28.11 au 02.12 20.06 au 24.06
GR5	R	Automates programmables : structures et applications	4	13.06 au 16.06
		MESURES		
H7	. G/Y	Bruits dans les systèmes électroniques (définitions, propriétés, mesures)	7	12.10 au 20.10
J1	G/Y	Acquisition de données : mesures électroniques, capteurs, enregistrement	10	31.01 au 11.02
	G/Y	Acquisition de données : mesures électroniques, capteurs, enregistrement	10	02.05 au 13.05
	G/Y	Acquisition de données : mesures électroniques, capteurs enregistre- ment	10	14.11 au 25.11
		ÉLECTROTECHNIQUE		
B4 B6	G/Y G/Y	Vitesse variable par l'électronique Électronique industrielle	6 10	17.02 au 24.02 02.05 au 13.05
M1	G/Y G/Y	Électronique industrielle Moteurs électriques d'asservissement et capteurs associés	10 5	26.09 au 07.10 25.04 au 29.04
M2	G/Y	Méthodes modernes d'étude des régimes transitoires des machines tournantes	10	14.03 au 25.03
P3	G/Y	Session préparatoire : Bases de l'Électrotechnique	5	28.11 au 02.12
		ÉLECTRONIQUE		
B1	G/Y	Electronique fondamentale Introduction à l'électronique	10	21.02 au 04.03
	G/Y G/Y	Introduction à l'électronique Introduction à l'électronique	10 10	20.06 au 01.07 28.11 au 09.12
H3 H4	G/Y G/Y	Électronique linéaire : théorie et pratique Électronique non linéaire en basse et moyenne fréquence : théorie et		13.06 au 24.06
В7	G/Y	pratique Amplificateurs opérationnels	10 5 5	05.12 au 16.12 24.01 au 28.01 24.10 au 28.10
A3	G/Y G/Y	Amplificateurs opérationnels  Systèmes linéaires : Analyse-synthèse des cricuits passifs et actifs Électronique modulaire analogique et de conversion		14.03 au 25.03 21.03 au 01.04
H1	G/Y	Logique  Logique	10	21.03 au 01.04
C2 C7	G/Y G/Y	Systèmes logiques combinatoires et circuits associés Systèmes séquentiels	4 5	31.05 au 03.06 25.04 au 29.04
H6	G/Y G/Y	Systèmes séquentiels Électronique logique : mémoires et microprocesseurs	5 8	28.11 au 02.12 09.05 au 18.05

<sup>(\*)</sup> G/Y : Gif-sur-Yvette. R : Rennes. (\*\*) Le Samedi et le Dimanche restent libres. (\*\*\*) Des dates différentes de celles indiquées peuvent être envisagées à la demande.

Référence	Lieu (*)	Titre	Durée en jours ouvrables (**)	Dates (1977) (***)
		Electronique de puissance		
В6	G/Y	Électronique industrielle	10 10	02.05 au 13.05 26.09 au 07.10
В4	G/Y G/Y	Électronique industrielle Vitesse variable par l'électronique	6	17.02 au 24.02
		Communications et transmissions		
В9	G/Y	Électronique rapide	10	07.02 au 18.02
F2	G/Y	Initiation aux hyperfréquences	5	03.10 au 07.10
H5	G/Y	Électronique HF	5	25.04 au 29.04
H7	G/Y	Bruits dans les systèmes électroniques (définitions, propriétés,	7	10.10 01.10
		mesures)	7	13.10 au 21.10
L1	G/Y	Optoélectronique	5 5	31,01 au 04.02 13.06 au 17.06
1.4	0.07	Optoélectronique	9	31.05 au 10.06
L4	G/Y G/Y	Transmission des signaux : modulations et restitutions Les boucles d'asservissement de phase - Techniques modernes de	Э	31.05 au 10.00
L5	G/T	traitement des signaux	5	07.03 au 11.03
		Dispositifs et composants		
E2	G/Y	Les composants électroniques et leur fiabilité	8	27.04 au 06.05
ER3	R	Microélectronique	9	13.06 au 23.06
ER5	R	Dispositifs semi-conducteurs : physique et caractéristiques électriques		26.09 au 30.09
E7	G/Y	Phénomènes de contact électrique	4	31.01 au 03.02
	G/Y	Phénomènes de contact électrique	4	27.06 au 30.06
		GESTION ET MARKETING		•
A6	G/Y	Aide à la décision (Recherche opérationnelle)	5	06.06 au 10.06
K1	G/Y	Initiation au marketing industriel	10	indéterminée
K2	G/Y	Gestion et économie de l'entreprise	9	11.10 au 21.10

#### SESSION EN PRÉPARATION

Cette session aura lieu en 1977 à une date non encore fixée

Référence	Lieu (*)	Titre	Durée en jours ouvrables
ER6	R	Aides de l'ordinateur en microélectronique	5

#### LANGUES VIVANTES

SESSIONS ANNUELLES PAR GROUPES SAG SESSIONS INTENSIVES COURTES PAR GROUPES SIG CYCLES INTENSIFS INDIVIDUELS PERSONNALISÉS CIP CYCLE PAR CORRESPONDANCE CPC ACTIVITÉS DE CONSEIL

#### Sessions à la demande

De part sa vocation traditionnelle de pionnier de l'enseignement, l'ESE ne pouvait se satisfaire des formules inter-entreprises au programm prévu à l'avance. Elle se devait d'apporter des formules nouvelles adaptées à un public donné.

C'est pourquoi : toute session peut être organisée suivant la formule à temps partiel.

L'ESE organise également des sessions personnalisées adaptées à une demande particulière.

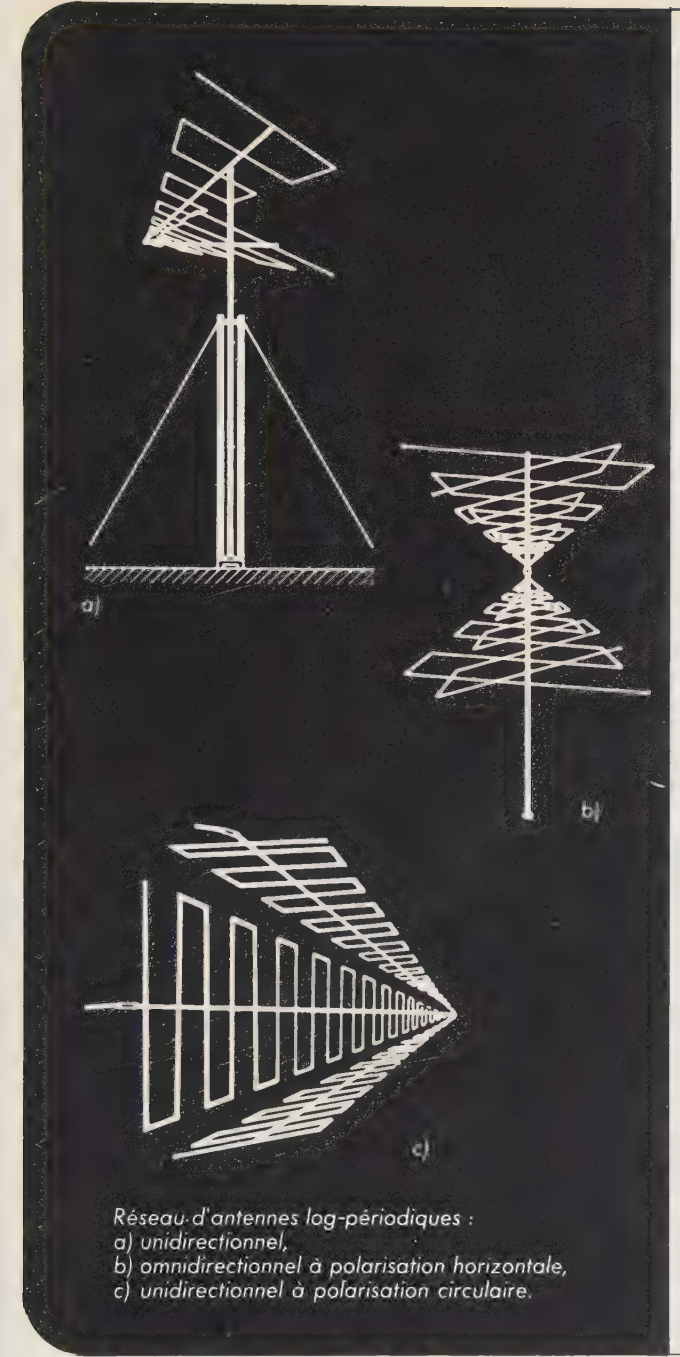
Ces sessions, faisant l'objet d'une convention entre l'organisme demandeur et l'ESE sont bâties à partir d'un programme « sur mesures adapté à un objectif donné et à un public particulier. Elles peuvent être d'une durée variant de quelques jours à plusieurs mois. Un contrô des connaissances peut enfin être organisé et donner lieu à la délivrance d'une attestation de niveau.

#### Où ont lieu ces sessions?

L'ESE organise des stages de formation continue dans ses nouveaux locaux en région Parisienne à Gif-sur-Yvette et en province à Renner Elle y dispose des moyens les plus modernes (locaux, matériel...) ainsi que d'un centre d'accueil adapté (restaurant, cafétéria, installation sportives : tennis, ping-pong, voley-ball, hand-ball...). L'Antenne de Rennes dispose en plus d'un hôtel à la disposition des participants. Gif-sur-Yvette, des adresses d'hôtels en région parisienne sont communiquées aux participants.

Renseignements : École Supérieure d'Électricité (formation continue), Plateau du Moulon, 91190 Gif-sur-Yvett (tél. 941.80.40).

<sup>(\*)</sup> G/Y : Gif-sur-Yvette. R : Rennes.
(\*\*) Le Samedi et le Dimanche restent libres.
(\*\*\*) Des dates différentes de celles indiquées peuvent être envisagées à la demande.



## antennes à large bande

Théorie et applications

#### G. DUBOST et S. ZISLER

Aujourd'hui encore, le recours tout récent aux satellites comme relais, la nécessité de transmettre des signaux toujours plus rapides et compliqués pour satisfaire à de multiples besoins d'un haut intérêt, on fait apparaître de nombreux types nouveaux d'antennes. C'est à une catégorie fort importante de ces nouveautés, les antennes à large bande, qu'est consacré cet ouvrage.

Une partie du livre est consacrée à la présentation d'un résumé des travaux spécialisés anciens américains, allemands et français. Une autre partie tient compte d'une part de travaux théoriques et expérimentaux récents élaborés au laboratoire antennes et rayonnement de l'Université de Rennes, et d'autre part, de résultats de développements obtenus ces dernières années à la Compagnie Thomson-CSF à Paris. De nombreux résultats pratiques sont donnés pour permettre à l'homme de l'art d'établir rapidement des projets à partir de cahiers des charges.

Volume broché, 352 pages, 222 figures, 120 F (prix au 15.07.76).

Veuillez m'adresser l'ouvrage Antennes à large bande (G. DUBOST et S. ZISLER), 120 F (Prix au 15.07.76). ISBN 222544825-6.

J'acquitte le montant de ma commande par :

- ☐ Chèque bancaire joint.
- ☐ C.C.P. (joindre les 3 volets).
- ☐ Mandat-lettre.

Remettez ce bon accompagné de votre règlement à votre libraire (commande par correspondance : joindre 5 F de participation aux frais de port).

Nom :	 	 	
Adresse:			

Code postal



120, bd Saint - Germain, 75280 Paris cédex 06.

#### INDEX DES **ANNONCEURS**

THOMSON SCF	1 re	С
RTC La Radiotechnique Compelec	<b>2</b> e	C
MASSON Éditeur	3e	C
MARCONI INSTRUMENTS	<b>4</b> e	С

	Pages
BRUEL et KJAER	X
CEE	XIII
CGCT	XI
EMITRONICS	IX et XVI
ENST	VII, XII et XIV
GIEL	XIII et 548
HEWLETT PACKARD	XV et 532
MARCONIINSTRUMENTS.	IV
MESCAN	546
PLESSEY	VIII
RTC La Radiotechnique Compelec	1
SEE	XXIII
TEKELEC AIRTRONIC	II
THOMSON CSF	Ш
USTC	XIII
********	

#### L'ONDE ÉLECTRIQUE

MASSON Éditeur . . . . . . XVII et XXI

OE Service lecteur ..... XXXIII

nº 12 décembre 1976

Ce numéro a été tiré à 9 000 exemplaires



© 1976, Masson et C1e, Paris

Tous droits de traduction, d'adaptation et de reproduction par tous procédés réservés pour tous pays

La loi du 11 mars 1957 n'autorisant, aux termes des alinéas 2 et 3 de l'article 41, d'une part, que les copies « ou reproductions strictement réservées à l'usage privé du copiste et non destinées à une utilisation collective » et, d'autre part, que les analyses et les courtes citations dans un but d'exemple et d'illustration, « toute représentation ou reproduction intégrale, ou partielle, faite sans le consentement de l'auteur ou de ses ayants droit ou ayants cause, est illicite » (alinéa 1er de l'article 40).

Cette représentation ou reproduction, par quelque procédé que ce soit, constituerait donc une contrefaçon sanctionnée par les articles 425 et suivants du Code pénal. La loi du 11 mars 1957 n'autorisant, aux termes

suivants du Code pénal.

#### RÉPERTOIRE DES **ANNONCEURS**

#### L'ONDE ÉLECTRIQUE 1976

ADRET ÉLECTRONIQUE AEG TELEFUNKEN AIL France ANALOG DEVICES BRUEL et KJAER **BRYANS** CARBOXYQUE FRANÇAISE CEPE CETEHOR CGCT CGE CILAS DATEL SYSTEMS École Polytechnique Fédérale Lausanne **ELECTRONICA 76 EMITRONICS ENST** FORT GENRAD **GETELEC** GIEL GISCO HEWLETT PACKARD INTER COMPOSANT ISC ITT KOVACS LABORATOIRES DE MARCOUSSIS LA SIGNALISATION LEA LETI LTT MARCONI INSTRUMENTS MESCAN MESUCORA 76 MOTOROLA **PHIRAMA PLESSEY** QUARTZ et ÉLECTRONIQUE QUARTZ et SILICE RADIALL RANK OPTICS RAPY REA RTC La Radiotechnique Compelec SCAIB SCHLUMBERGER SDSA SECRE SFF SESCOSEM SIEMENS SOCAPEX SSR INSTRUMENTS **TADIRAN TECHMATION** TECHNIQUE D'AUTOMATISME TEKELEC AIRTRONIC **TEKTRONIX** TELEDYNE PHILBRICK THOMSON CSF TONY DAVIES COMMUNICATIONS UNIVERSITÉ DE COMPIÈGNE USTC VARIAN VITRAMON WANDEL et GOLTERMANN YREL

#### Recommandations aux auteurs

Nous attirons l'attention des auteurs s le fait que la majorité des lecteurs ne so pas familiers avec leurs spécialités. importe donc que l'article soit rédigé por des lecteurs curieux, mais non avertis.

La concision, non seulement rend texte plus accessible, mais aussi en accélè notablement la publication.

Le titre, court, doit renfermer uniquement des mots significatifs. Il peut êt complété par un sous-titre.

Manuscrit. Il sera dactylographié (25 ligna par page) (deux exemplaires), les titres sous-titres de même valeur seront signal d'une façon identique tout au long

Noms et prénoms des auteurs seron indiqués avec l'adresse du laboratoire, centre ou de l'entreprise où a été réalii le travail. L'orthographe des termes scient fiques, des noms propres sera uniform tout au long du texte, de même que s

Les termes peu courants ou sigles utiliss seront expliqués entre parenthèses la pri mière fois qu'ils apparaîtront dans le text ces définitions peuvent être réunies dans un glossaire.

Un résumé sera joint; l'auteur per fournir lui-même le summary (avec traduction du titre de l'article).

Bibliographie. Si une bibliographie con plète a déjà été publiée, on indiquera référence et de toute façon, on limitera bibliographie aux travaux plus récents citi dans l'article. Les références seront classée par ordre alphabétique de noms d'auteu et numérotées en indiquant :

- pour les articles : le titre abrégé de revue selon les normes internationa année, tome et pages extrêmes (avec

ponctuation).
— pour les livres: le nom de l'édite la ville et l'année de parution.

Figures et tableaux. Les figures doive être fournies avec des légendes très exp catives (3 à 4 lignes). Elles suscitent au l'attention du lecteur et l'incitent à il l'article.

Toutes les figures seront numérotés en chiffres arabes. Les photographies sero fournies sous forme d'excellents tirage sur papier ou de négatifs originaux. indiquera dans les marges, au dos, ou s un calque les coupes possibles, flèche numéros, lettres à ajouter, etc.

Les diagrammes et dessins au trait serce fournis en trait noir sur papier blanc ou s

Chaque illustration sera appelée dans texte et les légendes (développées) serd réunies et dactylographiées sur une feui séparée.

Les tableaux, dactylographiés sur confeuilles séparées, seront numérotés chiffres romains avec un titre explicatif.

Les articles reçus, sollicités ou ne sont soumis pour acceptation au Comr de Lecture par le rédacteur en chef de aura parfois recueilli au préalable l'a motivé (et anonyme) de lecteurs choi pour leur compétence.

Il est préférable qu'un texte soit sour à la critique avant sa publication plu qu'après.

Les réductions ou modifications suggéré par le Comité peuvent être faites par collaborateur du journal avant d'être sox mises à l'accord de l'auteur.

Le Directeur de la Publication: M. TALAM

	4

	_	di	
	-	94	
	0	-	
	. =	-	
	-		
	FTS	-	
		_	
	=		
	-		
	(3)		
	~		
20	_		
			4
		_	
	()		
	~		
w.	0		
	angered .	(1)	
	0		
	-		
	60	COS.	
	whome		
	-		
	-		
	bm	112	
60	(0)	111	
10	-	( )	
	ba	-	
Bit.	200	-	
NO.	O	>	
di)	63	-	
Ø.	_		
(8)	5		
100	0	Lil.	
	2	CO	
	0	0,	
и.	S		
	715	-	
w	9	_	
21	0		
	-	_	
	-		
	T.		
	5	7	
	VO)	-	
	100	0	
	éf	0	
1	réf	0	
1	s réf	OIL	
	s réf	CTIO	
	es réf	ICT10	
	les réf	NCTIO	
	s les réf	NCTIO	
	s les réf	ONCTIO	
The state of the s	es les réf	ONCTIO	
	tes les réf	FONCTIO	
	utes les réf	FONCTIO	
	outes les réf	FONCTIO	
	outes les réf	FONCTIO	
	toutes les réf	e FONCTIO	
	toutes les réf	re FONCTIO	
	it toutes les réf	tre FONCTIO	
	nt toutes les réf	otre FONCTIO	
	ant toutes les réf	votre FONCTIO	
	iant toutes les réf	votre FONCTIO	
	nant toutes les réf	votre FONCTIO	
The same of the sa	nnant toutes les réf	votre FONCTIO	
	innant toutes les réf	t votre FONCTIO	
	onnant toutes les réf	nt votre FONCTIO	
-	ionnant toutes les réf	ant votre FONCTIO	
-	tionnant toutes les réf	ant votre FONCTIO	
-	ntionnant toutes les réf	sant votre FONCTIO	
0	entionnant toutes les réf	isant votre FONCTIO	
	rentionnant toutes les réf	cisant votre FONCTIO	
	nentionnant toutes les réf	ecisant votre FONCTIO	
	mentionnant toutes les réf	récisant votre FONCTIO	
	mentionnant toutes les réf	précisant votre FONCTIO	
	n mentionnant toutes les réf	precisant votre FONCTIO	7
	en mentionnant toutes les réf	précisant votre FONCTIO	Z
	en mentionnant toutes les réf	précisant votre FONCTIO	NO.
	en mentionnant toutes les réf	précisant votre FONCTIO	NO.
	e, en mentionnant toutes les réf	n précisant votre FONCTIO	ION.
	e, en mentionnant toutes les réf	en précisant votre FONCTIO	TION.
	re, en mentionnant toutes les réf	en précisant votre FONCTIO	TION.
	bre, en mentionnant toutes les réf	en précisant votre FONCTIO	ATION.
	ibre, en mentionnant toutes les réf	en précisant votre FONCTIO	ATION
	libre, en mentionnant toutes les réf	it en précisant votre FONCTIO	SATION.
	libre, en mentionnant toutes les réf	et en précisant votre FONCTIO	ISATION
	er libre, en mentionnant toutes les réf	et en précisant votre FONCTIO	ISATION
	er libre, en mentionnant toutes les réf	et en précisant votre FONCTIO	LISATION
	ner libre, en mentionnant toutes les réf	et en précisant votre FONCTIO	ALISATION.
	pier libre, en mentionnant toutes les réf	e, et en précisant votre FONCTIO	ALISATION.
	apier libre, en mentionnant toutes les réf	ee, et en précisant votre FONCTIO	IALISATION.
	lapier libre, en mentionnant toutes les réf	ée, et en précisant votre FONCTIO	CIALISATION
	papier libre, en mentionnant toutes les réf	rée, et en précisant votre FONCTIO	CIALISATION
	papier libre, en mentionnant toutes les réf	sirée, et en précisant votre FONCTIO	ECIALISATION.
	r papier libre, en mentionnant toutes les réf	sirée, et en précisant votre FONCTIO	ECIALISATION.
	ur papier libre, en mentionnant toutes les réf	ésirée, et en précisant votre FONCTIO	PECIALISATION.
	sur papier libre, en mentionnant toutes les références concernant la documentation	désirée, et en précisant votre FONCTION ou SERVICE, ainsi que votre	SPECIALISATION.

	7		
			~
	A		H
		V	4

supplé-	Vous	VIOTED
	no	-0
abonnement	mentaire	Shonone

bulletin	libraire,	le, avec
supplé-	Nons	votre
	no	o,
abonnement	mentaire	abonner

300		9
	00	>
bulletin	libraire,	avec
pnq	libr	e,
supplé-	Nous	votre
	no	-e
ement	re	16

to your usual sub-	scription agent, or mail	it, with your payment,	to ::	
Service Abonnements	120, Bd St-Germain	75280 PARIS	Cedex 06 - France	
à votre	u retournez-	votre paie-		

3 - 6	abonnement su mentaire ou abonnet à adresse personne	supplé-	vous	votre	elle,
abonnemer mentaire abonner adresse pe	abonnemen mentaire abonner adresse be		no	à.	rsonne
	96	abonneme	mentaire	abonner	adresse pe
	K	В	0	O	в
		100	1	0	

ment, à

L'ONDE ÉLECTRIQUE 1 AN - 10 NUMÉROS oe Bulletin d'abonnement 1977

FRANCE 180

Je désire souscrire un abonnement à l'ONDE ÉLECTRIQUE

Nom, prénom/Name surname

adresser la Carte Information. PAS

Ingénieur Étude/Recherche

Ingénieur Production

N'OUBLIEZ

(cochez la case appropriée SERVICE LECTEUR

ONDE ÉLECTRIQUE

Larte information

063

Firme:

Prénom

Nom:

Adresse

Organisme/Organization

Adresse/Address

D'INDIQUER

Autre Cadre Technique

Service Documentation

Téléphone

es

Service Achat

Signature

ONDE ÉLECTRIQUE

par: Please find enclosed the sum of :
Order de virement / Transfer Order
Mandat postal international / International Postal Order

Les abonnements sont payables à la souscription / Subscriptions should be paid when entered Les règlements doivent être libellés à l'ordre de SPIFF, 120 Bd St-Germain 75280 PARIS Cedex 06

Je désire également recevoir des renseignements sur la S.E.E.

SERVICE LECTEUR

arte information

Pour obtenir toute la documentation désirée, il vous suffit d'inscrire les numéros de références et de nous

**VOTRE ADRESSE** 

SPÉCIALISATION

Précisez votre

numéros suivants

Autre (précisez)

Enseignement

Prénom Firme:

MERCI

☐ Ingénieur Étude/Recherche

☐ Ingénieur Commercial

Ingénieur Production

rme :

Autre Cadre Technique

Service Achat

Nom:

COMPLÈTE

SERVICE LECTEUR

Larte information

Autre Cadre Technique

Service Achat

☐ Ingénieur Production

Direction Technique

Service Documentation

SPÉCIALISATION Précisez votre

☐ Autre (précisez)

numéros suivants complète

snid

désire recevoir une documentation ou nouveautés portant les

produits

Jes

LISIBLEMENT

SPÉCIALISATION

Précisez votre

Autre (précisez)

Enseignement

Poste

Téléphone

D'ÉCRIRE

Service Documentation

Poste

Affranchir

Affranchir

## l'onde électrique

l'onde électrique

235 - Service Lecteur

Service Abonnements

MASSON, Éditeur

75280 PARIS, Cedex 06 120, Bd Saint-Germain

France

Affranchir

Pour être documenté gratuitement dans les meilleurs délais.

75280 PARIS, Cedex 06

France

120, Bd Saint-Germain

MASSON, Éditeur

#### POSTEZ CES CARTES DÈS AUJOURD'HUI

## l'onde électrique

l'onde électrique

235 - Service Lecteur

75280 PARIS, Cedex 06

France

120, Bd Saint-Germain

MASSON, Éditeur

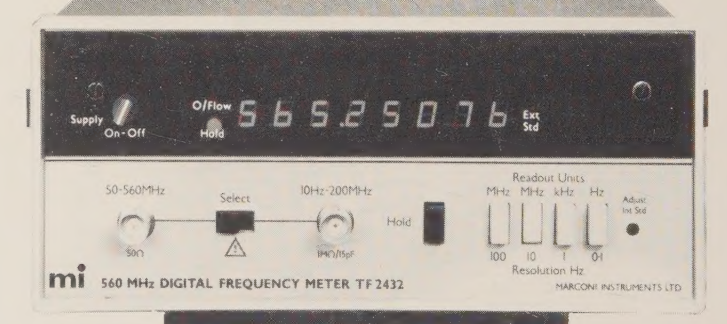
235 - Service Lecteur

75280 PARIS, Cedex 06 120, Bd Saint-Germain MASSON, Éditeur France

Affranchir



# sur les fréquencemètres



- Mesure directe de la fréquence (Résolution 0,1 Hz).
- · Contrôle automatique de gain.
- · Large dynamique.
- · Affichage très lumineux.
- Fréquence de référence interne ou externe.
- · Utilisation simple.
- · Excellente fiabilité

TF 2430: 10 Hz à 80 MHz TF 2431: 10 Hz à 200 MHz TF 2432: 10 Hz à 560 MHz

#### et à des prix explosifs

Si vous voulez profiter du Boum! mi sur les fréquencemètres demandez-nous la carte BOUM-Information qui peut faire de vous un acquéreur privilégié.

#### MARCONI INSTRUMENTS

32 avenue des Ecoles - 91600 Savigny-sur-Orge-Téléphone : 996.03.86 Telex 600541 F

Membre du Groupe GEC - Marconi Electronics

J'aimerais, sans engagement, recevoir la Carte BOUM-Information sur les fréquencemètres **mi** 

Nom \_\_\_\_

Adresse \_

Prénom \_\_\_\_\_

Fonction \_\_\_\_\_

Entreprise \_\_\_\_\_

Tél.

non conseil nº 1154